

## Kapitel II. Materiedominante Ära

In einer sehr frühen Kriegen Phase dominierten relativistische Teilchen (Photonen, Leptonen) den Energieinhalt des Universums. Mit zunehmender Abkühlung überwog aber schließlich die Energieichte der nichtrelativistischen Materie (Protonen, massive Neutrinos (?), etc.), für die  $\rho/p$  sehr klein ist. Diese lange Ära wollen wir im folgenden genauer studieren.

### 1. Dritte des gegenwärtigen Universums

Wir wiederholen zunächst die Grundgleichungen (4.12) und (4.13) für  $\lambda=0$  [nachvollziehbare Notiz: das ist nun nicht mehr erforderlich!]

$$\frac{\dot{a}^2}{a^2} + \frac{k}{a^2} = \frac{8\pi G}{3} \rho, \quad (1.1)$$

$$-2\frac{\ddot{a}}{a} - \frac{\dot{a}^2}{a^2} - \frac{k}{a^2} = 8\pi G p. \quad (1.2)$$

Für das derzeitige Universum (Zeit  $t_0$ ) folgt aus (1.1) und (7.5)

$$\rho_0 = \frac{3}{8\pi G} \left( H_0^2 + \frac{k}{a_0^2} \right), \quad (1.3)$$

und aus (1.2), sowie (7.6) finden wir

$$p_0 = -\frac{1}{8\pi G} \left[ H_0^2 (1-2q_0) + \frac{k}{a_0^2} \right]. \quad (1.4)$$

(Größen zu Zeit  $t_0$  werden mit dem Index "0" versehen.)

Aus (1.3) sehen wir, dass die tertiäre Krümmung  $k/a^2$  positiv oder negativ ist, je nachdem  $\rho_0$  größer

oder kleiner ist als die kritische Dichte:

$$\boxed{\rho_c = \frac{3H_0^2}{8\pi G}} . \quad (1.5)$$

Mit der Parameterisierung (7.20) ist numerisch

$$\begin{aligned} \rho_c &= 1.88 \times 10^{-29} h_0^2 \text{ (g cm}^{-3}\text{)} \\ &= 1.12 \times 10^{-5} h_0^2 \text{ (m}_p \text{ cm}^{-3}\text{)} \quad (\text{m}_p: \text{Protonenmasse}) \\ &= 10'540 h_0^2 \text{ (eV cm}^{-3}\text{)} \\ &= 2.8 \times 10^{11} h_0^2 M_\odot \text{ Mpc}^{-3}. \end{aligned} \quad (1.6)$$

Nach §I.4 expandiert also das Universum für immer, wenn  $\rho_0 \leq \rho_c$  ist. Ist hingegen  $\rho_0 > \rho_c$ , so schreitet sich der gegenwärtigen Expansion eine Kollapsphase an. (Dies ist unabhängig von der Zustandsgleichung (für  $\Lambda = 0$ !).)

Da im derzeitigen Universum die urtdichtelokalische Materie dominiert\* (Naheres dazu wird später ausgeführt), dürfen wir in (1.4) den Druck vernachlässigen und bekommen

$$\frac{k}{a_0^2} = (2q_0 - 1) H_0^2. \quad (1.7)$$

Vergleichen wir dies mit (1.3), so erhalten wir die wichtige Beziehung

$$\boxed{\Omega_0 = 2q_0 \quad (\text{für } p_0 = 0)}, \quad (1.8)$$

wobei  $\Omega_0$  der sog. Dichteparameter ist, der folgendermaßen definiert ist

$$\Omega_0 = \frac{\rho_0}{\rho_c}. \quad (1.9)$$

---

\* Wir sehen von exotischen Möglichkeiten (statische entzündete >-See, etc.) ab.

Für  $q_0 > \frac{1}{2}$  ( $\rho_0 > \rho_c$ ) ist das Universum positiv gekrümmmt, während für  $q_0 < \frac{1}{2}$  die Krümmung negativ ist. (Für  $\Lambda \neq 0$  gilt die Beziehung (1.8) nicht mehr; siehe §II.6.)

Es ist natürlich außerordentlich schwierig,  $\rho_0$  durch direkte Beobachtungen zu bestimmen, weil ein Großteil der Materie (auch von normalen Spiralgalaxien) dunkel ist. Entsprechend ist der Wert von  $\Omega_0$  noch immer sehr unsicher. Wir fassen an dieser Stelle die gegenwärtige Situation kurz zusammen und kommen später ausführlicher auf das Thema zurück (siehe §II.8). [Neuester Stand in Kap.V.]

Zunächst lässt sich relativ zuverlässig die leuchtende Materie in Galaxien bestimmen. Dazu benötigt man zuerst die mittlere Leuchtkraft  $L$  pro Volumeneinheit. Ein recht genauer Wert dafür wurde bereits 1958 von J. Oort ermittelt. Der neueste Wert ist<sup>1)</sup>

$$L \approx 2 \times 10^8 h_0 L_0 \text{ Mpc}^{-3}. \quad (1.10)$$

Die  $h_0$ -Abhängigkeit in (1.10) sieht man folgendermassen ein. Nach (I.7.12) hängt die absolute Helligkeit  $L$  eines Objektes mit der scheinbaren Helligkeit  $l$  für kleine  $z$  gemäss

$$L = 4\pi H_0^{-2} z^2 l \propto h_0^{-2} \quad (1.11)$$

zusammen. Ferner ist die Beziehung zwischen kürzerer Ausdehnung  $D$  und Winkelauflösung  $\delta$  nach (I.6.1) und (I.7.19) für kleine  $z$ :

1) G. Efstathiou, J. Silk: Ann. Cosmic Phys. 9, 1 (1983).  
" , R.S. Ellis, B.A. Peterson, MNRAS 232, 421 (1988).

$$D = H_0^{-1} z \propto h_0^{-1}. \quad (1.12)$$

Nun skaliert  $\mathcal{L}$  mit  $h_0$  natürlich wie  $L/D^3$ , also linear.

Würde man das mittlere Verhältnis von Masse und Leuchtkraft ( $M/L$ ) kennen, so könnte man  $\varrho_0$  berechnen:

$$\varrho_0 = \mathcal{L} (M/L) = \frac{\mathcal{L}}{L_0} \left( \frac{H/L}{H_0/L_0} \right) M_\odot. \quad (1.13)$$

Unter Annahme von

$$\varrho_c = 2.8 \times 10^{11} h_0^2 M_\odot \text{ Mpc}^{-3} \quad (1.14)$$

eignet sich mit (1.10)

$$\Omega_0 = 0.64 \times 10^{-3} h_0^{-1} (H/L)_{\text{solar}}; \quad (1.15)$$

oder nach  $M/L$  aufgelöst

$$H/L \approx 1500 \Omega_0 h_0 (M_0/L_0). \quad (1.15')$$

für den kritischen Wert  $\Omega_0 = 1$  müsste also  $M/L$  mindestens etwa  $700 M_\odot/L_\odot$  betragen ( $h_0 \gtrsim \frac{1}{2}$ !).

Nun kommt alles auf eine Bestimmung von  $H/L$  an. Mit dynamischen Methoden (Rotationskurven, Verteilfunktionen) findet man für den sichtbaren Teil der Galaxien<sup>1)</sup>

$$(M/L)_{\text{vis}} \approx 28 h_0 \frac{M_\odot}{L_0}. \quad (1.16)$$

Die Skalierung mit  $h_0$  ist einfach einzusehen:  $M \sim V^3 D/G$  ( $V$ : charakteristische interne Geschwindigkeit), also geht  $M$  nach (1.12) mit  $h_0^{-1}$ ; folglich ist mit (1.11)  $M/L \propto h_0$ .

Sehen wir (1.16) in (1.15) ein, so ergibt sich für den sichtbaren Teil der Materie in Galaxien

$$\Omega_0(\text{sichtbar}) \lesssim 0.01, \quad (1.17)$$

unabhängig von  $h_0$ . Dieser Wert ist weit untersch..

In den letzten Jahren haben Beobachtungen gezeigt<sup>2)</sup>, dass Galaxien ausgedehnte dunkle Holes haben, in welchen wesentlich mehr Masse steht als im sichtbaren Bereich. Für Paare von Galaxien ist  $(M/L)_{\text{sol}} \approx 50 h_0$  und für reiche Haufen findet man im Mittel  $(M/L)_{\text{sol}} \approx 650 h_0$  (vgl. Fig. 1). Wenn diese Werte typisch für Spiralgalaxien, bzw.

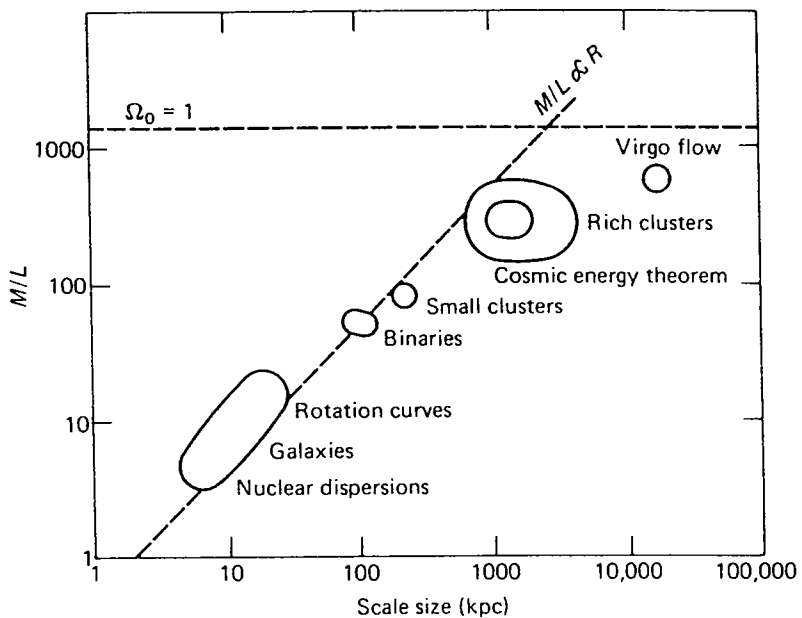


FIGURE II.1.

Typical measured mass-to-light ratios  $M/L$  as a function of measuring scale, assuming  $H_0 = 100$ . Apart from values measured in their nuclei, the  $M/L$  values for galaxies are dominated by the unseen heavy halo. The sloping broken line corresponds to  $M/L$  increasing with  $R$ . The horizontal broken line is the  $M/L$  ratio required for an Einstein-de Sitter universe ( $\Lambda = 0, \Omega_0 = 1$ ). (From

H. Davis, et al., Ap. J. 238, L113 (1980).)

2) Siehe den leserwerten Artikel von V.C. Rubin in: Kosmologie Spektrum der Wissenschaft (1984). Neue Daten werden in Kap. 5 gezeigt.

für elliptische Galaxien sind<sup>3)</sup>, so finden wir<sup>4)</sup>

$$\Omega_0(\text{gesuchte Paare und Kluster}) \approx 0.14. \quad (1.18)$$

Der gesuchte Fehler<sup>4)</sup> ist ein Faktor  $\approx 1.5$ . Auf alle Fälle ist dieser Anteil unterkritisch. Aber der Vergleich von (1.17) und (1.18) zeigt, dass es sehr viel "verborgene Masse" gibt.

Eine weitere Möglichkeit  $\Omega_0$  zu bestimmen, besteht in Studium der Abweichungen von der mittleren Hubble-Expansion durch lokale Verdichtungen. Dies wurde auf den Virgo-Kluster mit seinem ausgedehnten Halo angewandt. A. Sandage<sup>4)</sup> gibt den Wert

$$\Omega_0(\text{Virgo Einfall}) = 0.08^{+0.07}_{-0.04}. \quad (1.19)$$

Die beiden Werte (1.18) und (1.19) sind miteinander vergleichbar und dies legt es nahe, dass dieselbe überwiegend dunkle Materie, welche Paare und Kluster von Galaxien bildet, auch den Einfall gegen den Virgo-Haufen verursacht. Möglicherweise gibt es keine andere dunkle Materie.

Wir werden später in Kap. IV aus dem Vergleich der theoretisch berechneten Big Bang Nukleosynthese der leichten Elemente mit den Beobachtungen einen Wert für den bayessischen Anteil von  $\Omega_0$  gewinnen. Die beste

3) Spiralgalaxien sind in reinen Haufen wenig anzutreffen, kommen aber häufig in Paaren vor. Elliptische Galaxien sind anderseits vor allem in Klustern zu finden.

4) Dieser Wert wird von A. Sandage in [K4] angegeben.

Schätzung zu Zeit  $t$  (siehe §IV.4) :

$$\Omega_0(\text{Baryon}) = (0.10 \pm 0.06) \left( \frac{H_0}{50} \right)^{-2}. \quad (1.20)$$

Auch dieser Wert ist mit den bisherigen Bestimmungen vergleichbar und es gibt folglich bislang keine überzeugenden empirischen Gründe für exotische Formen von dunkler Materie (massive Neutrinos, etc.). Gleichzeitig sind alle angegebenen Werte für  $\Omega_0$  unterschisch und folglich müsste das Universum für immer expandieren.

In Anbehandl der vielen Unsicherheiten ist jedoch das letzte Wort zu diesem Thema noch lange nicht gesagt. Es ist aber jedenfalls sehr bemerkenswert, dass  $\Omega_0$  nicht allzuweit von  $\Omega_0=1$  entfernt ist. Dies ist umso erstaunlicher, weil  $\Omega_0=1$ , wie wir sehen werden, ein unstabiler Fixpunkt ist. Anders als wird  $\Omega_0=1$  durch das Modell des inflatorischen Universums vorausgesagt (siehe Kap. VIII).

\* \* \*

## 2. Zeitlicher Verlauf des Skalenfaktors

Für  $\rho=0$  folgt nach (I.4.16)

$$\frac{g}{g_0} = \left(\frac{a}{a_0}\right)^{-3}. \quad (2.1)$$

Setzen wir dies in die Friedmann-Gleichung (1.1) ein, so kommt

$$\left[ \frac{d}{dt} \left( \frac{a}{a_0} \right) \right]^2 - \frac{8\pi G}{c^2} g_0 \frac{a_0}{a} = - \frac{k}{a^2}. \quad (2.2)$$

Au stelle von  $t$  führen wir die dimensionslose Zeit  $\tau = t H_0$  ein ( $t$  in Hubble-Zeiten); ferner sei  $x(\tau) = a(t)/a_0$ . Beurkten wir noch (1.7), so erhalten wir aus (2.2)

$$\left( \frac{dx}{d\tau} \right)^2 - \Omega_0 \frac{1}{x} = 1 - \Omega_0. \quad (2.3)$$

Diese Gleichung können wir – im Sinne einer mechanischen Interpretation – als eindimensionale Bewegung eines Teilchens auffassen. Aus der Form des "Potentials"  $-\Omega_0 \frac{1}{x}$  geht wieder klar hervor, dass das Verhalten von  $x(\tau)$  für  $\Omega_0 > 1$  und  $\Omega_0 < 1$  sehr verschieden ist (skizzieren das Phasenportrait).

Aus (2.3) folgt

$$t = H_0^{-1} \int_0^{a/a_0} \left[ 1 - \Omega_0 + \frac{\Omega_0}{x} \right]^{-1/2} dx. \quad (2.4)$$

Die Lösungen von (2.3) stellt man am besten in para-

mehrerer Form dar:

$$a(\eta) = \begin{cases} \frac{\Omega_0}{2H_0(\Omega_0-1)^{3/2}} (1-\cos\eta), & k=1 (\Omega_0>1) \\ \frac{1}{4} H_0^2 a_0^3 \eta^2, & k=0 (\Omega_0=1) \\ \frac{\Omega_0}{2H_0(1-\Omega_0)^{3/2}} (\cosh\eta - 1), & k=-1 (\Omega_0<1) \end{cases} \quad (2.5a)$$

$$t(\eta) = \begin{cases} \frac{\Omega_0}{2H_0(\Omega_0-1)^{3/2}} (\eta - \sin\eta), & k=1 \\ \frac{1}{12} H_0^2 a_0^3 \eta^3, & k=0 \\ \frac{\Omega_0}{2H_0(1-\Omega_0)^{3/2}} (\sinh\eta - \eta), & k=-1 \end{cases} \quad (2.5b)$$

Offensichtlich gilt  $dt/d\eta = a(\eta)$ ; deshalb hat in der  $\eta$ -Zeit die Friedmann-Gleichung (I.2.4) die Form

$$g = \dot{a}^2(\eta) [d\eta^2 - h]. \quad (2.6)$$

Man nennt deshalb  $\eta$  auch die konforme Zeit.

Übung: Leite (2.5) in systematischer Weise her. Zeige, dass man für  $k=+1$  eine Ellipse hat.

Für das Einstein-de Sitter-Modell ( $k=0$ ) gilt (2.5)

$$a(t)/a_0 = \left( \frac{3}{2} H_0 t \right)^{2/3}. \quad (2.7)$$

In diesem Fall ist das Alter des Universums

$$t_0 = \frac{2}{3} H_0^{-1}. \quad (2.8)$$

für  $k=+1$  findet man aus (2.5) leicht

$$t_0 = \frac{\Omega_0}{2H_0(\Omega_0-1)^{3/2}} \left[ \cos^{-1}\left(\frac{2}{\Omega_0}-1\right) - \frac{2}{\Omega_0} (\Omega_0-1)^{1/2} \right], \quad (k=+1) \quad (2.9)$$

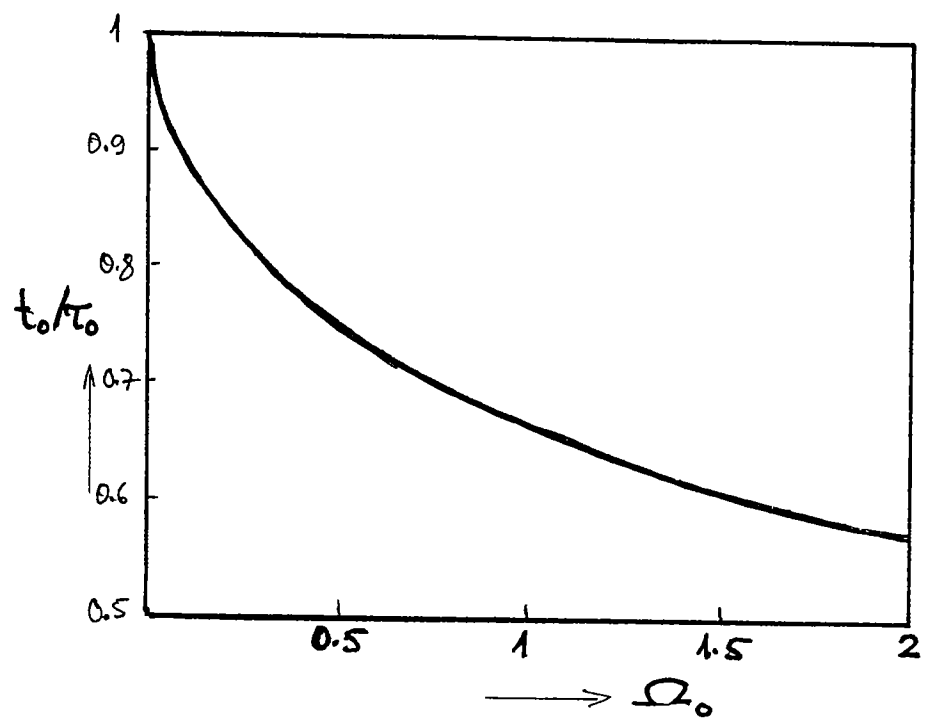
und entsprechend für  $k=-1$ :

$$t_0 = \frac{1}{H_0} \left[ \frac{1}{1-\Omega_0} - \frac{\Omega_0}{2(1-\Omega_0)^{3/2}} \cosh^{-1}\left(\frac{2}{\Omega_0}-1\right) \right], \quad (k=-1) \quad (2.10)$$

Die folgende Tabelle 1 gibt  $t_0$  in Einheiten der Hubble-Zeit  $\tau_0 = 1/H_0$  als Funktion von  $\Omega_0$ .

| $\Omega_0$ | $t_0/\tau_0$ | $\Omega_0(t_0/\tau_0)^2$ |
|------------|--------------|--------------------------|
| 0          | 1            |                          |
| 0.01       | 0.980        |                          |
| 0.03       | 0.955        |                          |
| 0.1        | 0.896        |                          |
| 0.2        | 0.847        |                          |
| 0.3        | 0.809        |                          |
| 0.4        | 0.783        |                          |
| 0.5        | 0.755        |                          |
| 0.75       | 0.688        |                          |
| 1          | 0.667        | 0.44                     |
| 1.5        | 0.613        | 0.56                     |
| 2          | 0.570        | 0.65                     |
| 3          | 0.499        | 0.75                     |
| 4          | 0.471        | 0.88                     |
| 5          | 0.440        | 0.97                     |
| 10         | 0.314        | 0.99                     |

Tabelle II.1. Alter des Universums in Einheiten der Hubble-Zeit ( $\Lambda=0$ )



Graph zu Tabelle 1

Da das Universum nach spätestens  $10^6$  Jahren weiterentwickelt ist (siehe § III.2), werden die Werte der Tabelle 1 durch eine realistischere Behandlung der frühen Phasen nur unbedeutlich geändert.

Ausgangszeit  $t$  und Rotverschiebung  $z$  einer Quelle hängen nach (2.4) folgendermaßen zusammen:

$$t = H_0^{-1} \int_0^{(1+z)^{-1}} [1 - Q_0 + Q_0/x]^{-1/2} dx. \quad (2.11)$$

Die Rückblickzeit  $t_0 - t$  ist für  $Q_0 = 1$

$$t_0 - t = \frac{2}{3} H_0^{-1} \left( 1 - \frac{1}{(1+z)^{3/2}} \right). \quad (2.12)$$

Für andere Werte von  $Q_0 = 2q_0$  ist diese Zeit in Fig. 2 dargestellt.

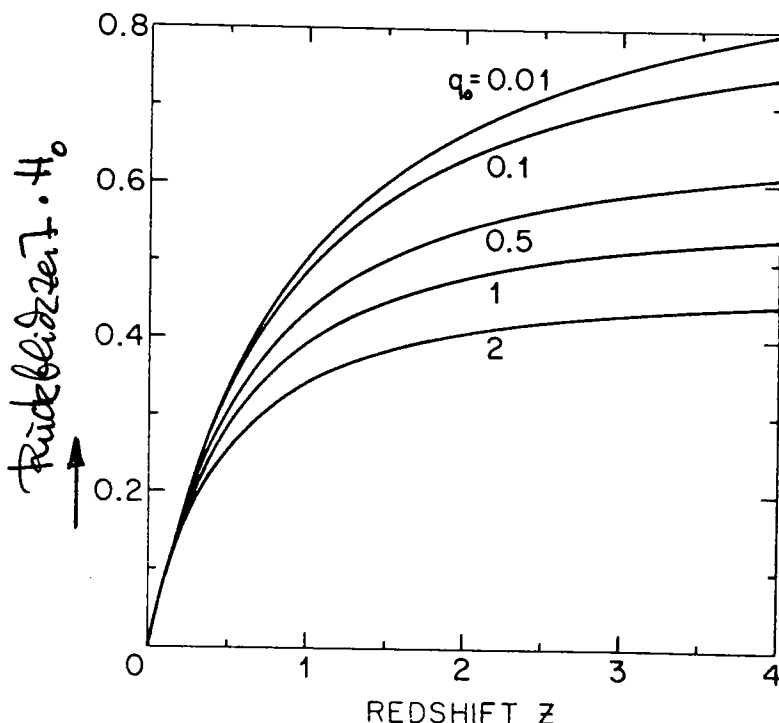


Fig. II.2. Rückblickzeit als Funktion der Rotverschiebung in Einheiten der Hubble-Zeit

Übungsaufgabe: Betrachte ein materiedominantes Universum mit  $k=1$ . Zeige, dass die maximale Ausdehnung und die Dauer einer Periode dieses Modells proportional zur Gesamtmasse auswachsen. Vergleiche  $a_{\max}$  mit dem Schwarzschild-Radius

### 3. Helligkeitsabstand und scheinbare Winkelausdehnung als Funktion der Rotverschiebung

Wir bestimmen zunächst die Beziehung zwischen  $d_L$  und z. Mit denselben Bezeichnungen wie in § I.7 haben wir nach (I.7.1), (I.7.2) und (2.3)

$$\begin{aligned} \int_0^{t_1} \frac{dt}{\sqrt{1-kx^2}} &= \int_{t_1}^{t_0} \frac{dt}{a(t)} = \int_{a_1}^{a_0} \frac{da}{a \dot{a}} = \frac{1}{a_0 H_0} \int_1^1 \frac{dx}{a/a_0 \times (dx/dt)} \\ &= \frac{1}{a_0 H_0} \int_{(1+z)^{-1}}^1 \frac{dx}{\sqrt{1-z_0 + z_0/x}}. \end{aligned} \quad (3.1)$$

Aus dieser Gleichung erhält man, unter Benutzung von (1.7), in allen Fällen (Übung)

$$z_1 = \frac{zq_0 + (q_0-1)(-1 + \sqrt{2q_0z+1})}{H_0 a_0 q_0^2 (1+z)}. \quad (3.2)$$

Nach (I.7.3) ist deshalb

$$d_L = \frac{1}{H_0 q_0^2} [zq_0 + (q_0-1)(-1 + \sqrt{2q_0z+1})]. \quad (3.3)$$

Die Winkelausdehnung  $\delta$  eines Objektes der inursiven Ausdehnung  $D$  ist nach (I.6.12)

$$\delta = \frac{d}{r_1 a(t_1)} . \quad (3.4)$$

Setzen wir hier (3.2) ein, so folgt

$$\boxed{\delta = D \frac{q_0^2 H_0 (1+z)^2}{z q_0 + (q_0 - 1)(-1 + \sqrt{2q_0 z + 1})}} . \quad (3.5)$$

Für kleine  $z$  erhalten wir aus (3.3) wieder die modell-unabhängige Formel (7.11). Der Beginn der Entwicklung von (3.5) ist

$$\delta = \frac{D H_0}{z} [1 + \frac{1}{2}(1-q_0)z + \dots] \quad (z \ll 1) . \quad (3.6)$$

Später benötigen wir auch  $\delta$  für sehr grosse  $z$ :

$$\delta = D H_0 q_0 z + \dots \quad (z \gg 1) . \quad (3.7)$$

Das Ergebnis (3.5) ist in Fig. 3 dargestellt.

E.3.1

Wir schreiben noch (3.3) auf bolometrische Magnitude um. Nach (7.17) gilt für den Entfernungsmodul

also  $m - M_{bol} = 25 + 5 \log_{10} [d_L (\text{kpc})] ;$

$$m - M_{bol} = 25 + 5 \log_{10} \left[ \frac{c (\text{km/s})}{H_0 (\text{km/s/kpc})} \right] + 5 \log_{10} \left\{ \frac{1}{q_0^2} [z q_0 + (q_0 - 1)(-1 + \sqrt{2q_0 z + 1})] \right\} ;$$

oder  $(3.8)$

$$m - M_{bol} = -45.06 - 5 \log_{10} [H_0 (\text{s}^{-1})] + 5 \log_{10} \left\{ \frac{1}{q_0^2} [z q_0 + (q_0 - 1)(-1 + \sqrt{2q_0 z + 1})] \right\}$$

Dies ergänzt (I.7.18) (Mather, 1958).  $(3.8)$

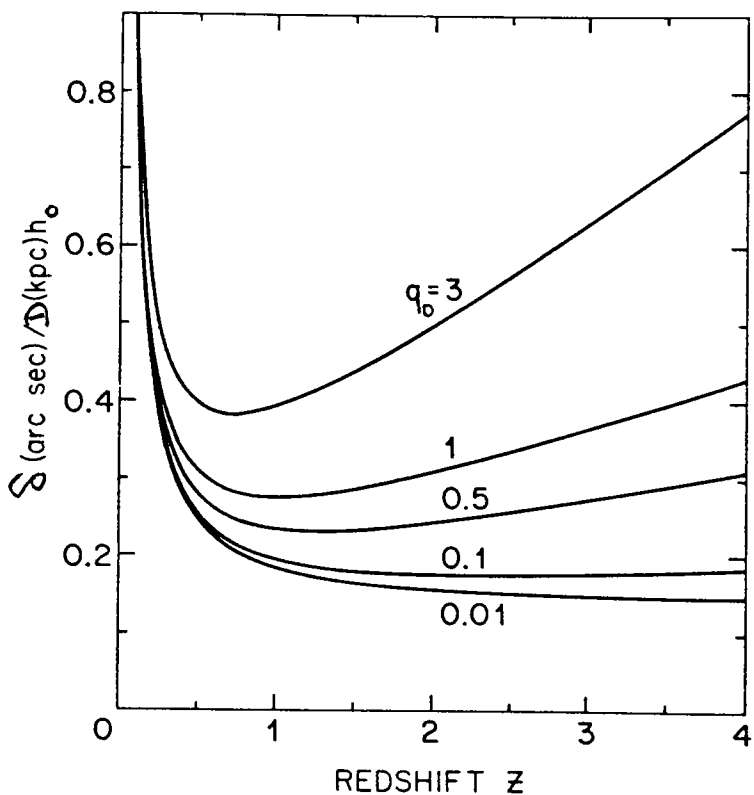


Fig. II.3. Winkelausdehnung in Friedmann-Modellen nach (3.5)

Durch  $h_0$  ausgedrückt lautet (3.8)

$$M_{\text{bol}} - M_{\text{bol}} = 42.38 - 5 \log_{10} h_0 + 5 \log_{10} \left\{ \frac{1}{q_0^2} [2q_0 + (q_0 - 1)(1 + \sqrt{2q_0 z + 1})] \right\} \quad (3.9)$$

Für den Vergleich von (3.9) mit den Beobachtungen, muss berücksichtigt werden, dass Teleskope und Detektionsysteme in der Praxis auf einen relativ engen Spektralbereich empfindlich sind. Der Effekt der Rotverschiebung führt dann zu einer Korrektur, welche wir nun bestimmen wollen.

Es sei  $P(\nu) d\nu$  die abgestrahlte Energie einer Quelle pro Sekunde und Raumwinkel im Frequenzintervall  $(\nu, \nu + d\nu)$ . Ist  $S(\nu_0) d\nu_0$ ,  $\nu_0 = (1+z)^{-1} \nu$ , der zugehörige Strahlungs-

fluss auf der Erde, so gilt nach der Definition der Helligkeitsdistanz (I.6.3) (von Absorptioen seien wir vorerst ab):

$$S(\nu_0) d\nu_0 = \frac{P(\nu) d\nu}{d_L^2} ,$$

$$S(\nu_0) = \frac{P(\nu_0(1+z))}{d_L^2} (1+z) \stackrel{(I.7.3)}{=} \frac{P(\nu_0(1+z)) a(t_n)}{r^2(t_n) a_0^3} . \quad (3.10)$$

Es bezeichne  $\phi(\nu)$  die Empfindlichkeitsfunktion von Teleskop und Detektionssystem\*); dann ist die Auszeige

$$S_\phi = \int S(\nu_0) \phi(\nu_0) d\nu_0 = \frac{1+z}{d_L^2} \int P(\nu_0(1+z)) \phi(\nu) d\nu . \quad (3.11)$$

Die Magnitudines  $m_\phi, M_\phi$  zum "Filter"  $\phi$  sind wieder wie in (I.7.15) und (I.7.16) definiert. In diesen angelehnt lautet (3.11)

$$m_\phi - M_\phi = zs + 5 \log \left[ \frac{d_L(z)}{1 \text{ Hpc}} \right] + k_\phi(z) . \quad (3.12)$$

Gegenüber (I.7.17) kommt hier noch die sog.  $k$ -Korrektur

$$k_\phi = -\frac{s}{2} \log \left\{ (1+z) \frac{\int P[\nu_0(1+z)] \phi(\nu) d\nu_0}{\int P(\nu) \phi(\nu) d\nu_0} \right\} \quad (3.13)$$

hinzu. Mit Hilfe von (optischen und ultravioletten) Beobachtungen von benachbarten Galaxien wurde diese Korrektur für verschiedene Galaxientypen für die gewünschten photometrischen Bänder (z.B. das UBV-System<sup>(†)</sup>) berechnet.

- \* ) Im allgemeinen tragen auch die Erdatmosphäre und die interstellare Extinktion zu  $\phi(\nu)$  bei.
- (†) Konsultiere dazu ein Astronomiebuch.

Au Stelle von (3.9) haben wir jetzt

$$\mu_{\phi} - \mu_{\phi} = 42.38 - 5 \log_{10} h_0 + 5 \log_{10} \left\{ \frac{1}{q_0^z} [z q_0 + (q_0 - 1)(-1 + \sqrt{z q_0^2 + 1})] \right\} \\ + k_{\phi}(z). \quad (3.14)$$

In Fig. 4 ist die  $q_0$ -Abhängigkeit von (3.14) gezeigt. Aufgeragen ist darin

$$k(3) := 42.38 + 5 \log_{10} \left\{ \frac{(1+z)^{1/2}}{z} \frac{1}{q_0^z} [z q_0 + (q_0 - 1)(-1 + \sqrt{z q_0^2 + 1})] \right\}. \quad (3.15)$$

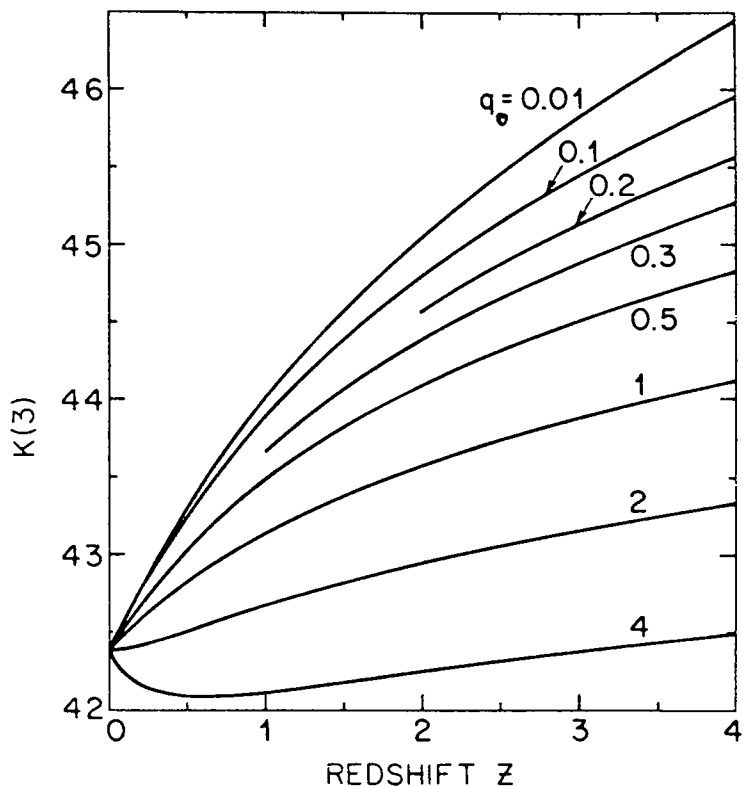
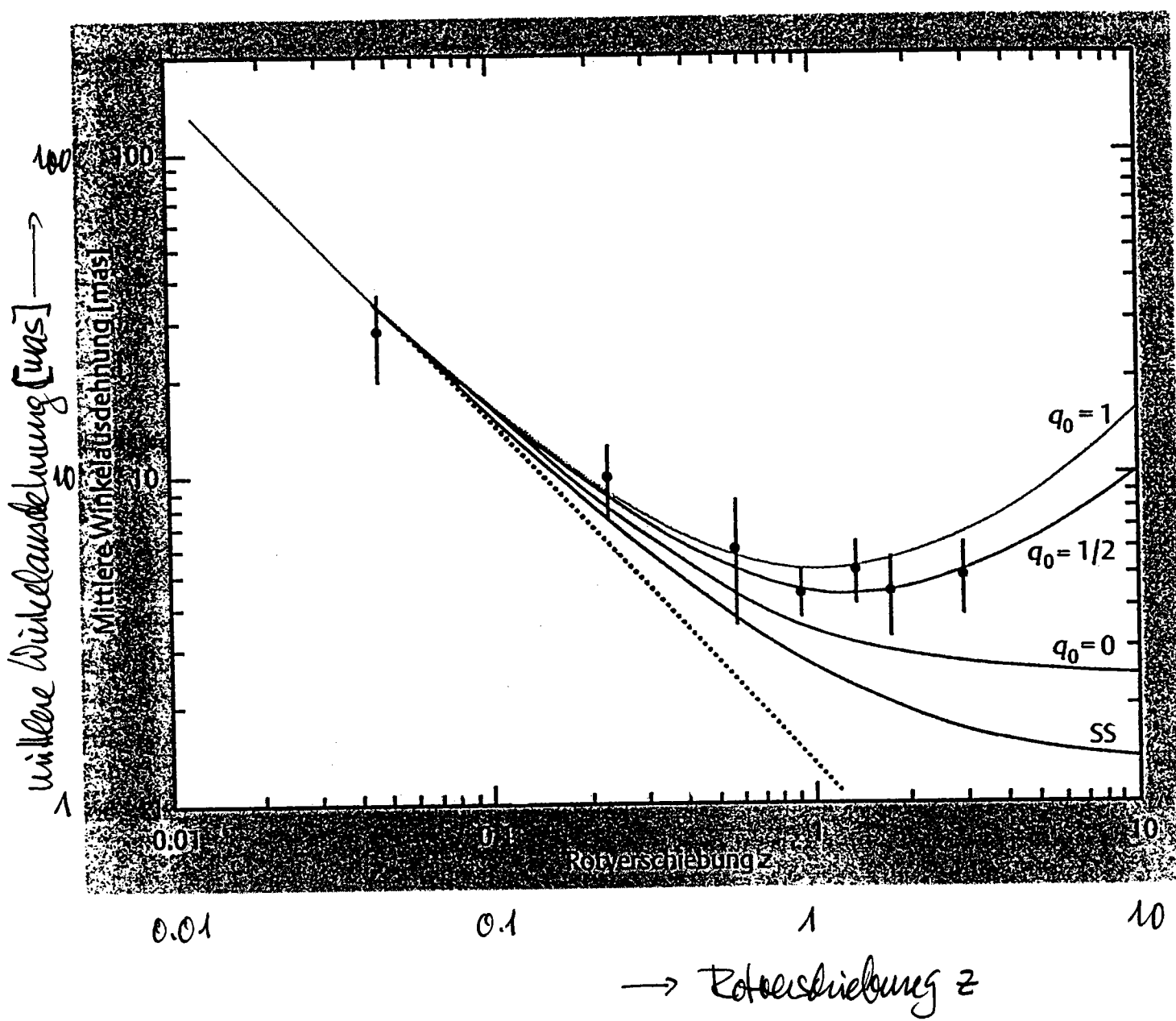


Fig. II.4. Darstellung von  $k(3)$ , Gl. (3.15)

Auf den Vergleich der  $\mu_{\phi} - z$ -Beziehung (3.14) mit den Beobachtungen, werden wir in § II.8 eingehen.

E.3.1 Die Messpunkte im folgenden Diagramm geben Gruppenmittelwerte der Winkelauflösungen kompakter Radioquellen wieder, die sich um den jeweiligen  $z$ -Wert gruppieren (Kellermann, Naturw 361, 134 (1993)).



#### 4. Zählung von Quellen (Teil 2)

Auch die Zählungen  $N(<z)$ ,  $N(>l)$  der Quellen kann man jetzt für beliebige  $z$  ausrechnen.

Ausgangspunkt ist die Gl. (I.8.7). In dieser benutzen wir (3.2) für  $\tau(t_1)$  und wälzen mit Hilfe von (2.11), d.h.

$$dt_1 = - \frac{1}{H_0} \frac{1}{(1+z)^2} \frac{1}{\sqrt{1+2q_0 z}} dz , \quad (4.1)$$

die  $t_1$ -Integration auf eine  $z$ -Integration ab. Es kommt

$$N(<z) = \int_0^\infty dL \int_0^z dz' \frac{4\pi}{(1+z')^2} \frac{[z' q_0 + (q_0-1)(-1 + \sqrt{2q_0 z' + 1})]}{H_0^2 q_0^2 q_0^4 (1+z')^2} \\ \cdot h(z', L) \frac{1}{H_0 (1+z')^2 (1+2q_0 z')^{1/2}} ,$$

oder

$$N(<z) = \int_0^\infty dL \int_0^z dz' \frac{4\pi H_0^{-3} q_0^{-4} (1+z')^{-6} (1+2q_0 z')^{-1/2}}{\\ \cdot [z' q_0 + (q_0-1)(-1 + \sqrt{2q_0 z' + 1})]^2 h(z', L)} . \quad (4.2)$$

E.4.1

Übungsaufgabe: Werte dies für  $q_0 = 1/2$  – unter Vernachlässigung von evolutiven Effekten – aus.

Wir bestimmen nun auch noch  $N(>s, z)$  (siehe S. 45).

Benutzen wir die Beziehung (3.10) zwischen  $S(z)$  und  $P(z)$ , so erhalten wir genauso wie bei der Herleitung von (I.8.7) für die Zahl der Quellen mit Strahlungsflux

$> S$  bei der Frequenz  $\nu$  und Rotverschiebung  $< z$

$$N(z, > S; \nu) = \int_0^\infty dP \int_{\max\{t_2, t_{S_\alpha}(P)\}}^{t_0} 4\pi r^2(t_1) a^2(t_1) n(t_1, P, \nu) \frac{a(t_0)}{a(t_1)} dt_1, \quad (4.3)$$

mit

$$a(t_2) = \frac{a(t_0)}{1+z}, \quad (4.4)$$

und mit  $t_{S_\alpha}(P)$  bestimmt durch (Beurkhe 3.10)

$$\frac{r^2(t_{S_\alpha})}{a(t_{S_\alpha})} = \frac{P}{z a^3(t_0)}. \quad (4.5)$$

Radiospektren können i. a. durch ein Potenzgesetz

$$P(\nu) \propto \nu^{-\alpha}, \quad (4.6)$$

mit Spektralindex  $\alpha \approx 0.7 \div 0.8$ , dargestellt werden. Dann gilt für die Größe  $n(t, P, \nu)$  der Quellen:

$$n(t, P, \nu) dP = n(t, P(\frac{\nu}{\nu_0})^\alpha, \nu_0) d(P(\frac{\nu}{\nu_0})^\alpha),$$

wobei  $\nu_0$  eine feste Referenzfrequenz ist. Für  $n$  gilt also das Skalengesetz

$$n(t, P, \nu) = \left(\frac{\nu}{\nu_0}\right)^\alpha n(t, P(\frac{\nu}{\nu_0})^\alpha, \nu_0). \quad (4.7)$$

Audem wir die Integrationsvariable  $P$  in (4.3) zu  $P[a(t_0)/a(t_1)]^\alpha$ , so erscheint auf beiden Seiten die gleiche Frequenz  $\nu$ :

$$N(z, > S; \nu) = \int_0^\infty dP \int_{\max\{t_2, t_{S_\alpha}(P)\}}^{t_0} 4\pi r^2(t_1) a^2(t_1) n(t_1, P, \nu) dt_1, \quad (4.8)$$

wo jetzt  $t_{S_\alpha}(P)$  definiert ist durch

$$r^2(t_{S\alpha}) \left( \frac{a(t_{S\alpha})}{a(t_0)} \right)^{-1-\alpha} = \frac{P}{S a_0^2}. \quad (4.9)$$

Mit denselben Umformungen, welche zu (4.2) führten, erhalten wir jetzt speziell

$$N(>S, v) = \int_0^\infty dP \int_0^{z_{S\alpha}(P)} dz \frac{4\pi H_0^{-3-4}}{q_0^2} (1+z)^{-6} (1+2q_0 z)^{-1/2} \\ \cdot [z q_0 + (q_0 - 1)(-1 + \sqrt{z q_0 z + 1})]^z n(z, P, v). \quad (4.10)$$

Dabei ist  $z_{S\alpha}(P)$  die Rotverschiebung zu  $t_{S\alpha}(P)$ , also nach (4.9) und (3.2) die Lösung der Gleichung

$$(1+z)^{\frac{\alpha-1}{2}} \frac{z q_0 + (q_0 - 1)(-1 + \sqrt{z q_0 z + 1})}{q_0^2} = H_0 \left(\frac{P}{S}\right)^{1/2}. \quad (4.11)$$

Übungsaufgabe: Verallgemeinere evolutive Effekte und Werte die Gleichung für ein Einstein-de Sitter Modell ( $q_0 = \frac{1}{2}$ ) weiter aus. Bringe das Ergebnis in die Form

$$N(>S, v) = \frac{4\pi}{S} \int_0^\infty \left(\frac{P}{S}\right)^{3/2} h_0(P, v) f\left(\frac{P}{S}\right) dP. \quad (4.12)$$

Darin ist

$$f\left(\frac{P}{S}\right) = y^{-3(1+\alpha)},$$

wobei  $y$  die Lösung von

$$y^\alpha (y-1) = \frac{1}{2} H_0 \left(\frac{P}{S}\right)^{1/2} \quad (4.13)$$

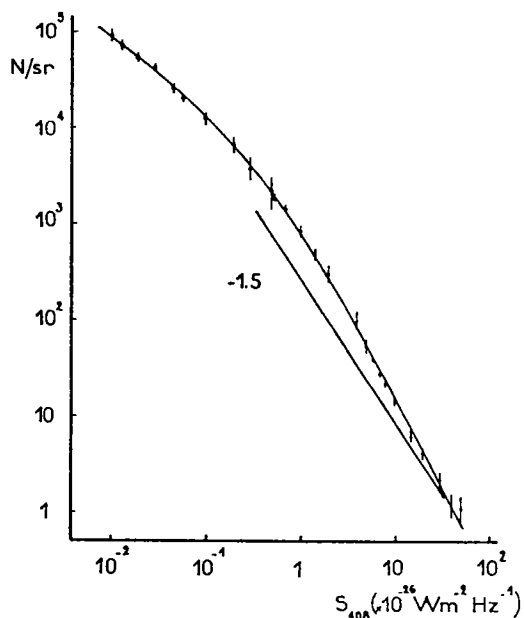
ist. Diskutiere qualitativ die S-Abhängigkeit.

un- und historisch interessant

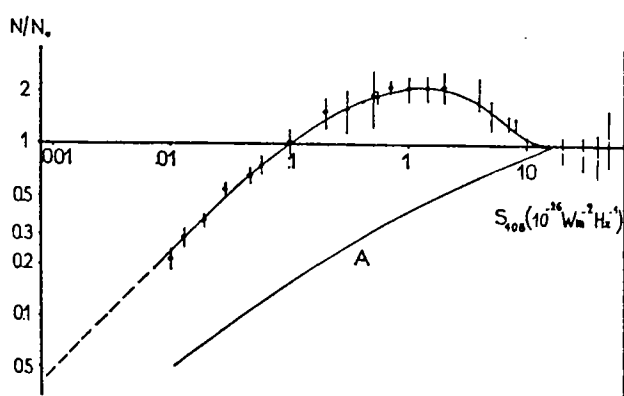
E.4.2

Die folgende Figur 5 zeigt die Messungen (siehe H. Ryle, Ann. Rev. Astron. & Ap., 6, 249 (1968)) und in (b) einen Vergleich

mit dem Einstein-de Sitter-Modell ohne Evolution.  
Davon geht eindeutig hervor, dass evolutionäre Effekte wichtig sind. Deshalb kann man aus den Zählungen von Quellen keine Information über  $H_0$  und  $q_0$  erhalten.



(a) The counts of radio sources at 408 MHz (from Ref. 132). The straight line represents the Euclidean counts  $N \propto S^{-1.5}$ .



(b) The counts of radio sources expressed at  $N/N_0$  where  $N_0$  is the predicted number of sources according to the Euclidean counts,  $N_0 \propto S^{-1.5}$  (Ref. 132). The solid line (A) shows the predicted variation of  $N/N_0$  for a typical classical world model ( $q_0 = \frac{1}{2}, \Lambda = 0$ ).

Fig II.5

Aus (4.2) und der  $m-z$ -Beziehung (3.9) kann man die Verteilung  $N(m)$  bestimmen. Für kleine  $m$  erhält man aus (I.8.16) und (I.7.13)

$$N(< m) = \text{const} \int_0^{\infty} dL \frac{4\pi}{3} n(t_0, L) \left(\frac{L}{4\pi}\right)^{3/2} e^{6m/5} + \dots$$

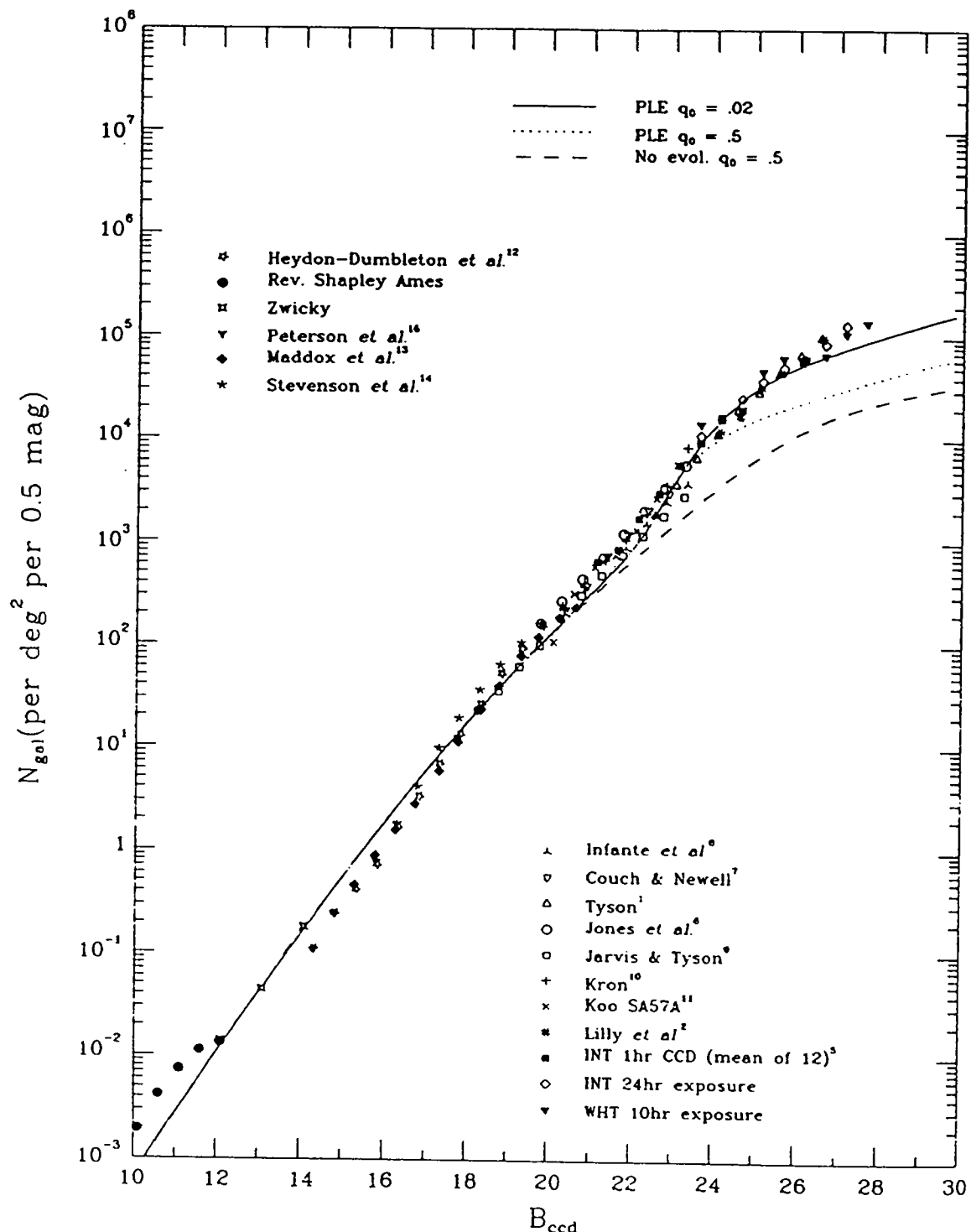
d.h.

$$\frac{d\ln N}{dm} = 0.6 + \dots \quad (\text{E.4.1})$$

Edwin Hubble versuchte ab 1936 mit Galaxienzählung zwischen verschiedenen Weltmodellen zu unterscheiden. In den letzten Jahren wurde es vor allem dank CCD's möglich, Galaxienzählungen bis zur 28. Helligkeit im blauen B-Band auszuführen. Eine Kompilation von relativ neuen Daten ist in der nächsten Figur gezeigt. Die Beobachtungen lassen sich nicht durch unsere Formeln ohne Evolution fitten.

Sandage sagte in seinen Saas-Fee Vorträgen (1993) zu diesen Untersuchungen:

"What has emerged to date in the many papers that survey the problem is that the  $N(m)$  count test, so prominent in the early history of the subject, is unusually insensitive to the intrinsic space curvature, but is, nevertheless, very powerful for discovering the evolution, both in density (or new types of galaxies in earlier times) and/or the luminosity evolution in the look-back time. Hence, the  $N(m)$  test for the 'world model', decast about for so long by the pre-1960 cosmologists, is impotent in the original purpose for which it was devised."



(differential)

Number-counts in the  $B$ -band. Various surveys are shown together with models showing the expectations for pure luminosity evolution (PLE) and different values of the cosmological deceleration parameter  $q_0$ . Reproduced, with permission, from Metcalfe N., Shanks T., Roche N. & Fong R., *Ann. New York Acad. Sci.*, **688**, 534–538 (1993).

Die zweite Figur zeigt die differentielle Zählung im infraroten K-Band. Der Unterschied zum blauen Band ist frappant. Bei schwachen Magnituden liegt die Zahl der Galaxien unterhalb der Extrapolation von den starken Quellen. Die Evolution in den verschiedenen Farbbereichen ist offensichtlich recht unterschiedlich. Dies beruht vermutlich darauf, dass zu mindest eine Unterkategorie von Galaxien Perioden von starker Sternbildung durchläuft. (Dies könnte z.B. auf Verschmelzungen (mergers) von Zwerggalaxien beruhen.)

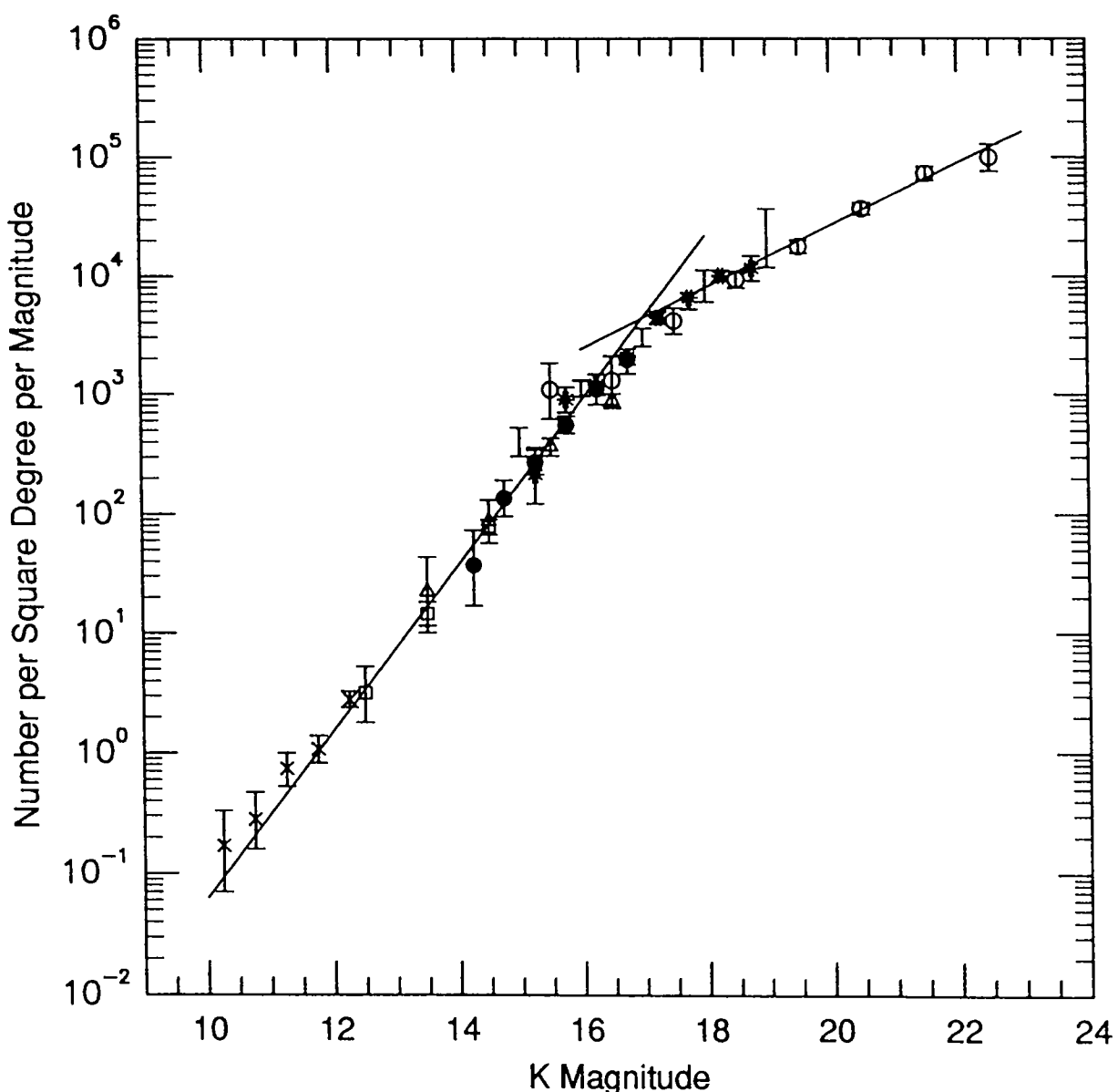


Figure 19.4 Counts of galaxies in the  $K$ -band (centred at  $2.2 \mu\text{m}$ ). Reproduced, with permission, from Gardner J.P., Cowie L.L., & Wainscoat R.J., *Astrophys. J.*, 425, L9–L12 (1993).

E.4.2

- E4 -

Wir leiten zunächst einen Ausdruck für die differentielle Version von  $N(>S, \nu)$  bei Ausgangspunkt 187 (4.8) in der Form:

$$\begin{aligned} N(>S, \nu) &= \int_0^\infty dP \int_{t_S(P)}^{t_0} 4\pi r^2(t_1) a^2(t_1) n(t_1, P, \nu) dt_1 \\ &\stackrel{(4.1)}{=} \int_0^P dP \int_0^{z_{Sx}(P)} dz \frac{4\pi D^2(z)}{H_0(1+z)^4} \frac{1}{\sqrt{1+2q_0 z}} n(z, P, \nu), \end{aligned} \quad (1)$$

60

$$D := a_0 + (t_1) = \frac{d_L}{1+z}. \quad (2)$$

Dieser Ausdruck hängt von  $S$  über die obere  $z$ -Integrationsgrenze ab, welche durch (4.11) bestimmt ist. Differentiell erhalten wir deshalb

$$\frac{dN}{|ds|} = \int dP \frac{4\pi D^2(z)}{H_0 \sqrt{1+2q_0 z}} \frac{n(z, P, \nu)}{(1+z)^3} \frac{1}{1+z} \frac{dz_{Sx}(P)}{|ds|} \quad (3)$$

Die Gl. (4.9) für  $z_{Sx}(P)$  lautet

$$(1+z)^{\frac{\alpha+1}{2}} D(z) = \left(\frac{P}{S}\right)^{1/2} \Rightarrow$$

$$\frac{dz}{|ds|} = \frac{D(1+z)}{(\alpha+1)D+2(1+z) \frac{dD}{dz}} \frac{1}{S}.$$

Dies setzen wir in (3) ein und ersetzen  $D$  mit Hilfe von (4) :

$$\frac{dN}{|ds|} = \frac{4\pi}{H_0} \int \frac{P^{3/2}}{S^{5/2}} \frac{n(z, P, \nu)}{(1+z)^3} \frac{1}{\sqrt{1+2q_0 z}} \frac{(1+z)^{-\frac{3}{2}(1+\alpha)}}{(1+\alpha)D+2(1+z)\frac{dD}{dz}} dP. \quad (6)$$

Da  $D = \frac{1}{H_0} z + \dots$  wird dieser Ausdruck für  $z=0$

$$\frac{dN}{|ds|} \Big|_{z=0} \equiv \frac{dN_0}{|ds|} = \frac{4\pi}{H_0} \int \frac{P^{3/2}}{S^{5/2}} n(0, P, \nu) \frac{H_0}{z} dP \propto S^{-5/2}. \quad (7)$$

- Es -

Das Verhältnis ist also für ein festes  $P$

$$\frac{dN}{dN_0} = \frac{1}{H_0} \frac{h(z, P, \alpha) / (1+z)^3}{h(0, P, \alpha)} \frac{1}{\sqrt{1+zq_0z}} \frac{z \cdot (1+z)^{-\frac{3}{2}(1+\alpha)}}{(1+\alpha)D + z(1+z) \frac{dD}{dz}} . \quad (8)$$

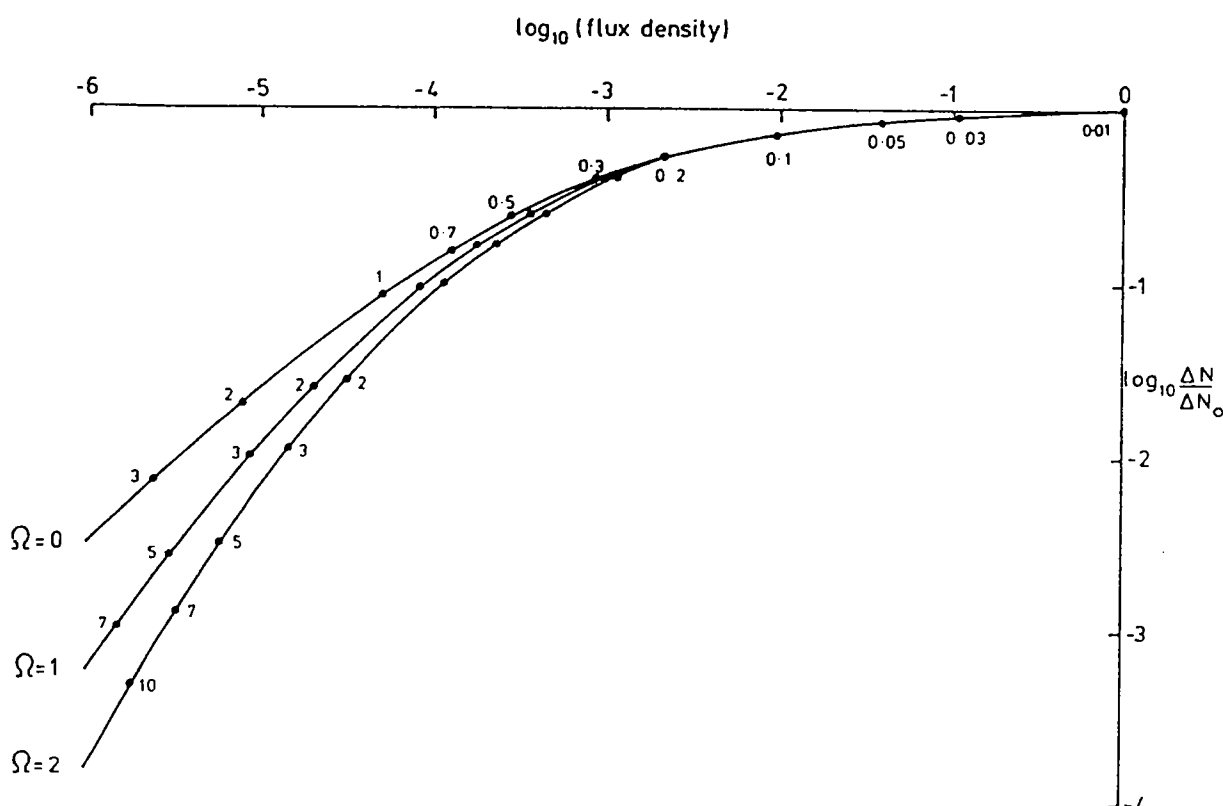
dine Evol. = 1

Dabei ist  $z = z_{\xi_\alpha}(P)$ , Gl. (4.11), also nach (4) bestimmt durch

$$d_L(z) (1+z)^{\frac{\alpha-1}{2}} = \left(\frac{P}{S}\right)^{1/2}. \quad (9)$$

Das Resultat (8), ohne Evolution, ist in der nächsten Figur gezeigt. Für  $q_0 = \frac{1}{2}$  erhalten wir speziell

$$\frac{dN}{dN_0} = \frac{(1+z)^{-\frac{3}{2}(1+\alpha)}}{(1+\alpha)(1+z)^{\frac{1}{2}-\alpha}} . \quad (10)$$



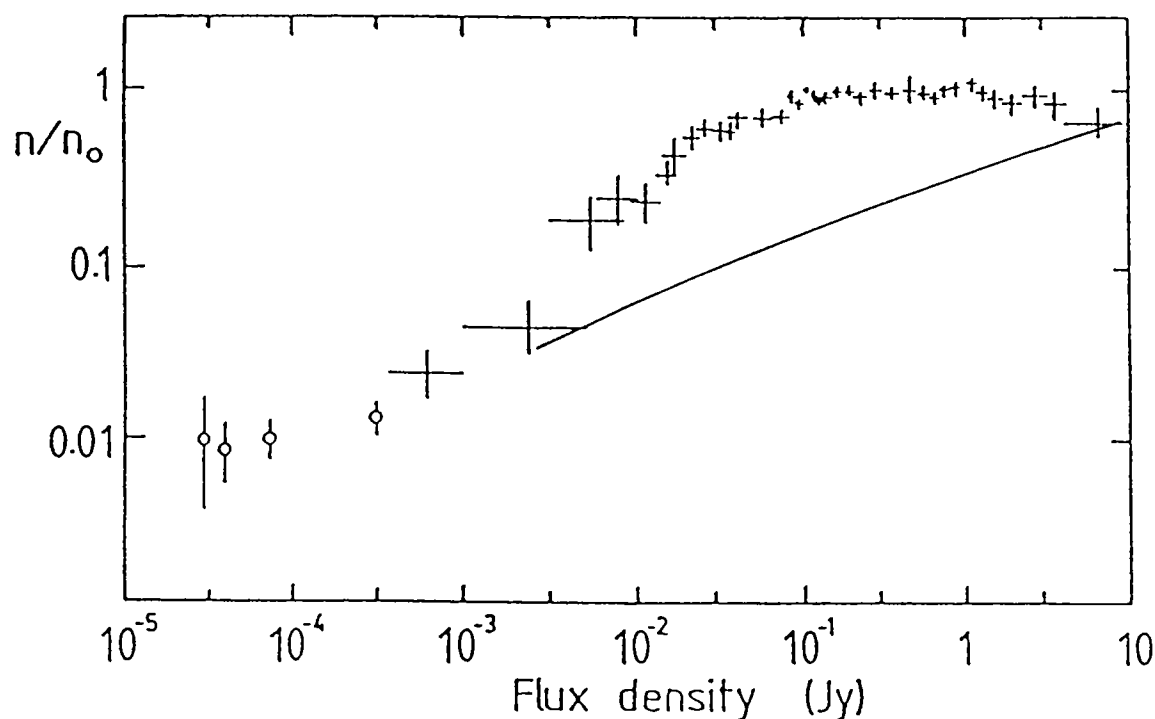
The predicted normalised differential counts of sources for a single luminosity class of source with a power-law spectrum  $S \propto \nu^{-0.75}$ . The redshifts at which the sources are observed are indicated on each of the curves.

Zur die Analyse der Daten muss man den Ausdruck (6) heranziehen. Clue Evolution wird daraus

$$\frac{dN}{dS\Omega} = \frac{4\pi}{H_0} S^{-5/2} \int dP n(0, P, z) \frac{1}{\sqrt{1+z^2}} \frac{(1+z)^{-\frac{3}{2}(1+\alpha)}}{(1+\alpha)D + 2(1+\alpha)\frac{D}{L^2}}. \quad (11)$$

Die Verteilung  $n(0, P, z)$  kann man sich aus Beobachtungen von starken Quellen beschaffen.

Die nächste Figur zeigt das Resultat einer solchen Analyse (Wall 1990). Bei hohen Flussdichten ergibt sich ein Überschuss von schwachen Quellen. Dort gilt ungefähr  $N(>S) \propto S^{-1.8}$ , d.h. der Abfall ist sogar schwächer als die euklidische Voraussage. Man weiß nun, dass dies auf einer übertriebenen Population von Radiogalaxien und Quasaren bei  $z \approx 1$  beruht (siehe Peacock 1993).



Comparison of the counts of radio sources at 5 GHz with the expectations of uniform world models based upon the radio luminosity function of radio sources determined from complete high flux density samples (After Wall 1990).

## 5. Horizonte

Wir betrachten einen Beobachter längs der Weltlinie  $t=0$ . Zu einer gegebenen Zeit kann er nur Signale aus seinem Vergangenheitskegel empfangen. Wird also ein Signal zur Zeit  $t_1$  emittiert, dann kann er es nur empfangen, wenn die radiale Koordinate kleiner ist als  $r_1$ , wobei  $r_1$  die radiale (mitbewegte) Koordinate bestimmt, für die ein dort zur Zeit  $t_1$  abgesandtes Lichtsignal  $t=0$  gerade zur Zeit  $t$  erreicht (s. Fig. 6).

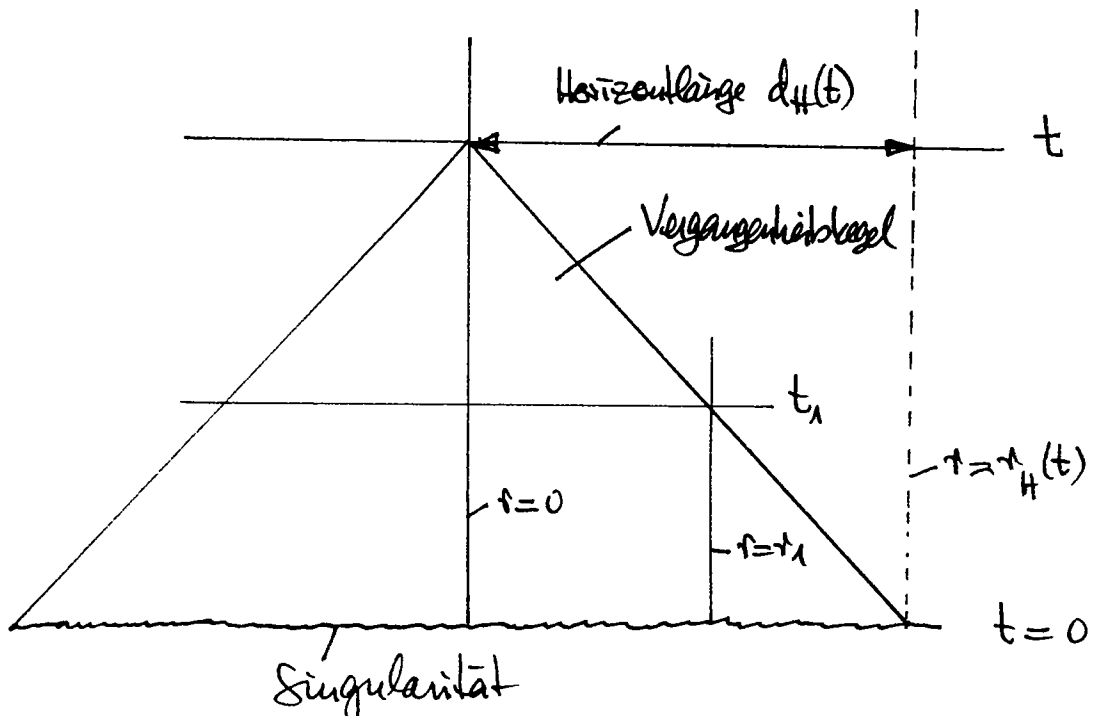


Fig. I.6. Horizontlänge zu Zeit  $t$  des Teilchenhorizonts

Nach (I.6.7) gilt

$$\int_0^{r_1} \frac{dr}{\sqrt{1-kr^2}} = \int_{t_1}^t \frac{dt'}{a(t')} \quad (\text{S.1})$$

Falls das  $t'$ -Integral für  $t_1 \rightarrow 0$  konvergiert, so können wir zur Zeit  $t$  nur Objekte mit  $t < t_H(t)$  "sehen", wobei

$$\int_0^{r_H(t)} \frac{dt}{\sqrt{1-kr^2}} = \int_0^t \frac{dt'}{a(t')} . \quad (5.2)$$

Die zugehörige Länge dieses sog. Teildurchmesser (Wellenlängenhörizont) zu Zeit  $t$  ist, da  $g_{tt} = a(t)(1-kr^2)^{-1/2}$ ,

$$d_H(t) = a(t) \int_0^{r_H(t)} \frac{dr}{\sqrt{1-kr^2}} = a(t) \int_0^t \frac{dt'}{a(t')} . \quad (5.3)$$

Wie bei der Umformung in (3.1) erhalten wir

$$\begin{aligned} d_H(t) &= a(t) \int_0^{a(t)} \frac{da}{a \dot{a}} = \frac{a(t)}{a_0 H_0} \int_0^{a(t)/a_0} \frac{dx}{x (dx/dt)} \\ &= \frac{a(t)}{a_0 H_0} \int_0^{a(t)/a_0} \frac{dx}{x (1-2q_0 + 2q_0/x)^{1/2}} \end{aligned} \quad (5.4)$$

Oder

$$d_H(t) = \begin{cases} \frac{a(t)}{a_0 H_0 \sqrt{2q_0-1}} \cos^{-1} \left[ 1 - \frac{(2q_0-1)a(t)}{q_0 a_0} \right], & k=+1 \\ \frac{2}{H_0} \left( \frac{a(t)}{a_0} \right)^{3/2}, & k=0 \\ \frac{a(t)}{a_0 H_0 \sqrt{1-2q_0}} \cosh^{-1} \left[ 1 - \frac{(1-2q_0)a(t)}{q_0 a_0} \right], & k=-1 \end{cases} \quad (5.5)$$

Für das Einstein-de Sitter Universum ( $q_0 = \frac{1}{2}$ ) erhalten wir insbesondere  $d_H(t_0) = 2/H_0$  (gleich zweimal der Hubble-Radius  $1/H_0$ ). In der Frühzeit des materiedominierenden Ära war  $a \ll a_0$  und folglich nach (5.4) und (2.5)

$$d_H(t) \approx H_0^{-1} \left( \frac{q_0}{2} \right)^{-1/2} \left( \frac{a}{a_0} \right)^{3/2} \approx t . \quad (5.6)$$

Für  $q_0 \leq \frac{1}{2}$  wächst  $a(t)$  unbeschränkt an und deshalb wird  $d_H(t)$  nach (5.5) schneller als  $a(t)$ . Im Laufe der Zeit wird also für  $q_0 \leq \frac{1}{2}$  jedes Objekt innerhalb des Teilchenhorizonts zu liegen kommen.

Für  $q_0 > \frac{1}{2}$  ist das Universum räumlich endlich mit dem Umfang

$$L(t) = 2\pi a(t). \quad (5.7)$$

Nach (5.5) und (1.7) ist

$$\frac{d_H(t)}{L(t)} = \frac{1}{2\pi} \cos^{-1} \left[ 1 - \frac{(2q_0-1)a(t)}{q_0 a_0} \right]. \quad (5.8)$$

Das maximale  $a(t)$  ist nach (2.5) und (1.7)

$$a_{\max} = \frac{2q_0}{H_0 (2q_0-1)^{3/2}} = \frac{2q_0 a_0}{2q_0-1} \quad (5.9)$$

und der Bruchteil (5.8) wird dort gleich  $1/2$ . Zu diesem Zeitpunkt werden wir also bis zu den "Antipoden" sehen. Im Laufe der Kollapsphase wächst (5.8) monoton und erreicht den Wert 1 bei  $a=0$ . (Bestimme die fehlenden Werte für (5.7) und (5.8) für  $q_0=1$  und  $H_0=1/2$ .)

In gewissen kosmologischen Modellen gibt es Ereignisse, die ein Beobachter nie "sehen" kann. Der Rand des über alle Zeiten erfahrbaren Raumzeit Bereiches ist ein sog. Ereignishorizont für den Beobachter.

Ein Ereignis mit  $r=r_1$  zur Zeit  $t_1$  wird in  $t=0$  zur Zeit  $t$  sichtbar, welche durch (5.1) gegeben ist. Falls

das  $t'$ -Integral für  $t \rightarrow t_{\max}$  ( $t_{\max} = \infty$  für  $q_0 \leq \frac{1}{2}$ ,  $\dot{a}(t_{\max}) = 0$  für  $q_0 > \frac{1}{2}$ ) divergiert, dann können wir im Prinzip Signale von jedem Ereignis erhalten, wenn wir nur genügend lange warten. Konvergiert aber das Integral, so können wir nur Signale von Ereignissen je erhalten, für die

$$0 \int_{t_1}^{t_2} \frac{dt}{\sqrt{1-k_r^2}} \leq \int_{t_1}^{t_{\max}} \frac{dt'}{a(t')} . \quad (5.10)$$

Für  $q_0 \leq \frac{1}{2}$  wächst  $a(t)$  mit  $t \rightarrow \infty$  wie  $t$  ( $q_0 < \frac{1}{2}$ ), bzw. wie  $t^{2/3}$  ( $q_0 = \frac{1}{2}$ ). Deshalb divergiert die  $t'$ -Integration bei  $t = \infty$  und es gibt keinen Ereignishorizont für  $q_0 \leq \frac{1}{2}$ .

Für  $q_0 > \frac{1}{2}$  konvergiert hingegen die  $t'$ -Integration für  $t = t_{\max}$ . Ereignisse zur Zeit  $t_1$  sind für  $t \leq t_{\max}$  nur sichtbar, wenn ihr Abstand nicht größer ist als

$$d_E(t_1) = a(t_1) \int_{t_1}^{t_{\max}} \frac{dt'}{a(t')} . \quad (5.11)$$

Wie in (5.4) erhalten wir

$$d_E(t_1) = \frac{a(t_1)}{a_0 H_0 \sqrt{2q_0 - 1}} \left\{ 2\pi - \cos^{-1} \left[ 1 - \frac{(2q_0 - 1)a(t_1)}{q_0 a_0} \right] \right\} \quad (5.12)$$

Oder

$$d_E(z) = \frac{1}{(1+z)H_0 \sqrt{2q_0 - 1}} \left\{ 2\pi - \cos^{-1} \left[ 1 - \frac{2q_0 - 1}{q_0(1+z)} \right] \right\} . \quad (5.13)$$

Beispielsweise ist  $d_E(t_0)$  für  $q_0 = 1$  gleich  $\frac{3\pi}{2} (1/H_0)$ .

## Übungsaufgaben

1. Für die verschiedenen Größen, welche in Fig. 7 angegeben sind, leite man die folgenden Ausdrücke her:

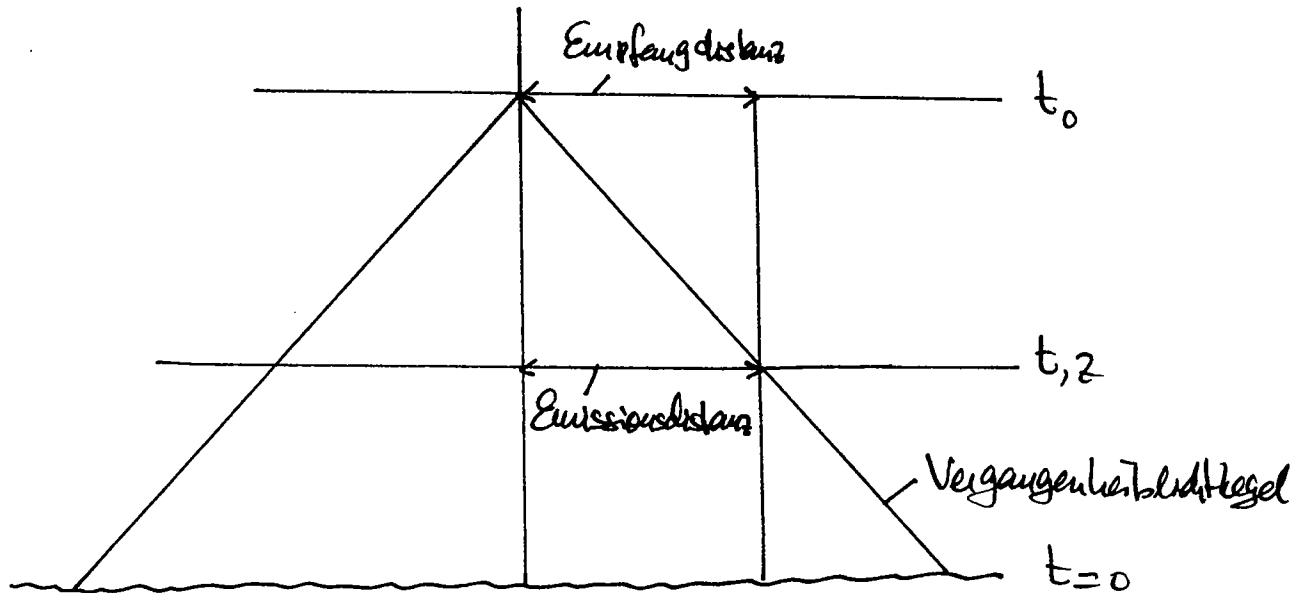


Fig. II.7

$$\left\{ \begin{array}{l}
 \frac{1}{H_0(1+z)\sqrt{2q_{0-1}}} \sin^{-1} \left\{ \frac{\sqrt{2q_{0-1}} [2q_0 + (q_0-1)(-1 + \sqrt{2q_0 z + 1})]}{q_0^2(1+z)} \right\}, k=1 \\
 \frac{2}{H_0(1+z)} \left[ 1 - \frac{1}{\sqrt{1+z}} \right], \quad k=0 \\
 \frac{1}{H_0(1+z)\sqrt{1-2q_0}} \sinh^{-1} \left\{ \frac{\sqrt{1-2q_0} [2q_0 + (q_0-1)(-1 + \sqrt{2q_0 z + 1})]}{q_0^2(1+z)} \right\}, k=-1
 \end{array} \right. \quad (5.14)$$

$$\text{Empfangsdistanz} = (1+z) \cdot \text{Emissionsdistanz}.$$

Von nun an sei  $k=0$ !

$$\text{Horizontdistanz dands} = \frac{2}{H_0} \frac{1}{(1+z)^{3/2}} ; \quad (5.15)$$

$$\frac{\text{Horizontdistanz jetzt} - \text{Empfangsdistanz}}{\text{Horizontdistanz jetzt}} = \frac{1}{\sqrt{1+z}}; \quad (5.16)$$

$$\text{Alter des Universums damals: } t = \frac{2}{3H_0} \frac{1}{(1+z)^{3/2}}; \quad (5.17)$$

$$\text{Alter des Universums heute: } t_0 = \frac{2}{3H_0}; \quad (5.18)$$

$$\text{Zeitblitzzeit: } t_0 - t = \frac{2}{3H_0} \left( 1 - \frac{1}{(1+z)^{3/2}} \right); \quad (5.19)$$

$$\text{Fluchtgeschwindigkeit damals} = z [\sqrt{1+z} - 1]; \quad (5.20)$$

$$\text{Fluchtgeschwindigkeit heute} = z \left[ 1 - \frac{1}{\sqrt{1+z}} \right]. \quad (5.21)$$

Skizzieren die verschiedenen Funktionen von  $z$ .

2. Diskutiere den Ereignishorizont des de Sitter - Universums:

$$g = dt^2 - e^{zt/T} [dx^2 + r^2(d\theta^2 + \sin^2\theta d\phi^2)]. \quad (5.22)$$

---

## 6. Friedmann-Lemaître-Modelle für $\Lambda \neq 0$

Wir untersuchen nun materiedominante Modelle für  $\Lambda \neq 0$ . Die Friedmann-Gleichung lautet dann nach (I.4.12)

$$\frac{\dot{a}^2}{a^2} + \frac{k}{a^2} = \frac{8\pi G}{3} \rho + \frac{\Lambda}{3}. \quad (6.1)$$

Setzen wir hier (2.1) ein, so erhalten wir an Stelle von (2.2) jetzt

$$\left[ \frac{d}{dt} \left( \frac{a}{a_0} \right) \right]^2 - \frac{8\pi G}{3} \rho_0 \frac{a_0}{a} - \frac{\Lambda}{3} \left( \frac{a}{a_0} \right)^2 = -\frac{k}{a_0^2}. \quad (6.2)$$

Für  $t=t_0$  gilt (6.1)

$$H_0^2 + \frac{k}{a_0^2} = \frac{8\pi G}{3} \rho_0 + \frac{\Lambda}{3} \quad (6.3)$$

und die 2. dynamische Gleichung (I.4.13) gibt für  $p_0=0$  an Stelle von (1.7)

$$H_0^2 (1-2\rho_0) + \frac{k}{a_0^2} = \Lambda. \quad (6.4)$$

$\rho_\Lambda$  bezeichnet die "Vakuumenergiendichte",

$$\rho_\Lambda = \frac{\Lambda}{8\pi G}, \quad (6.5)$$

und es sei

$$\lambda = \frac{\rho_\Lambda}{\rho_c} = \frac{\Lambda}{3H_0^2}. \quad (6.6)$$

Durch Vergleich von (6.3) und (6.4) erhalten wir jetzt

$$\boxed{\frac{\Omega_0}{2} - \rho_0 = \lambda, \quad 1 - \Omega_0 - \lambda = -\frac{k}{a_0^2 H_0^2}. \quad (6.7)}$$

Wie in Abschnitt 2 schreiben wir (6.2) dimensionslos ( $\tau = H_0 t$ ,  $x(\tau) = a(t)/a_0$ ) und bekommen statt (2.3)

$$\boxed{\left( \frac{dx}{d\tau} \right)^2 - \Omega_0 \frac{1}{x} - \lambda x^2 = 1 - \Omega_0 - \lambda} \quad (6.8)$$

$(= -k/a_0^2 H_0^2).$

Je nach Vorzeichen von  $\lambda$  (d.h. von  $\Lambda$ ) hat das "Potential"

$$U(x) = -\Omega_0 \frac{1}{x} - \lambda x^2 \quad (6.9)$$

dieses "mechanischen Problems" ein qualitativ ganz anderes Verhalten. Die "Energie" terms in (6.8) ist positiv für  $k < 0$  und negativ für  $k > 0$ . Die qualitativ verschiedenen

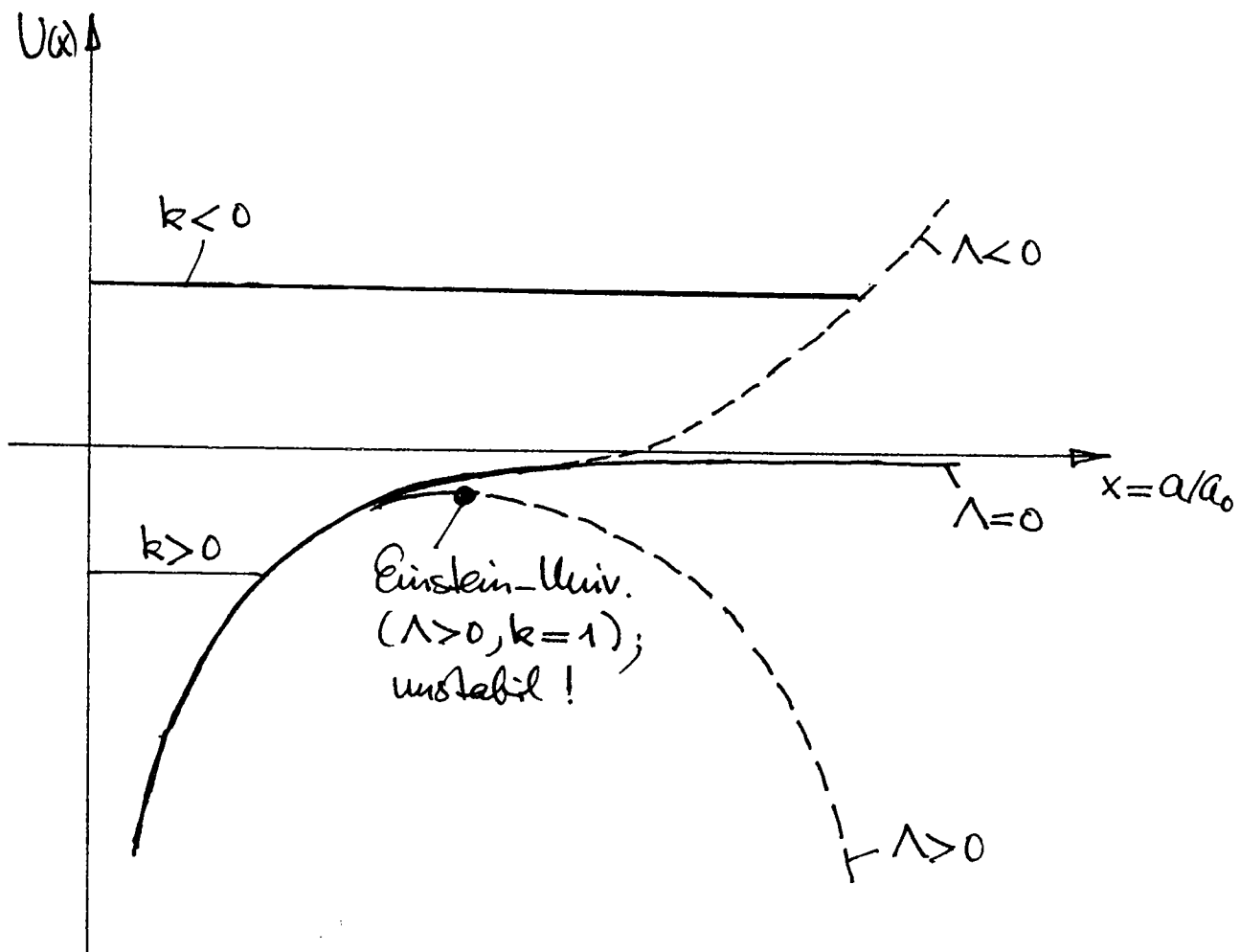


Fig. II.8. Effektives Potential (6.9) von Gl. (6.8)

Möglichkeiten für  $a(t)/a_0$  lassen sich aus der Fig. 8 ablesen, in welcher das effektive Potential (6.9) skizziert ist. (Zerline das zugehörige Phasenportait.)

Historisch spielte ein Modell von Lemaitre<sup>\*)</sup> eine wichtige Rolle. In diesem ist  $\Lambda > 0$ ,  $k=1$  und die Energiekonstante  $\Lambda - \Omega_0 - \gamma$  in (6.8) liegt etwas über dem Wert zum Einstein-Universum (s. Fig. 8). Damit ergibt sich qualitativ das Verhalten in Fig. 9.

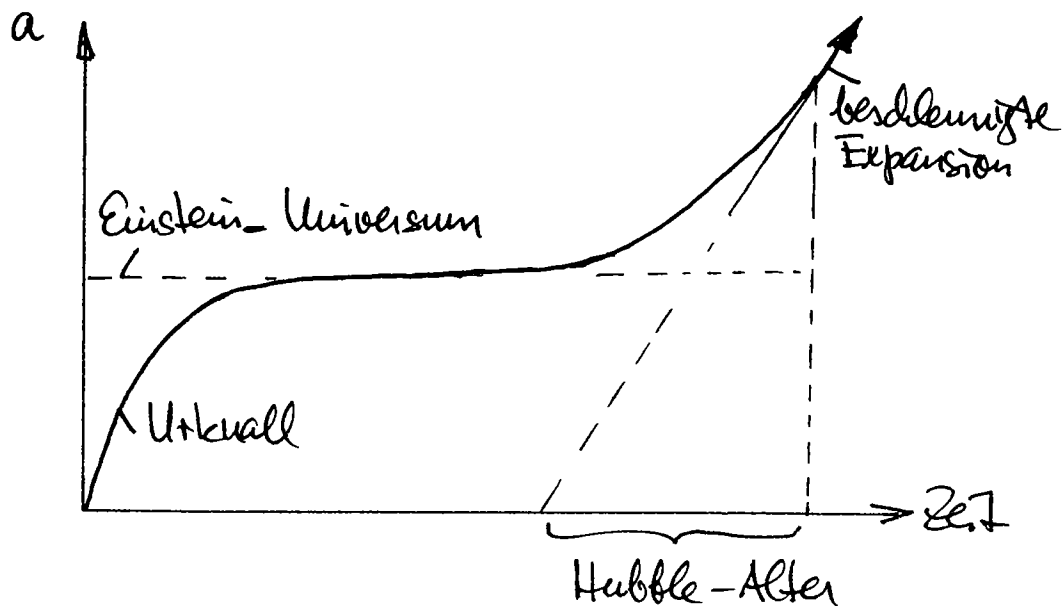


Fig. II.9. Zeitlicher Verlauf des Skalenfaktors im Lemaitre-Modell der verzögerten Expansion

Durch geeignete Wahl der Parameter kann man eine lang

\*) Lemaitre (1894-1966) wurde 1922 zum Priester geweiht.

Er publizierte seine wichtigsten Beiträge zur Expansion des Universums im Jahre 1927 (vgl. Einleitung), zu Zeiten als er am MIT den Ph.D. erlangte. Seine Beiträge blieben zunächst unbeachtet, bis Eddington drei Jahre später auf sie aufmerksam wurde und veranlasste, dass Lemaitres Arbeiten ins Englische übersetzt wurden.

anhaltende Expansionsverzögerung erzielen. In diesem Modell bestimmt die Hubble-Konstante nicht mehr die Zeit, die seit dem Beginn der Expansion vergangen ist. Vielmehr bestimmt der  $\Lambda$ -Term die Expansionszeit des Universums und das könnte dazu benutzt werden, diese mit dem Sternalter in Einklang zu bringen. Für die Neubestimmung der Hubble-Konstanten und der modernen Theorie der Gewichtsentwicklung lösten sich aber alle Widersprüche der Altersbestimmungen (siehe §I.8) und damit entfiel die Notwendigkeit des  $\Lambda$ -Terms zum zweiten Mal.

Die Idee der verzögerten Expansion für  $\Lambda \neq 0$  wurde 1967 im Zusammenhang mit einer vorübergehenden Häufung der Quasarspektroskopien bei  $z=2$  durch Peebles, Salpeter und Sekeres für kurze Zeit wiederbelebt (siehe [ZN, §4.2]).

Auf die Problematik des  $\Lambda$ -Terms (Vakuumenergieproblem) werden wir in Kap. VIII eingehen.

---

Übungsaufgabe: Wie muss man für ein gegebenes  $\Omega_0$  den Parameter  $\lambda$  einstellen, dass das Universum auf einer "Kriegslösung" zum Einstein-Universum ist?

---

## 7. Zw-Dunkelheit des nächtlichen Himmels

"Wenn das wahr ist, und wenn jene Sonnen von gleicher Beschaffenheit sind wie die unsrige, weshalb überbeffen dann alle jene Sonnen insgesamt an Glanz nicht unsre Sonne?"

Kepler (1610), in "Dissertation cum Nuncio Sidereo"

Vor der modernen Kosmologie stellte sich für ein unendlich ausgedehntes statisches Universum das folgende Paradoxon, auf welches im Laufe der Zeit verschiedene Gelehrte hingewiesen haben. In unendlichen Universum, das von Sternen ausgefüllt ist, trifft der Sichtbalk des Beobachters früher oder später auf die strahlende Oberfläche eines Sterns. Deshalb müsste der gesamte Himmel so hell leuchten wie die Oberfläche der Sonne.

Der erste, der auf dieses kosmologische Problem aufmerksam gemacht hat, war J. Kepler im Jahre 1610 in einem Kommentar zu Galilei's Sternboten (Sidereus Nuncius). In dieser berühmten Schrift, in welcher Galilei 1610 die Entdeckung der Jupitermonde beschrieb, sagt er zu seinen Beobachtungen der Himmelszwerze:

"Auf welchen Thier Aussicht man das Temrohr auch richten mag, sogleich zeigt sich dem Blicke eine ungeheure Menge von Sternen, von denen mehrere ziemlich gross und sehr auffallend sind; die Anzahl der kleinen jedoch ist schiedlich unerschöpflich."

Die Erregung, die Kepler bei der Lektüre des Sternboten

überfallen hatte, setzte er unmittelbar in eine Abhandlung um; diese im Stil einer Rezension gehaltene Schrift ließ er nebst einer Vorrede an den Leser im Mai 1610 unter dem Titel "Dissertation cum Nuncio Siderio" (Untersuchung mit dem Sternenboten) drucken. Zuvor hatte Kepler eine Abschrift nach Padua gesandt.

Unter dem Eindruck von Galilei's Auflösung der Huldsasse erörtert Kepler u.a. die Frage der unendlich vielen Welten, wie sie Nikolaus von Cusa vorausgedacht und der zehn Jahre zuvor verbrannte Giordano Bruno in dichterischer Überinterpretation des kopernikanischen Systems zu einer pantheistischen Vision ausgewendet hatte. Die Unmöglichkeit des dunklen Nachthimmels für ein unendliches Universum überzeugte ihn, dass dieses endlich sei und einen äusseren Rand habe.

Später wurde das Thema wiederholt aufgenommen; namentlich durch: E. Halley (1720), J.-P. Léoy de Lessaux (1744), H. Olbers (1823), J. Herschel (1848). Siehe dazu: E.R. Harrison, American Journal of Physics, 45, 119 (1977).

Für ein expandierendes Universum stellt sich das Problem des dunklen Himmels nicht, denn wegen der Existenz eines Horizonts sehen wir nur eine endliche Zahl von Sternen. Noch viel wichtiger ist, dass die Lebensdauer der Sterne endlich ist. Als erste grobe Schätzung würde man erwarten, dass die Strahlungsintensität  $I$  des Himmels durch Galaxien folgende Größe hat

$$I \sim (\text{mittlere Leuchtkraft pro Volumeneinheit} / 4\pi) \cdot \text{Hubbleabstand}. \quad (7.1)$$

Wir geben nun eine verfeinerte Bedingung. Dazu benötigen wir zuerst die Gleichung für die zeitliche Änderung der Strahlungsintensität  $I(\nu, t)$ . Diese sei homogen und isobop. Ohne Emissions- und Absorptionsprozesse wäre  $\dot{\alpha}(t) n_g(\nu(t), t) d\nu(t)$  konstant, wenn  $n_g(\nu, t)$  die spektrale Auszahltdichte der Photonen zur Zeit  $t$  beschreibt. Da  $\nu(t), d\nu(t) \propto 1/\alpha(t)$ , gilt also

$$\frac{d}{dt} (\dot{\alpha}(t) n_g(\nu(t), t)) = 0. \quad (7.2)$$

Nun ist

$$I(\nu, t) = h\nu n_g(\nu, t); \quad (7.3)$$

folglich

$$\frac{d}{dt} (\dot{\alpha}(t) I(\nu(t), t)) = 0, \quad (7.4)$$

oder

$$\frac{d}{dt} I(\nu(t), t) = -3 \frac{\dot{\alpha}}{\alpha} I(\nu(t), t). \quad (7.5)$$

Wenn es eine Strahlungsquelle  $f(\nu, t)$  ( $\text{erg cm}^{-3} \text{Hz}^{-1} \text{ster}^{-1}$ )

-79-

gibt, so haben wir statt dessen (von Absorption wollen wir abschauen)

$$\boxed{\frac{d}{dt} I(\nu(t), t) = -3 \frac{\dot{a}}{a} I(\nu(t), t) + j(\nu(t), t)} \quad (7.6)$$

Diese Gleichung hat die Lösung

$$I(\nu, t) = \int_0^t dt' \left( \frac{a(t')}{a(t)} \right)^3 j(\nu(t'), t'). \quad (7.7)$$

Wir setzen

$$j(\nu, t) = n(t) L(\nu, t) / 4\pi. \quad (7.8)$$

E.7.1

$\nearrow$  Eigendichte der Quellen       $\nearrow$  mittlere spektrale Luminosität einer Galaxie zu Zeit  $t$  (Evolution!)

Falls die Zahl der Quellen erhalten ist, gilt

$$n(t) = \left( \frac{a(t_0)}{a(t)} \right)^3 n_0, \quad n_0 := n(t_0), \quad (7.9)$$

und somit ist die gegenwärtige Intensität

$$I(\nu) = \frac{n_0}{4\pi} \int_0^{t_0} L(\nu(t), t) dt;$$

oder mit

$$\nu(t) = \nu \frac{a(t_0)}{a(t)}, \quad d\nu(t) = -\nu(t) \frac{\dot{a}}{a} dt,$$

$$I(\nu) = \frac{n_0}{4\pi} \int_{\nu}^{\infty} \frac{L(\nu', z)}{\nu'} \frac{1}{(\dot{a}/a)} d\nu' , \quad \nu(1+z) = \nu'.$$

Nach (2.4) ist

$$\frac{\dot{a}}{a} = H_0(1+z) \sqrt{1+Q_0z}. \quad (7.10)$$

Damit kommt

$$I(\nu) = \frac{h_0}{4\pi H_0} \int_{\nu}^{\infty} \frac{L(\nu', z = \frac{\nu'}{\nu} - 1)}{\nu'} \frac{1}{(1+z)\sqrt{1+Q_0z}} d\nu',$$

oder endgültig

$$\boxed{I(\nu) = \frac{h_0}{4\pi H_0} \int_{\nu}^{\infty} \frac{L(\nu', z = \frac{\nu'}{\nu} - 1)}{\nu' (\nu'/\nu)} \frac{1}{\sqrt{1+Q_0(1+\nu'/\nu)}} d\nu'}. \quad (7.11)$$

Vernachlässigen wir evolutive Effekte, sowie die langsam variierenden Faktoren im Nenner, so ergibt sich Näherungsweise

$$\boxed{I(\nu) \approx \frac{h_0}{4\pi H_0} \int_{\nu}^{\infty} \frac{L(\nu')}{\nu'} d\nu'}. \quad (7.12)$$

Vergleiche dies mit der groben Schätzung (7.1).

Aus Messungen findet man für das Integral für  $\lambda = 5500 \text{ Å}$  etwa den Wert  $0.22 L(\nu = \frac{c}{5500 \text{ Å}})$  (siehe [P1, p.63]). Damit ergibt sich aus (7.12)

$$\nu I(\nu) \approx 0.22 c \nu \frac{h_0 L(\nu)}{4\pi H_0}, \text{ für } \nu = \frac{c}{5500 \text{ Å}}$$

Ferner zeigen die Beobachtungen, dass die Luminosität (7.13) der Galaxien pro Volumeneinheit im Mittel bei  $\lambda = 5500 \text{ Å}$  die folgende Größe hat (siehe (1.10)  $\Delta\nu$  ist die Breite des V-Filters)

$$\Delta\nu \cdot h_0 L(\nu = \frac{c}{5500 \text{ Å}}) \approx 1.5 \times 10^8 h_0 L_\odot (\text{Mpc})^{-3}. \quad (7.14)$$

Bemerkten wir dies in (7.13), so fällt  $h_0$  heraus und wir

erhalten ( $\Delta\lambda_{12} = 900 \text{ \AA}$ ):

$$\begin{aligned} > I(\nu) &\simeq 2.5 \times 10^{-6} \text{ erg cm}^{-2} \text{ s}^{-1} \text{ ster}^{-1} \\ &= 0.37 S_{10}(V). \end{aligned} \quad (7.15)$$

Dabei bezeichnet  $S_{10}(V)$  die äquivalente Zahl von Sternen mit  $m_V = 10 \text{ mag}$ ; für den Umrechnungsfaktor findet man aus der Definition

$$\begin{aligned} > I(\nu) &= \lambda I(\lambda) = 6.86 \times 10^{-6} S_{10}(V) \text{ erg cm}^{-2} \text{ s}^{-1} \text{ ster}^{-1}, \\ \lambda &= \frac{\nu}{c} = 5500 \text{ \AA}. \end{aligned}$$

Es ist schwierig den integrierten Anteil zu bestimmen, denn das integrierte Sternenlicht der Galaxis ist allein etwa  $100 S_{10}(V)$ . Obere Schranken sind aber höchstens 5 mal grösser als der gesuchte Wert (7.15).

Übungsaufgabe: Leite aus (7.6) eine Differenzialgleichung für die Energiedichte der Strahlung ab und diskutiere ähnlich wie oben deren heutigen Wert.

E.7.1

Hintergrundsbalkung

-E1-

Ausgehend von (7.7) und (7.8) leiten wir zunächst einen geeigneten allgemeinen Ausdruck für die Hintergrund-Intensitätsverteilung ab.

Es war

$$I(\nu) = \int_0^{t_0} dt \left( \frac{a(t)}{a_0} \right)^3 n(t) \frac{L(\nu(t), t)}{4\pi}. \quad (1)$$

Führen wir statt  $t$  die Rotverschiebung ein,

$$dt \stackrel{(4.1)}{=} -\frac{1}{H_0(1+z)^2 \sqrt{1+zq_0z}} dz, \quad \nu(t) = \nu(1+z),$$

so erhalten wir als Ausgangspunkt

$$I(\nu) = \frac{1}{H_0} \frac{1}{4\pi} \int_0^{\infty} dz \frac{n(z) L(\nu(1+z), z)}{(1+z)^5 (1+zq_0z)^{1/2}}. \quad (2)$$

Die Zahl der Quellen sei erhalten:  $n(z) = n_0 (1+z)^3$ . Dann wird aus (2)

$$I(\nu) = \frac{n_0}{4\pi H_0} \int_0^{\infty} \frac{L(\nu(1+z), z)}{(1+z)^2 (1+zq_0z)^{1/2}} dz. \quad (3)$$

Dies ist äquivalent zu (7.11) [ $z \leftrightarrow \nu'$ ]. Falls  $L(\nu, z)$  unabhängig von  $z$  wäre (keine Evolution), dann könnten wir über  $\nu$  integrieren:

$$I = \frac{n_0 L / 4\pi}{H_0} \int_0^{\infty} \frac{dz}{(1+z)^3 \sqrt{1+zq_0z}}, \quad L := \int L(\nu) d\nu. \quad (4)$$

$$\underbrace{\frac{2}{3} \text{ für } q_0 = 1/2}_{\text{oder } q_0 = 0}.$$

Für ein Potenzgesetz  $L(\nu, z) \propto \nu^{-\alpha}$  ist

$$L(\nu(1+z), z) = \frac{L(\nu, z)}{(1+z)^{\alpha}}.$$

Setzen wir noch

$$\frac{u(z)}{(1+z)^3} L(\nu(1+z), z) =: u_0 L(\nu) \frac{1}{(1+z)^\alpha} f(L, z, \alpha, \text{Typ}, \dots) \quad (5)$$

so wird aus (3)

$f$  = Evolutionsfunktion  
( $f=1$  ohne Evol.)

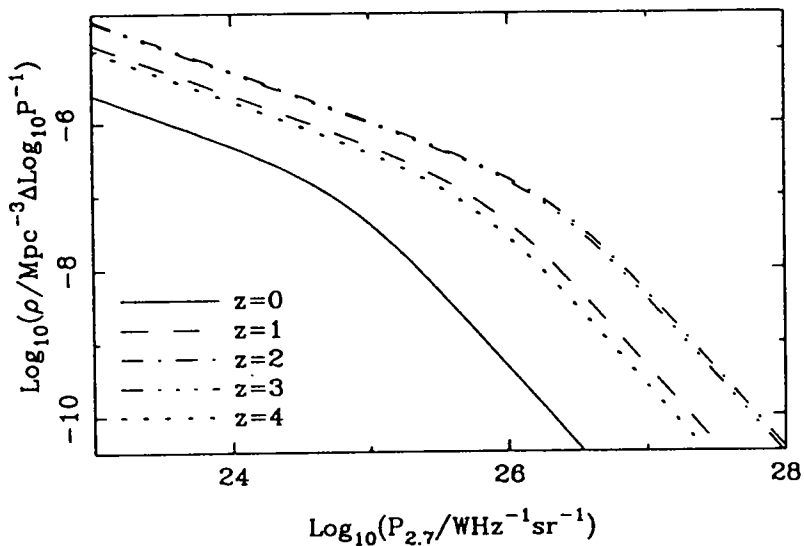
$$I(\nu) = \frac{1}{4\pi} \frac{L(\nu)u_0}{H_0} \int_0^\infty dz \frac{f(L, z, \dots)}{(1+z)^{2+\alpha}(1+zq_0z)^{1/2}}. \quad (6)$$

Bsp.  $z_0 = zq_0 = 1$ ,  $\alpha = 1$ ; Integration bis  $z_{\max}$

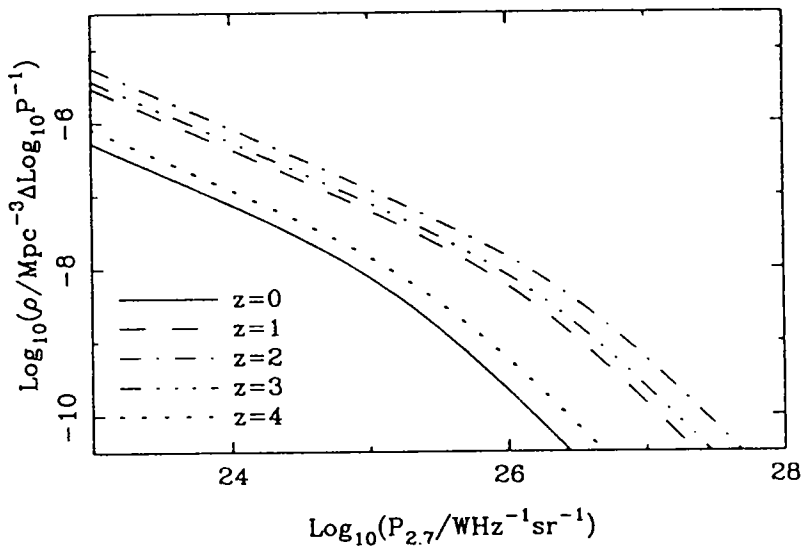
$$I(\nu) = \frac{2}{5H_0} L(\nu) u_0 [1 - (1+z_{\max})^{-5/2}]. \quad (7)$$

Formeln der Art (6) sind benutzt worden, um z.B. die Evolution von Radioquellen zu bestimmen. Ein Beispiel einer Studie zeigt die folgende Figur (MNRAS 247, 19 (1990)). Daraus kann man die Entwicklung der (unbewegten) Luminositätsfunktion entnehmen.

Steep-Spectrum



Flat-Spectrum



Illustrating the evolution of the luminosity function of extragalactic radio sources with steep and flat radio spectra with redshift (or with cosmic epoch). Note that these luminosity functions are presented by per unit *comoving volume* so that the changes in the functions are over and above the changes in number density associated with the expansion of the Universe (Dunlop and Peacock 1990)



## 8. Größe und Alter des Universums

"The present Universe is something like the old professor wearing retirement with his brilliant future behind him".

A. Sandage

In diesem Abschnitt gehen wir etwas näher auf die verschiedenen Bestimmungen der dynamischen Parameter  $H_0$ ,  $q_0$ ,  $S_0$  und  $\Lambda$  ein und geben ergänzende literatur-  
hinweise. → Ben. (1997). Auf diesem Sektor ist inzwischen viel  
passiert, aber Vieles ist noch im Fluss.

### 8.1 Altersbestimmungen

Wir zeigen im folgenden, dass drei ganz verschiedene Alters-  
bestimmungen — innerhalb der beobachtbaren Universi-  
täten — untereinander vergleichbar sind.

#### a) Alter von Kugelsternhaufen

Kugelsternhaufen bestehen aus "metallarmen" Population-II-Sternen und gehören zu den ältesten Objekten im Weltall.

Da die Sterne eines Haufens vermutlich alle ungefähr zur gleichen Zeit und am gleichen Ort entstanden sind, spiegelt das Hertzsprung-Russell-Diagramm eines Sternhaufens den Entwicklungspfad der Sterne wieder. Durch Vergleich von theoretischen Entwicklungsmustern mit der

beobachteten Verteilung im H-R-Diagramm ist es möglich, das Alter eines Kugelsternhauses abzuschätzen. Besonders der Abknickpunkt von der Hauptreihe (siehe Fig. 10) hängt sehr empfindlich vom Alter des Hauses ab.

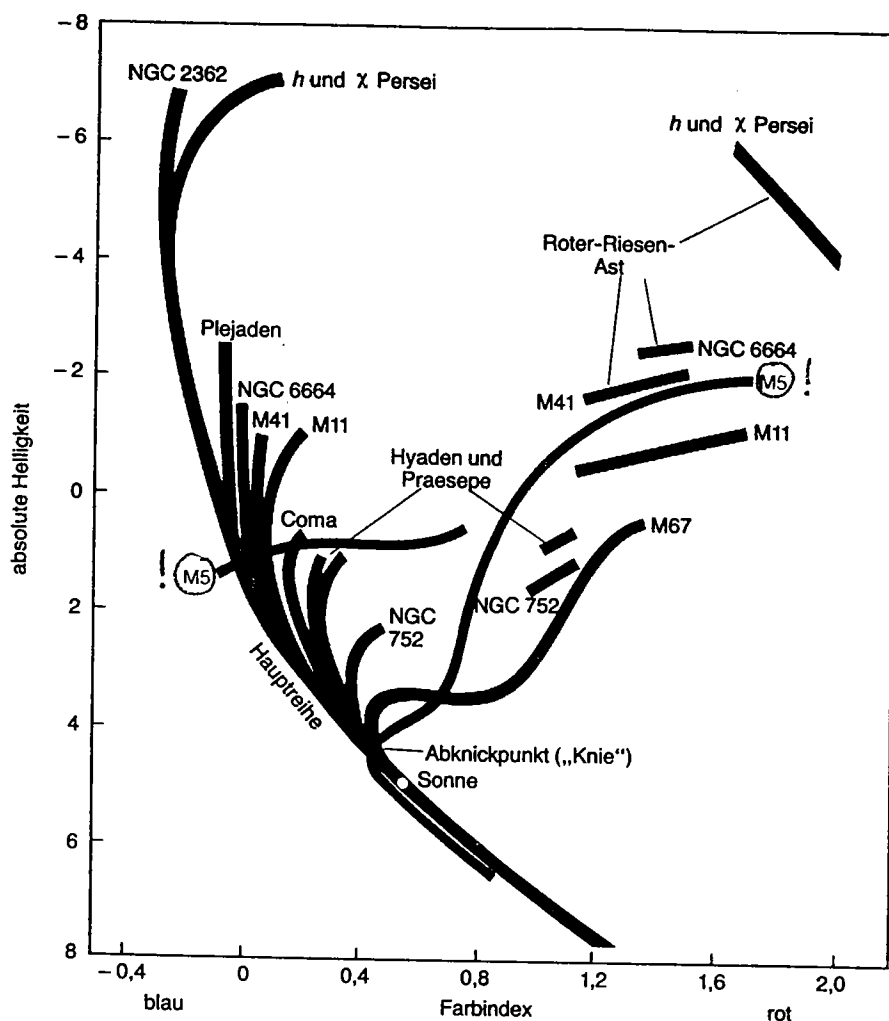


Fig. II. 10. H-R-Diagramme für Sternhaufen. M5 ist ein Kugelsternhaufen (Population II); alle übrigen sind offene Sternhaufen (Population I).

Auf der theoretischen Seite wurden in den letzten Jahren verbesserte Sternmodelle entwickelt<sup>1), 2)</sup>, wobei vor allem

1) D. A. Vandenberg, Ap. J. Suppl. Series 51, 29 (1983)

2) K. Janes, P. Demarque, Ap. J. 264, 206 (1983)

genauere Gravitationen verwendet wurden. Zudem wurden mit Hilfe von gesuchten Modellatmosphären die äusseren Randbedingungen genauer berücksichtigt. Wichtig ist, dass sich die Abhängigkeiten von der Hauptreihe als unempfindlich auf die Wahl der Parameter in einer Strömungstheorie für die Konvektion erweist.

Auf der Beobachtungssseite ist eine genaue Photometrie der Kugelhaufen sehr schwierig, da diese alle sehr weit von uns entfernt sind. Ein Beispiel ist in Fig. 11 gezeigt. (In den günstigsten Fällen liegt die scheinbare

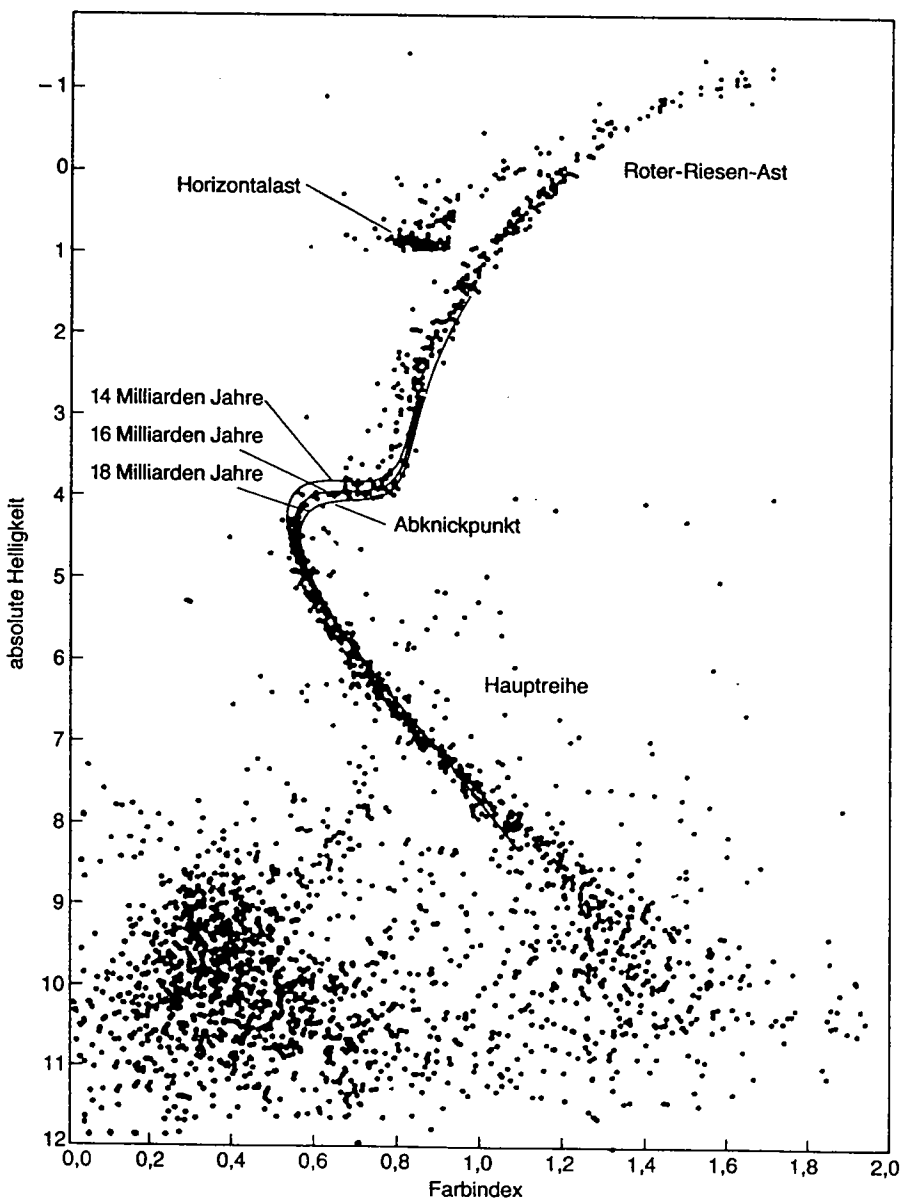


Fig. II. 11. H-R-Diagramm für den riesigen Kugelhaufen 47 Tucanae

Helligkeit bei  $19^m$  und  $20^m$ .) Aus diesem Grund sind bis heute erst 15 Kugelhaufen photometriert. (Diese Lage dürfte sich mit dem "Space Teleskop" und neuen Detektionsystemen verbessern.)

Durch Anpassung der Entfernungswerte an die Beobachtungen von 15 Kugelhaufen bestimmte Vandenbergh das Alter zu

$$T_{KH} = (15 - 18) \times 10^9 \text{ a.} \quad (8.1)$$

Ein Beispiel für diese Anpassung ist in Fig. 11 gezeigt. Wichtig ist, dass das so bestimmte Alter auch von der angenommenen Heliumhäufigkeit der Ausgangselementverteilung abhängt. Es zeigte sich, dass man für 20%  $^{4}\text{He}$  i.a. eine bessere Übereinstimmung bekommt als für 30%. Dies ist im Hinblick auf die Frage der primordialen He-Häufigkeit, welche in Kap. IV diskutiert werden wird, von Bedeutung.

Die Fehler dieser Altersbestimmung sind schwierig anzugeben, da verschiedene Unsicherheiten mitspielen (Entfernung, interstellare Absorption, chemische Zusammensetzung, theoretische Fehler). Eine untere Schranke von  $T_{KH} > 13 \times 10^9 \text{ a}$  dürfte jedoch ziemlich zuverlässig sein. Diese Linie gibt bereits interessante Einschätzungen an die Parameter  $h_0$  und  $\Omega_0$ , wie aus Fig. 12 hervorgeht. So können wir sogar für kleine Werte von  $\Omega_0$  auf  $h_0 < 3/4$  schließen. Wäre

außerhalb  $\Omega_0 = 1$  (wie dies durch das inflationsäre Modell vorausgesagt wird), so ergibt sich  $h_0 \leq 1/2$  (wenn  $\Lambda = 0$  vorausgesetzt).

Diese Schranken sind konservativ, da  $t_0$  um Fließes grösser sein sollte als  $T_{KH}$ . Sandage<sup>3)</sup> schätzt, dass die Kugelhaufen etwa  $2.3 \times 10^9$  Jahre nach dem Urknall gebildet wurden. (Dies entspricht  $z \approx 4$  und das Argument beruht auf einem angeblich realen cut-off in der Quasarverteilung.) Jedenfalls ist  $T_{KH}$  verhältnisweise

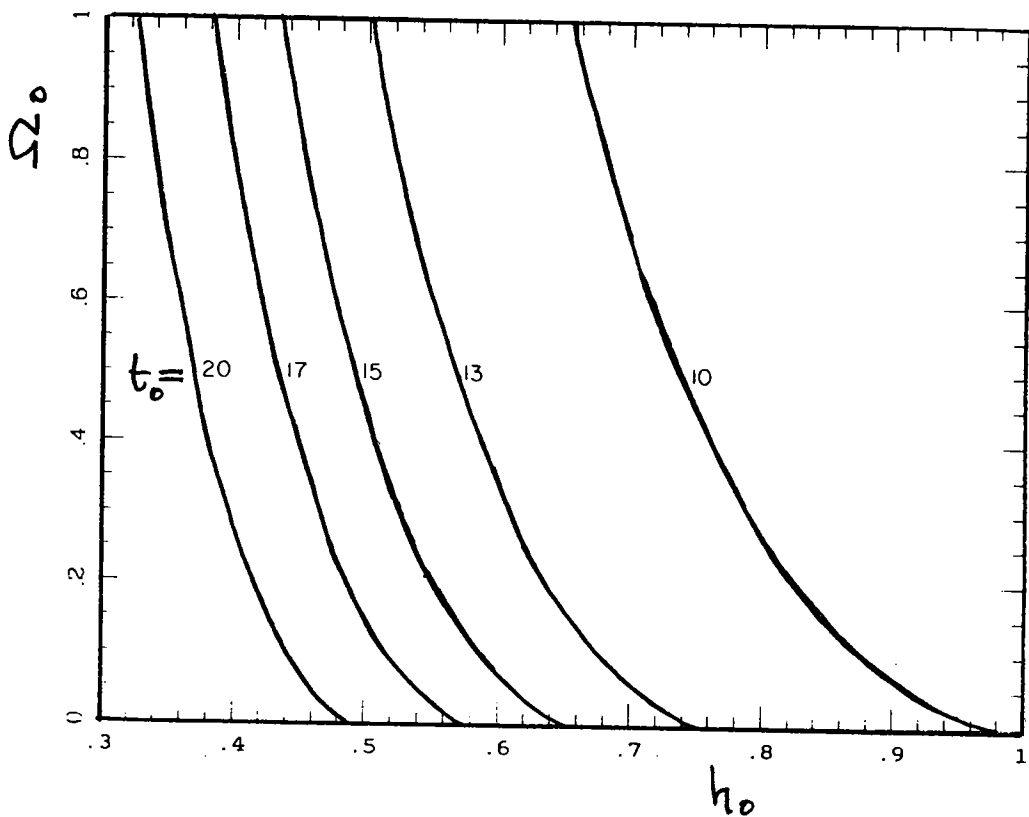


Fig. II.12. Beziehung zwischen  $h_0$  und  $\Omega_0$  für verschiedene Werte von  $t_0$  (in Ga) gemäss Gl. (2.8-10)

mit den unabhängigen Bestimmungen von  $h_0$  und  $\Omega_0$  (siehe §§8.2-3).

<sup>3)</sup> A. Sandage, Beibag in [K4].

### b) Alter der dreunischen Elemente (Nukleosynthesekronologie)

Für das Verständnis dieser "kosmischen  $^{14}\text{C}$ -Metode" sollte man das folgende qualitative Bild vor Augen haben (Einzelheiten kann folgen).

Für die Bildung der Galaxien setzte die Nukleosynthese aller Elemente mit  $A \geq 12$  – insbesondere auch der schweren Elemente jenseits von Eisen bis hin zu Uran – ein. Da die Bildung der Galaxien noch sehr spät stattgefunden hat (siehe Kap. V), wissen wir nicht, welche Zeit seit dem Urknall verstrichen war. Üblicherweise wird dafür etwa eine Milliarde Jahre angenommen. Die weitere dreunische Entwicklung der Galaxis ist natürlich außerordentlich komplex und wir wissen darüber wenig Quantitatives. Die uns interessierenden "kosmischen Chronometer" – wie z.B.  $^{238}\text{U}$  und  $^{232}\text{Th}$  – wurden durch rasche Neubauensinfänge ( $\alpha$ -Prozesse) in Supernova-Explosionen gebildet. Mit den heutigen Kenntnissen der Kernphysik können die relativen Häufigkeiten der  $\alpha$ -Elemente bei der Bildung recht genau bestimmt werden (s. unten). In folgenden betrachte  $T$  den Zeitraum der kontinuierlichen Synthese von  $\alpha$ -Kernen in der Galaxis durch Supernova-Explosionen bis zur Isolation der präsolaren Wolke (vgl. Fig. 13). Nach einer weiteren Zeit  $\Delta$ , die im Vergleich zu  $T$  kurz sein sollte, wird diese Wolke kondensieren. Von da an bis heute ist die Zeit  $4.55 \times 10^9$  a verstrichen; dies geht aus radioaktiven Datierungen

von Meteoriten sehr genau hervor (s. unten).

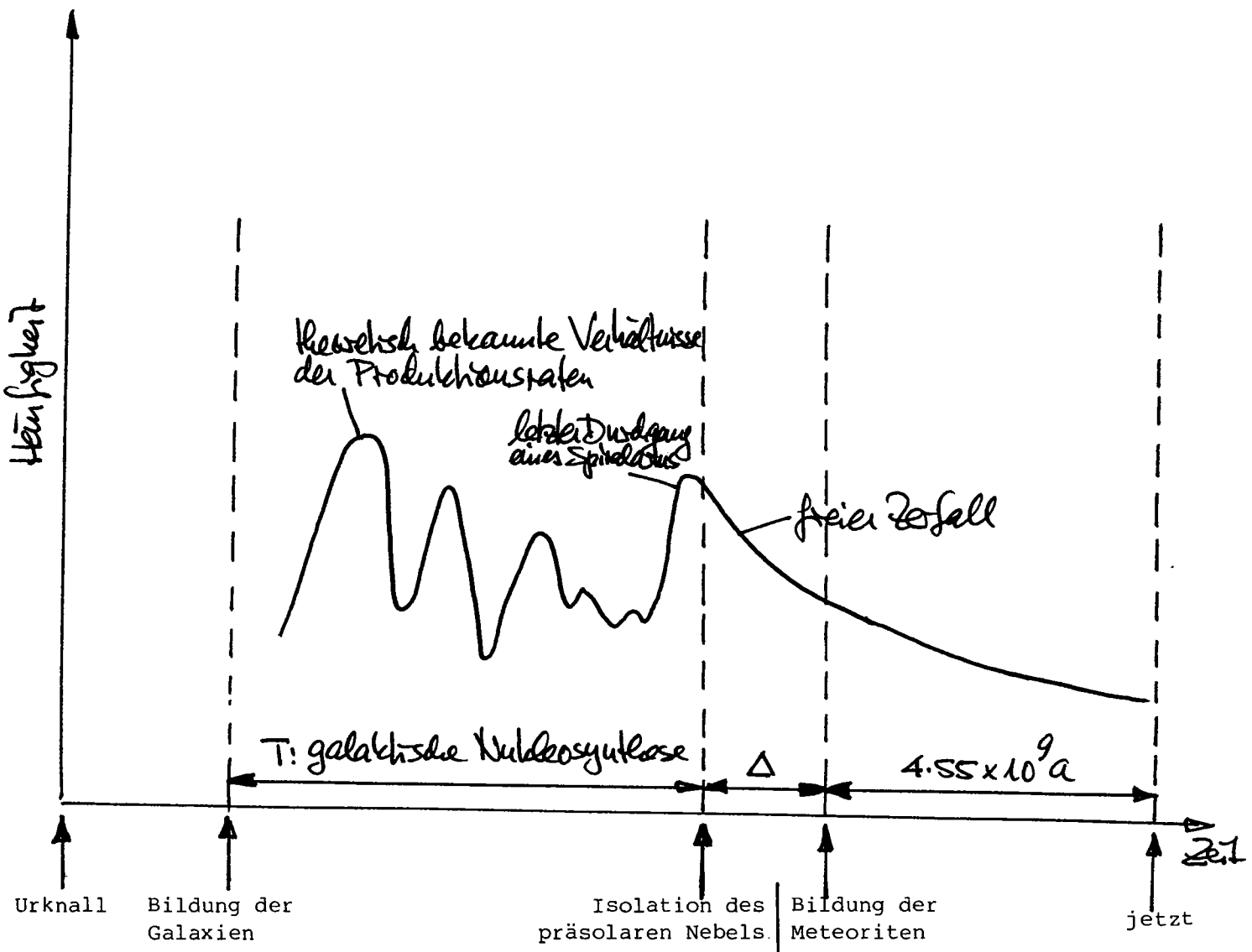


Fig. II. 13. Schematische Geschichte der kosmischen Chronometer  
Das Alter  $T_G$  der Galaxis ist

$$T_G = T + \Delta + 4.55 \times 10^9 a. \quad (8.2)$$

Nun geht es vor allem darum, die Zeit  $T$  zu bestimmen.  
Dazu verwendet man Kerne, deren Halbwertzeiten viel grösser als  $\Delta$  sind. Besonders  
gute Kandidaten sind z.B.

$$\begin{aligned} {}^{238}U : \quad T_{1/2} &= 4.47 \times 10^9 a \\ {}^{232}Th : \quad T_{1/2} &= 1.405 \times 10^{10} a. \end{aligned} \quad (8.3)$$

Die meteoritischen beobachteten Häufigkeiten werden Anteile aus der gesamten Zeitspanne der Nukleosynthese erhalten und sind praktisch unabhängig von  $\Delta$ .

Wir kennen also grundsätzlich von theoretischen Bedingungen die Verhältnisse  $P_i / P_j$  der Produktionsraten von Chonometrischen Paaren im  $t$ -Prozess und anderseits aus Messungen an Meteoriten die Häufigkeitsverhältnisse  $Y_i(t+\Delta) / Y_j(t+\Delta)$  zur Zeit  $t+\Delta$  der Kondensation des solaren Materials. Die folgende gebräuchlichen Größen

$$R_{ij} = \frac{P_i / P_j}{Y_i(t+\Delta) / Y_j(t+\Delta)} \quad (8.4)$$

können wir also als bekannt ansehen. Um aus diesen die Zeit  $T$  zu erhalten zu können, benötigt man gewisse Annahmen über die detaillierte Evolution der Galaxis. Es ist dabei vorausgesetzt, eine kontinuierliche Nukleosynthese anzunehmen, da sehr viele Ereignisse (Supernovae) beibauen und die Durchmischung durch differentielle galaktische Rotation relativ rasch stattfindet.

Die Änderungen der Häufigkeiten  $Y_i(t)$  werden durch Differenzialgleichungen der Form

$$\frac{dY_i}{dt} = -\lambda_i Y_i + \phi(Y_i, t) \quad (8.5)$$

beschrieben [ $\lambda_i$ : Zerfallsraten,  $\phi$ : (netto) Produktionsraten]. Für das Material, aus welchem das Sonnensystem entstand,

dürfen wir dabei statische Homogenität annehmen.  
In der Praxis vereinfacht man  $\phi$  meistens durch den  
linearen Ansatz  $\dot{Y}_i$ :

$$\phi(Y_i, t) = \omega Y_i + P_i p(t).$$

Die statischen Produktionsraten  $P_i p(t)/P_j p(t) = P_i/P_j$   
sind dabei für alle Quellen konstant (und theoretisch  
bekannt). Die Differenzialgleichungen lauten dann

$$\frac{dY_i}{dt} = -(\lambda_i - \omega) Y_i + P_i p(t), \quad (8.6)$$

und diese haben die Lösungen ( $t=0$  sei der Zeitpunkt  
des Synthesebeginns):

$$Y_i(t) = e^{-(\lambda_i - \omega)t} \int_0^t e^{(\lambda_i - \omega)u} P_i p(u) du, \quad t \leq T.$$

Für  $t > T$  schlässt sich der freie Zerfall an, weshalb

$$Y_i(T+\Delta) = P_i T \langle p \rangle e^{-\lambda_i \Delta} e^{-(\lambda_i - \omega)T} \int_0^T e^{(\lambda_i - \omega)u} g(u) du, \quad (8.7)$$

wobei

$$\langle p \rangle = \frac{1}{T} \int_0^T p(u) du \quad (8.8)$$

und

$$g(u) = \frac{p(u)}{T \langle p \rangle} \quad (8.9)$$

die korrigierte Produktions-Wahrscheinlichkeitsdichte ist.  
Darauf erhalten wir für die uns interessierende Größe

$T+\Delta$ :

$$T+\Delta = \frac{\ln R_{ij}}{\lambda_i - \lambda_j} + \frac{\ln [\psi_p(\omega - \lambda_i)/\psi_p(\omega - \lambda_j)]}{\lambda_i - \lambda_j}, \quad (8.10)$$

wobei

$$\Phi_p(x) = \int_0^T g(u) e^{-xu} du \quad (8.11)$$

die Laplace-Transformierte der W-Dichte  $g$  ist. In dieser steht die einzige Modellvariable in (8.10) – abgesehen vom Parameter  $\omega$ , welcher oft null gesetzt wird.

Als Illustration betrachten wir den Grenzfall sehr langlebiger Isotope:  $\lambda_i T, \lambda_j T \ll 1$ . Dann wird aus (8.10) in 1. Näherung

$$T + \Delta = \frac{\ln R_{ij}}{\lambda_i - \lambda_j} + \langle \tau \rangle , \quad (8.12)$$

mit  $\langle \tau \rangle = \int_0^T u g(u) du , \quad (8.13)$

unabhängig von  $\omega$ . Für das Bsp.  $p(t) = \text{const}$  würde man speziell  $\langle \tau \rangle = T/2$  erhalten, also

$$T + \Delta = 2 \frac{\ln R_{ij}}{\lambda_i - \lambda_j} . \quad (8.14)$$

In der Praxis wählt man für  $p(t)$  eine mit einer Zeitkonstante  $T_R$  exponentiell abnehmende Funktion über die Zeit  $T$  plus einer Spurke bei  $T$ , welche dem "Durchgang" eines Sonnenaus (Dustwelle) durch die prä-solare Wolke entspricht, in welcher der Bruchteil  $S$  der totalen galaktischen Nukleosynthese für einen stabilen Kern beigetragen wird. Daraus liegt die Vorstellung zugrunde, dass beim Durchgang der Dichtewelle die Kondensation des Sonnensystems ausgelöst wird. Mit diesen Annahmen erhält man aus (8.10)  $R_{ij}$  als Funktion von  $T, \Delta (\lambda_i, \lambda_j)$  und den Modell-

parametern  $T_R$ ,  $S$ . Keint man also vier Paare von Chronometern mit ihren (theoretischen) Produktionsverhältnissen  $P_i/P_j$  und ihre Häufigkeitsverhältnisse  $Y_i(T+\Delta)/Y_j(T+\Delta)$  zw Zeit  $T+\Delta$  (aus Meteoritendaten), so kann man  $T$ ,  $\Delta$ ,  $T_R$  und  $S$  bestimmen.

Man sollte dabei allerdings nicht vergessen, dass das angenommene Modell recht primitiv ist.

Elementenhäufigkeiten von Kosmochronometern zu Zeit der Kondensation des Sonnensystems, welche aus Untersuchungen von Meteoriten gewonnen wurden, sind in Tabelle 2 angegeben.

| Kern i<br>Kern j                         | $\frac{Y_i(T+\Delta)}{Y_j(T+\Delta)}$     | Autoren  |
|--|---|--|
| $\frac{^{232}\text{Th}}{^{238}\text{U}}$ | $2.50 \pm 0.2$                            | Symbalisty und Schramm (1981)  |
|  | 2.32                                      | Anders und Ebihara (1982)  |
| $\frac{^{235}\text{U}}{^{238}\text{U}}$  | $0.313 \pm 0.026$                         | Symbalisty und Schramm (1981)<br>Begemann (1980)   |
| $\frac{^{244}\text{Pu}}{^{238}\text{U}}$ | 0.035, 0.015, 0.016.<br>$0.005 \pm 0.001$ | Wasserburg et al. (1969), Drozd et al. (1977)<br>Marti et al. (1977)<br>Hudson et al. (1980) |
| $\frac{^{129}\text{I}}{^{127}\text{I}}$  | $(0.8 \dots 2.3) \times 10^{-4}$          | Jordan et al. (1980)   |

Tabelle II.2. Elementenhäufigkeiten von Kosmochronometern zu Zeit der Kondensation des Sonnensystems (aus Untersuchungen von Meteoriten)

Nun wollen wir uns noch mit dem theoretischen Problem der Berechnung von  $R_i/R_j$  befassen.

Elemente, welche schwerer sind als Eisen, werden durch langsame und schnelle Neutronen-Einfangreaktionen gebildet. [Für das Folgende spielen die sog. p-Prozesse keine Rolle, da diese Neutronenarme keine links von der Stabilitätslinie in Fig. 14 aufbauen.] Die Unterscheidung langsam/schnell röhrt sich nach dem Verhältnis  $\tau_p/\tau_n$  von  $\beta$ -Halbwertszeiten ( $\tau_p$ ) zu denen für Neutroneneinfänge ( $\tau_n$ ).

Da die Atomkerne nicht beliebig Neutronenreiche werden können, wird in jeder Isotopenkette nach nur wenigen Neutroneneinfängen ein Atomkern erreicht, der  $\beta^-$  instabil ist. Beim  $\beta^-$ -Zerfall erhöht sich die Elementenummer um eine Einheit. Ist nun die Neutronenkonzentration in einer astrophysikalischen Umgebung so niedrig, dass der erste instabile Kern einer Isotopenkette zerfällt, bevor das kälteste Neutron eingefangen werden kann, so spricht man vom s-Prozess (slow neutron-capture). In dieser Situation werden durch Neutroneneinfänge mit nachfolgenden  $\beta^-$ -Zerfällen immer schwerere Elemente aufgebaut. In Skalen liegen die passenden  $\beta$ -abtrennungen hauptsächlich während des Helium-Burns vor. Die Neutronen werden dabei vor allem über Reaktionen wie  $^{13}\text{C}(\alpha, n)^{16}\text{O}$  oder  $^{22}\text{Ne}(\alpha, n)^{25}\text{Mg}$  freigesetzt, mit Produkten der Größenordnung  $10^{10} \text{ cm}^{-3}$ .

Auf diese Weise können aber Elemente schwerer als Blei nicht gebildet werden, weil das leichter schwerere Element, Polonium, durch  $\alpha$ -Emission zerfällt. Die Akteure wie Thorium und Uran werden auf diese Weise also nicht erzeugt. Daraus gibt es ausserdem neu hervorgerückte Isotope schwerer Elemente, die in der Nuklidkarte durch einen  $\beta^-$ -instabilen Kern von den anderen stabilen Isotopen desselben Elements getrennt sind; Beispiele sind  $^{122}\text{Sr}$  und  $^{124}\text{Sb}$ . Auch diese Nuklide können im s-Prozess nicht entstehen.

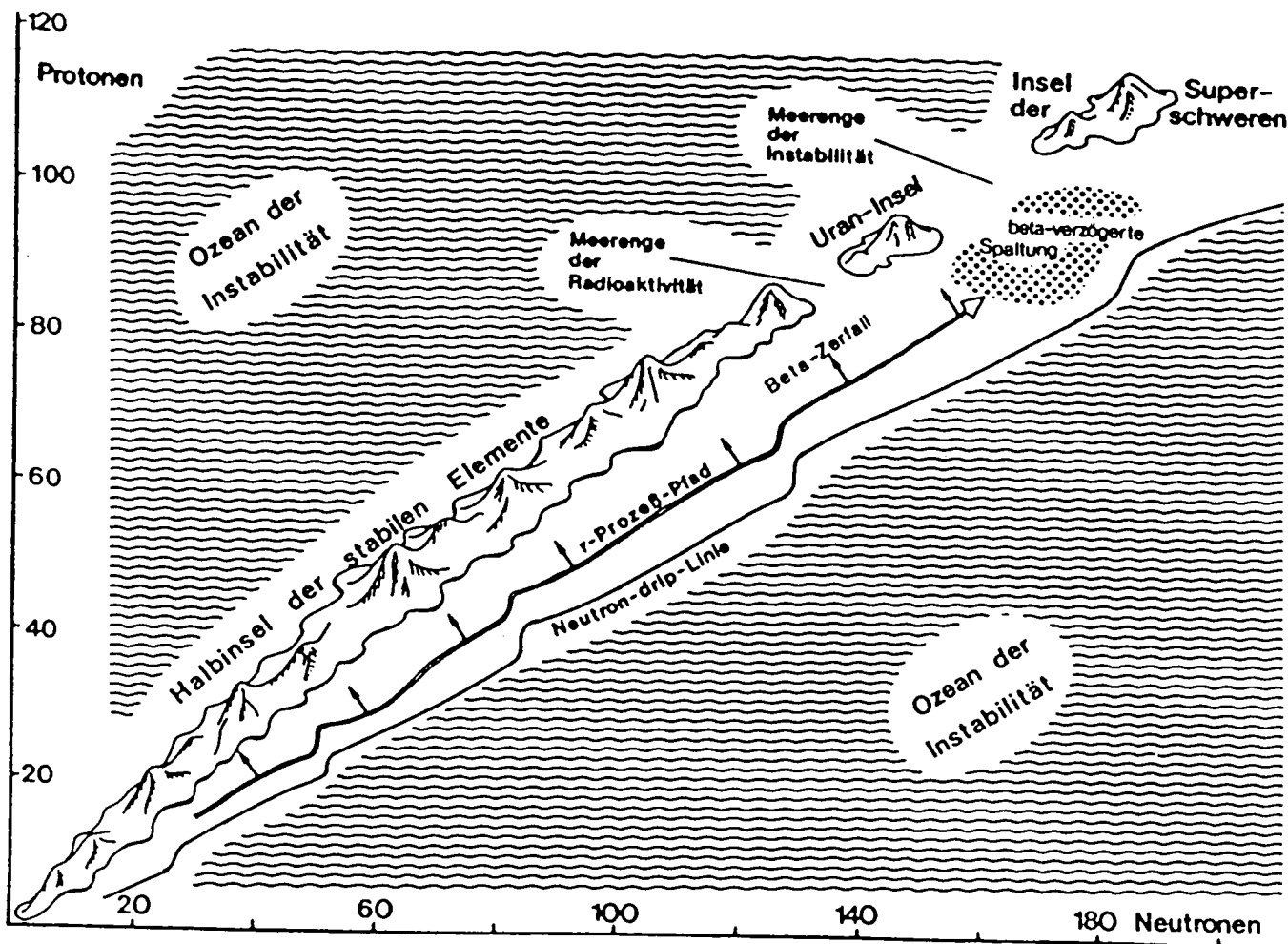


Fig. II.14. Elementausbildung durch raschen Neubaueneinfang — r-Prozess — in schematischer Darstellung

Alle diese Elemente werden durch den  $\tau$ -Prozess gebildet. Dieser läuft dann ab, wenn die Neutronenkonzentration so hoch ist, dass die Zeiten für Neutroneneinfänge sehr viel kürzer sind als die typischen Zeiten der  $\beta$ -Zerfälle. Solche Verhältnisse liegen kurzzeitig bei Supernovaexplosionen (explosives H-Brummen) vor. Dann werden sehr schnell ( $T_h \approx 10^7$  s) Neutronen eingefangen, bis schließlich die Neutronenseparationsenergie der gebildeten Kerne gleich Null wird (Neutronendrip-Linie in Fig. 14). An dieser Stelle werden die Kerne durch  $\beta$ -Zerfälle (auf der Zeitskala  $T_\beta \approx 10^{-2}$  s) in solche übergeführt, die eine größere Neutronenseparationsenergie haben und diese könnten deshalb wieder Neutronen einfangen. In Supernova-Explosionen steht dafür allerdings die Zeit nicht zur Verfügung, da die Neutronenkonzentrationen bereits nach weniger als einer Sekunde zu stark abgefallen sind. Es entsteht so eine sog.  $\tau$ -Elementverteilung, die etwa 20-30 Elementen rechts von der  $\beta$ -Stabilitätslinie verläuft (siehe Fig. 14). Bei Nachlassen des Neutronenflusses zerfällt dann diese  $\tau$ -Verteilung extrem n-teicher Kerne über  $\beta$ -Zerfall zurück zur Stabilitätslinie. Dabei wird auch die Uraninsel noch erreicht. Bei noch schwereren Kernen bricht aber der  $\tau$ -Prozess-Pfad durch  $\beta$ -verzögerte Spaltung ab, was die Bildung superschwerer Kerne verhindert.

Zur Berechnung der Endverteilung des  $\tau$ -Prozess-Kerne benötigt man danach die  $\beta$ -Zerfallseigenschaften

Von diesen (ca. 6000) Neutronenreichen können zwischen  $\beta$ -Stabilitätslinie und Neutron-Drip-Linie, also die  $\beta$ -Halbwertszeiten, die Raten für  $\beta$ -verzögerte Neutronenemission und auch die Raten für  $\beta$ -verzögerte Spaltung.

Die besten derzeit existierenden Bedingungen<sup>4), 5)</sup> für diese Größen haben zu Produktionsraten der Kosmochronometer  $^{235}\text{U}$ ,  $^{238}\text{U}$ ,  $^{244}\text{Pu}$  und  $^{232}\text{Th}$  geführt, welche von früher bestimmten Werten durch Fowler und Hoyle etwas abweichen. Die Ergebnisse sind in Tabelle 3 zusammengefasst.

| $^{232}\text{Th}/^{238}\text{U}$ | $^{235}\text{U}/^{238}\text{U}$ | $^{244}\text{Pu}/^{238}\text{U}$ | Autoren   |
|----------------------------------|---------------------------------|----------------------------------|---|
| 1.65                             | 1.65                            | —                                | Fowler und Hoyle (1960)                             |
| 1.90                             | 1.89                            | 0.96                             | Seeger und Schramm (1970)                           |
| 1.65                             | 1.42                            | 0.90                             | Fowler (1972, 1978)                                 |
| 1.70                             | 0.89                            | 0.53                             | Wene und Johansson (1976)                           |
| 1.50                             | 1.10                            | 0.40                             | Krumlinde et al. (1981)                             |
| $1.9_{-0.4}^{+0.2}$              | $1.5_{-0.6}^{+0.5}$             | $0.9_{-0.2}^{+0.1}$              | „Standard“-Werte nach Symbalisty und Schramm (1981) |
| 1.39                             | 1.24                            | 0.12                             | Thielemann, Metzinger, Klapdor (1983)               |

Tabelle II.3. Produktionsverhältnisse der Kosmochronometer im  $t$ -Prozess nach verschiedenen Autoren<sup>6)</sup>

- 4) H.V. Klapdor, Prog. Part. Nucl. Phys. 10, 131 (1983); Fortschritte der Phys. 33, 1 (1985)
- 5) K. Gok, H.V. Klapdor, Phys. Rev. C 30, 2098 (1984), und (1985)
- 6) F.K. Thielemann et al., Z. Phys. A 309, 301 (1983); Astropart. Astrophys. 123, 162 (1983)

Jetzt können schließlich  $T$  und die übrigen Parameter bestimmt werden. Die Tabelle 4 gibt die Resultate<sup>6)</sup> für die neuen Produktionsraten der Tabelle 3.

| Meteoritische Häufigkeiten (zur Zeit $T+\Delta$ ) |                                  |                                  |                                 |       |       |          |            |
|---|----------------------------------|----------------------------------|---------------------------------|-------|-------|----------|------------|
| Modell  | $^{232}\text{Th}/^{238}\text{U}$ | $^{244}\text{Pu}/^{238}\text{U}$ | $^{129}\text{I}/^{127}\text{I}$ | $T^*$ | $S$   | $T_R^*$  | $\Delta^*$ |
| a)  | 2.50                             | 0.004                            | —                               | 16.16 | 0.062 | $\infty$ | 0.169      |
|   |                                  | 0.005                            | —                               | 16.10 | 0.057 | $\infty$ | 0.162      |
|   |                                  | 0.006                            | 1.00                            | 13.93 | 0.066 | 21.74    | 0.153      |
|   |                                  | 0.007                            | 1.40                            | 12.16 | 0.078 | 8.77     | 0.149      |
|   |                                  | 0.008                            | 1.80                            | 10.77 | 0.090 | 4.80     | 0.146      |
| b)  | 2.32                             | 0.005                            | —                               | 13.22 | 0.062 | $\infty$ | 0.158      |
| c)  | 2.32                             | 0.005                            | —                               | 16.30 | 0.065 | $\infty$ | 0.211      |

\*) in Einheiten von  $10^9$  a,

c) realistischere Behandlung der Kernniveaudichten gegenüber b).

Tabelle II.4.

Parameter des „exponentiellen Modells“ galaktischer Evolution abgeleitet aus den berechneten Produktionsraten der Chronometer  $^{232}\text{Th}/^{238}\text{U}$ ,  $^{235}\text{U}/^{238}\text{U}$ ,  $^{244}\text{Pu}/^{238}\text{U}$ ,  $^{129}\text{I}/^{127}\text{I}$  im r-Prozeß und ihren beobachteten Verhältnissen zur Zeit der Kondensation des Sonnensystems

Thiedemann et al.<sup>6)</sup> geben aufgrund dieser Rechnungen die folgenden Werte für  $T$  und  $\Delta$  an:

$$T = (16.1 \begin{array}{l} +2 \\ -5 \end{array}) \times 10^9 \text{ a} \quad (8.15)$$

$$\Delta \approx 0.16 \times 10^9 \text{ a}. \quad (8.16)$$

Um das Alter der Hildabasse ergibt sich daraus

$$\begin{aligned} T_G &= [16.1 \begin{array}{l} +2 \\ -5 \end{array} + 0.16 + 4.55] \times 10^9 \text{ a} \\ &= (20.8 \begin{array}{l} +2 \\ -5 \end{array}) \times 10^9 \text{ a}. \end{aligned} \quad (8.17)$$

Die angegebenen Unsicherheiten in (8.17) sind wohl zu optimistisch eingeschätzt. Von den kerophysikalischen Seiten abgesehen, erhält man eine untere Grenze für  $T + \Delta$  (und damit für  $T_0$ ) für den Erreignisfall einer einmaligen Nukleosynthese in einem Ergebnis. Dann ist  $T = 0$ ,  $g(t) = \delta(t)$  und Gl. (8.10) gibt

$$T + \Delta = \frac{\ln R_{ij}}{\tau_i - \tau_j}.$$

(Dies ist der halbe Wert von (8.14)!) Mit den aufgeführten Werten für  $^{232}\text{Th}$  und  $^{238}\text{U}$  in den Tabellen 2 und 3 findet man  $T + \Delta \approx 6 \times 10^9 \text{ a}$ . Eine untere Grenze

$$T_0 \gtrsim 10 \times 10^9 \text{ a} \quad (8.18)$$

dürfte also unabhängig vom verwendeten Modell der galaktischen Evolution sein.

Dieses beachtliche Ergebnis ist mit den üblichen Altersbestimmungen vergleichbar.

Zur Vollständigkeit halber, wollen wir auch noch kurz auf die radioaktive Altersbestimmung des Sonnensystems eingehen. Diese beruhen auf der folgenden Datierungsmethode des Zeitpunktes, bei dem eine Probe (von Meteoriten, Mondgestein, Erdumwitterungen) gesammelt wurde.

Ein radioaktiver Kern  $P$  zerfällt exponentiell und bereichert das Material mit einem Tochterkern  $D$ . Zu jedem Zeitpunkt ist die Summe der Häufigkeiten  $P + D$  dieselbe,

$$P(t) + D(t) = P_0 + D_0.$$

Berichtet sich der Index 0 auf die Gegenwart (Zeit  $t_0$  nach der Bildung des Sonnensystems zur Zeit  $t=0$ ), so gilt also wegen  $P_0 = P(t) \exp(\lambda(t-t_0))$ :

$$P_0 [1 - e^{\lambda(t_0-t)}] + D_0 - D = 0.$$

Diese Gleichung dividieren wir durch die Häufigkeit eines stabilen Isotops  $D_s$  von  $D$  und erhalten

$$\left( \frac{D}{D_s} \right)_{\text{jetzt}} - \left( \frac{D}{D_s} \right)_t = \left( \frac{P}{D_s} \right)_{\text{jetzt}} [e^{\lambda(t_0-t)} - 1]. \quad (8.19)$$

Setzt man also  $P/D_s$  und  $D/D_s$  in verschiedenen Proben, oder verschiedenem Einschlüssen derselben Probe, so erhält man nach (8.19) – falls diese gleichzeitig entstanden sind – eine lineare Abhängigkeit, deren Steigung direkt das Alter ( $t_0-t$ ) liefert.

Ein typisches Beispiel ist in Fig. 15 gezeigt. Hier ist  $P = {}^{87}\text{Rb} \xrightarrow{\beta^-} D = {}^{87}\text{Sr}$  ( $\lambda = 1.39 \times 10^{-11} \text{ a}^{-1}$ ) und das stabile Referenzisotop  $D_s$  ist  ${}^{86}\text{Sr}$ . Die gemessenen Punkte für 6 Chondriten liegen tatsächlich auf einer Geraden, was für deren gemeinsamen Ursprung spricht.

Dasselbe Alter erhält man auch für die Daten<sup>2)</sup> des Allende Meteoriten (Fig. 16). Dabei wurden die

2) T. Kirsten, 'The Origin of the Solar System' (S.F. Dermott ed., Wiley & Sons 1978), p. 267

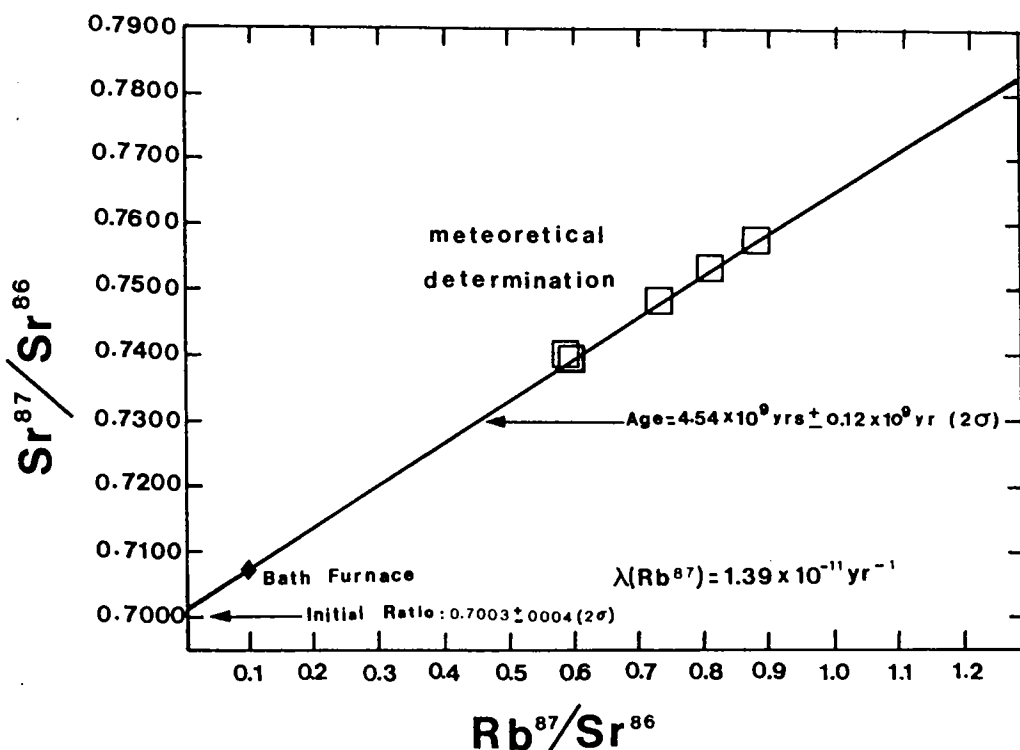
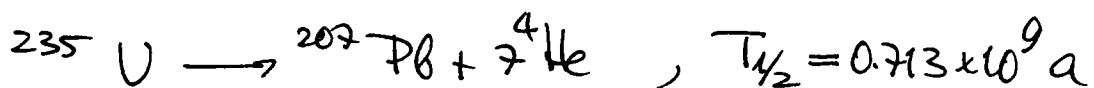


Fig. II.15.  $^{87}\text{Rb}$ - $^{87}\text{Sr}$  Evolutionsdiagramm für sechs meteoritische Meteoriten

radioaktiven Zerfälle



verwendet (wir geben nur die stabilen Endprodukte der Reihen. Das Referenzisotop  $I_S$  ist hier  $^{204}\text{Pb}$ . Wiederum liegen die Daten sehr schön auf einer Geraden und dies ermöglicht eine sehr genaue Altersbestimmung:

$$T = (4.553 \pm 0.004) \times 10^9 \text{ a} .$$

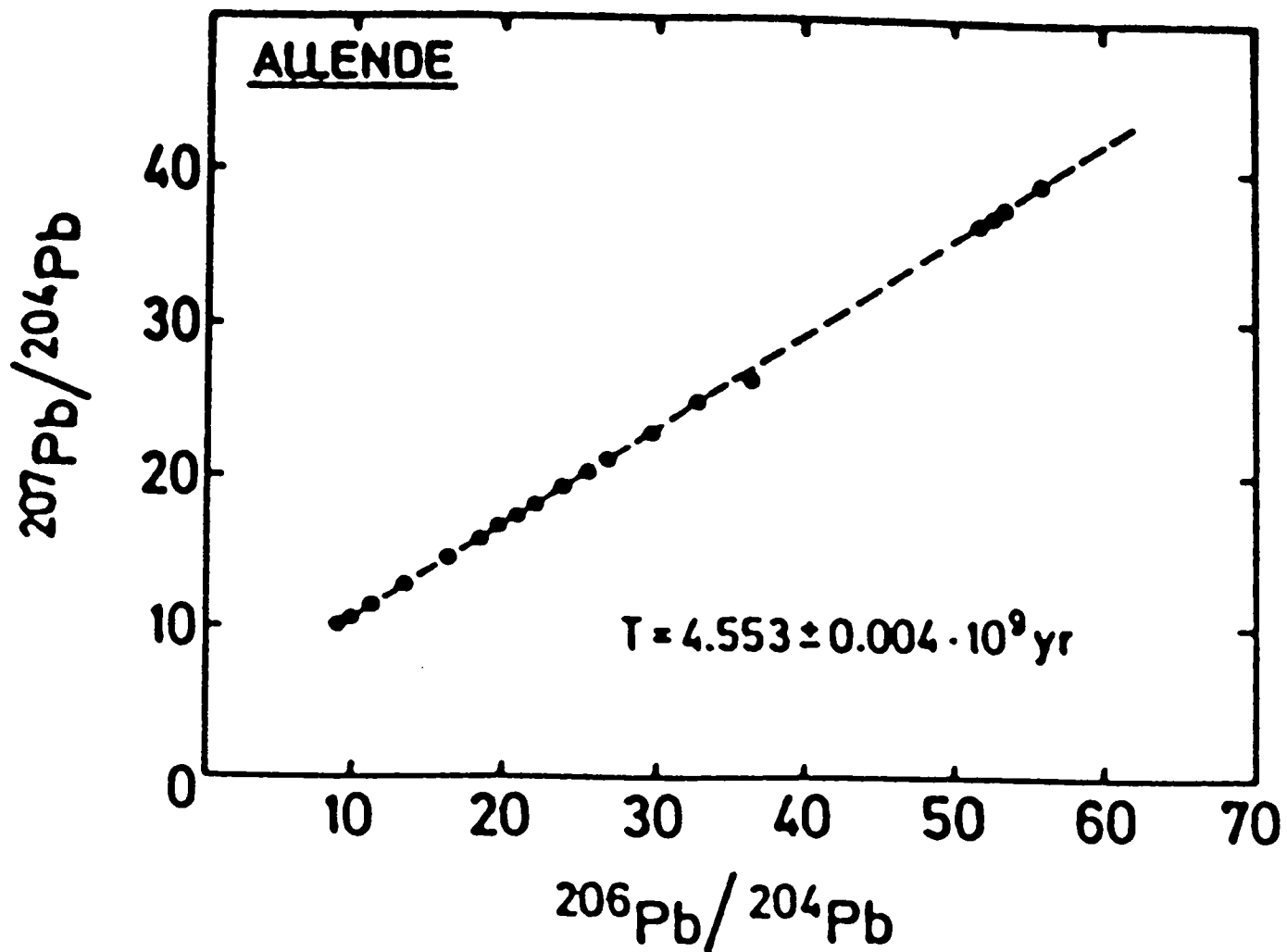


Fig. II.16.  $^{207}\text{Pb}-^{206}\text{Pb}$  - Isotrone aus verschiedenen Einschlüssen des Allende Meteoriten

Für die dritte Altersbestimmung gemäß Fig. 12 müssen wir uns jetzt den Parametern  $\Theta_0$  und  $\Omega_0$  zuwenden.

## 8.2 Der Hubble - Parameter

"Die Weltlinien der Sterne gehören dann zu einem einzigen divergenten 'Bündel' von  $\infty^3$  geodätischen Linien; ihr Abweichen gegen die Zukunft hin legt Zeugnis ab von einer universellen auseinander-schreitenden Tendenz der Materie . . ."

(H. Weyl, 1923 ! )

In der ersten Arbeit Hubbles im Jahre 1929 bezogen die Maximalgeschwindigkeiten der Galaxien um 1200 km/s, was einer Rotverschiebung von  $z \approx 0.004$  entspricht. Für die Bestimmung der Entfernung wurden die Cepheiden und die hellsten Sterne in den Galaxien als Entfernungsmarkatoren benutzt. Für grössere Entfernungen schlug Hubble 1936 vor, ganze Galaxien als Indikatoren zu benutzen. Auch heute noch benutzt man für die grössten Abstände die hellsten Galaxien von reichen Haufen als "Standardkerzen". (Hubble selbst benutzte die jüngste hellste Galaxie.) Der ursprünglich von Hubble bestimmte Wert von  $H_0$  war etwa 5 bis 10 mal zu gross. Eine erste Reduktion um einen Faktor 2 wurde von Baade vorgenommen, als er 1952 die zwei stellaren Populationen entdeckte. Die zweite Revision erfolgte 1958, als Sandage entdeckte, dass das, was man vorher für helle Sterne in entfernten Galaxien gehalten hatte, sehr helle Bereiche von körnigem Gas waren, und diese entfernten Galaxien daher in noch grösseren Entfernungen lagen.

Die Bestimmung der Hubble-Konstante ist gleich-

bedeutend mit der ausschließlich schwierigen Aufgabe, die Entfernung von entfernten extragalaktischen Systemen zu messen. Die heute gebräuchlichen Methoden und Ergebnisse sind auf angenehme Weise im folgenden kürzlich erschienenen Buch dargestellt (unter als [MR] zitiert):

M. R. Robinson, "The Cosmological Distance Ladder", Freeman & Company 1985.

Aus diesem Buch ist auch Fig. 17 entnommen, in welcher die Bereiche der verschiedenen "Sprossen" der "Distanzleiter" angegeben sind. (Eine knappe Darstellung der Entfernungsbestimmungsmethoden findet man auch in [SW, § 14.5].)

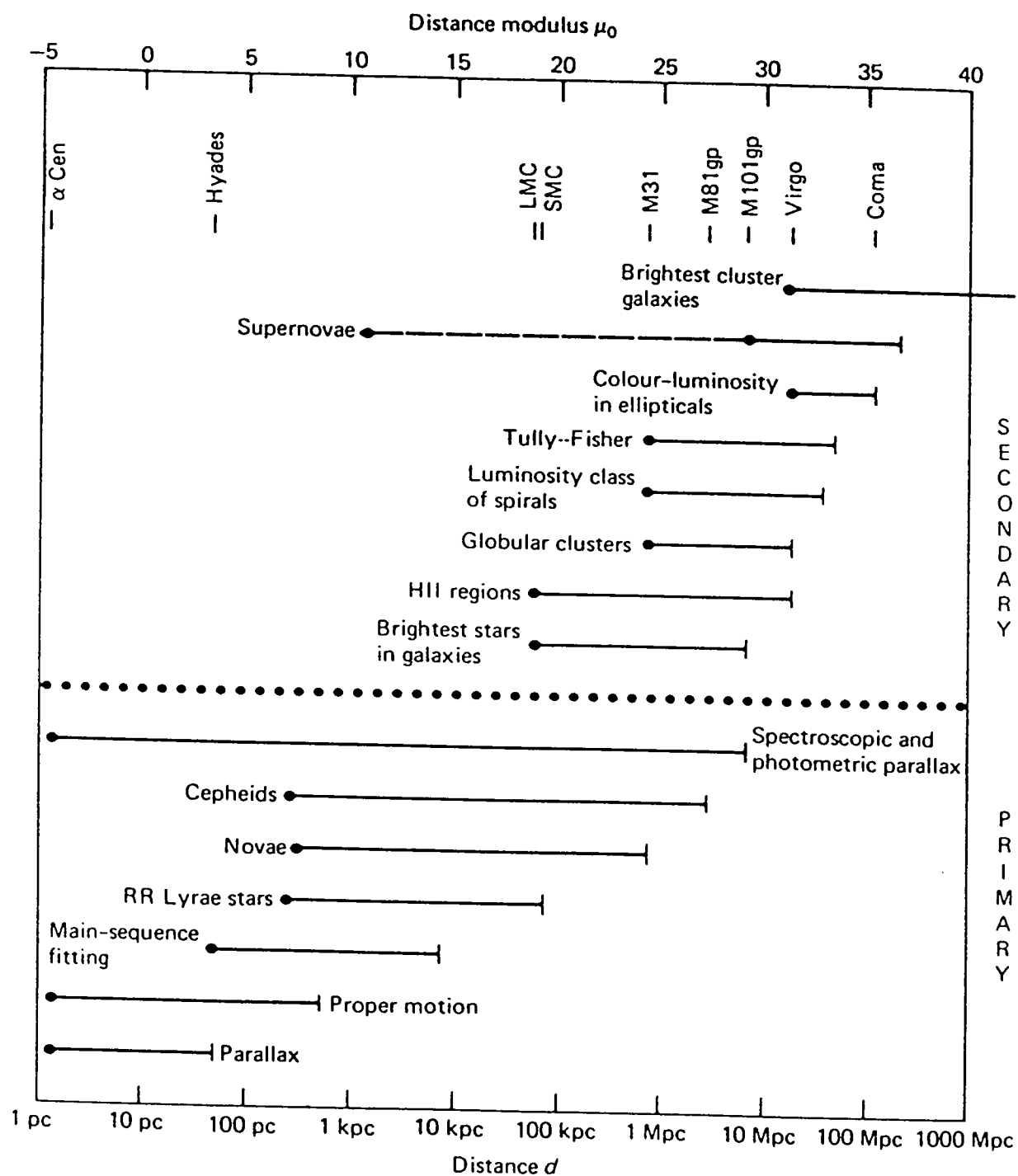
### a) Distanzbestimmungsmethoden

Wir machen zu Fig. 17 lediglich ein paar Bemerkungen, damit auch astronomisch weniger Verstorbene gewisse Vorstellungen der benutzten Methoden und ihrer Unsicherheiten haben.

(i) Für Distanzen bis zu  $\sim 30$  pc funktioniert die direkte (trigonometrische) Messung der Parallaxe, welche erstmals 1838 von Bessel erfolgreich angewandt wurde. Wir bemühen die Gelegenheit, um den Ursprung der Einheit 1pc zu erläutern. Die Parallaxe  $p$  (oft als  $\pi$  bezeichnet) ist der Winkel, unter dem

Fig. II. 17

The cosmological distance ladder, showing the range of distances over which different distance indicators have been applied. The lower half illustrates the indisputably primary methods; the upper half the secondary and tertiary methods. The supernova method has been placed here arbitrarily, since there is still some controversy about its validity as a primary method.



der Erdhalbdurchmesser vom Stern aus erscheinen würde, also gleich dem Winkel unter dem uns die grosse Halbachse der elliptischen Bewegung des Sterns auf der Himmelskugel erscheint. Per Def. entspricht nun 1 parsec der Parallaxe  $p = 1''$ , d.h.

$$1 \text{ pc} = \frac{60 \times 60 \times 360}{2\pi} \text{ abson. Einheiten}$$

$$= 3.086 \times 10^{18} \text{ cm} = 3.26 \text{ Lichtjahre.} \quad (8.20)$$

Einer Parallaxe  $p''$  entspricht also die Entfernung  $1/p''$  parsec. Parallaxenbestimmungen sind bis heute auf  $p \gtrsim 0.04''$  begrenzt. Der Satellit Hipparcos wird es ermöglichen, diese Entfernungsmethode um einen Faktor 3-10 auszudehnen.

(ii) In einem weiteren Schritt bemüht man die Eigenbewegung des Hyaden-Haufens. Die <sup>an der Sphäre</sup> Bewegungsvektoren zeigen alle auf einen Konvergenzpunkt (Fig.18)

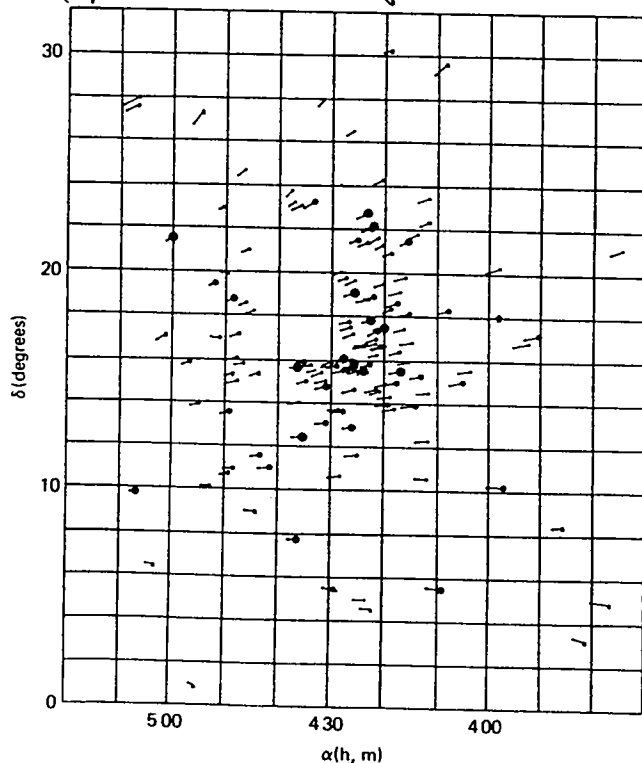


Fig. II.18. Eigenbewegung der Sterne der Hyaden

Zur näheren Erklärung betrachten wir zunächst die Eigenbewegung  $\mu$  eines einzelnen Sterns (gewöhnlich in Bogensekunden pro Jahr angegeben). Diese ist mit der Tangentialkomponente  $V_t$  der Sterngeschwindigkeit folgendermaßen verbunden. Ist  $p$  die Parallaxe des Sterns in Bogensekunden, so ist  $\mu/p$  gleich  $V_t$  in astronomischen Einheiten pro Jahr, also

$$V_t = \frac{\mu}{p} \frac{1.5 \times 10^{13}}{3.16 \times 10^7} \frac{\text{au}}{\text{sec}}$$

$$= 4.74 \frac{\text{km}}{\text{sec}} \cdot \frac{\mu}{p}. \quad (8.21)$$

Die radiale Komponente  $V_r$  kann mit dem Doppler-Effekt bestimmt werden.

Heben nun die Sterne eines Haufens alle gleiche Geschwindigkeitsvektoren radial zur Sonne (die periklastischen Geschwindigkeiten seien klein), dann zeigen diese alle auf der Himmelsphäre auf einen Konvergenzpunkt, genauso wie parallele Linien durch perspektivische Wirkung am Horizont zusammenzukommen scheinen. Die (mittlere) Geschwindigkeit des Haufens sei  $\vec{V}$  (s. Fig. 19). Bezeichnet  $\vartheta$  den Winkel vom Stern zum Konvergenzpunkt, so ist dies offensichtlich auch der Winkel zwischen  $\vec{V}$  und der radialen Richtung zum Stern. Also gilt nach (8.21)  $V_r = V \cos \vartheta$ ,  $V_t = V \sin \vartheta = 4.74 \mu/p$ , d.h.

$$p = \frac{4.74 \mu}{V_r \tan \vartheta}. \quad (8.22)$$

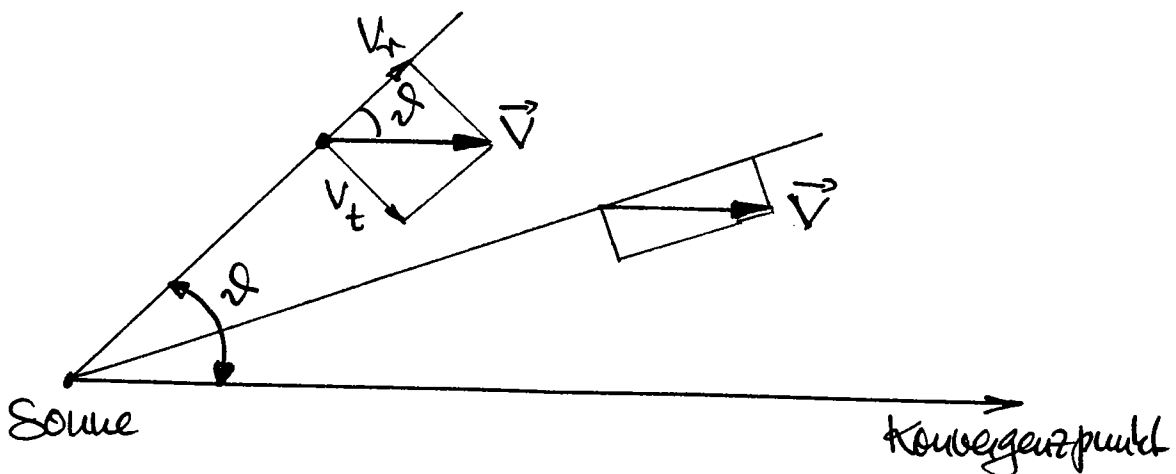


Fig. II. 19. Methode der Stromparallaxen

Diese Methode der Stromparallaxen ist an Reichweite und oft auch an Genauigkeit der Methode der trigonometrischen Parallaxe überlegen. Sie wurde dazu benutzt, um die absoluten Helligkeiten <sup>distante</sup> des Hyaden-Haufens zu bestimmen, welche sich alle noch auf der Hauptreihe befinden.

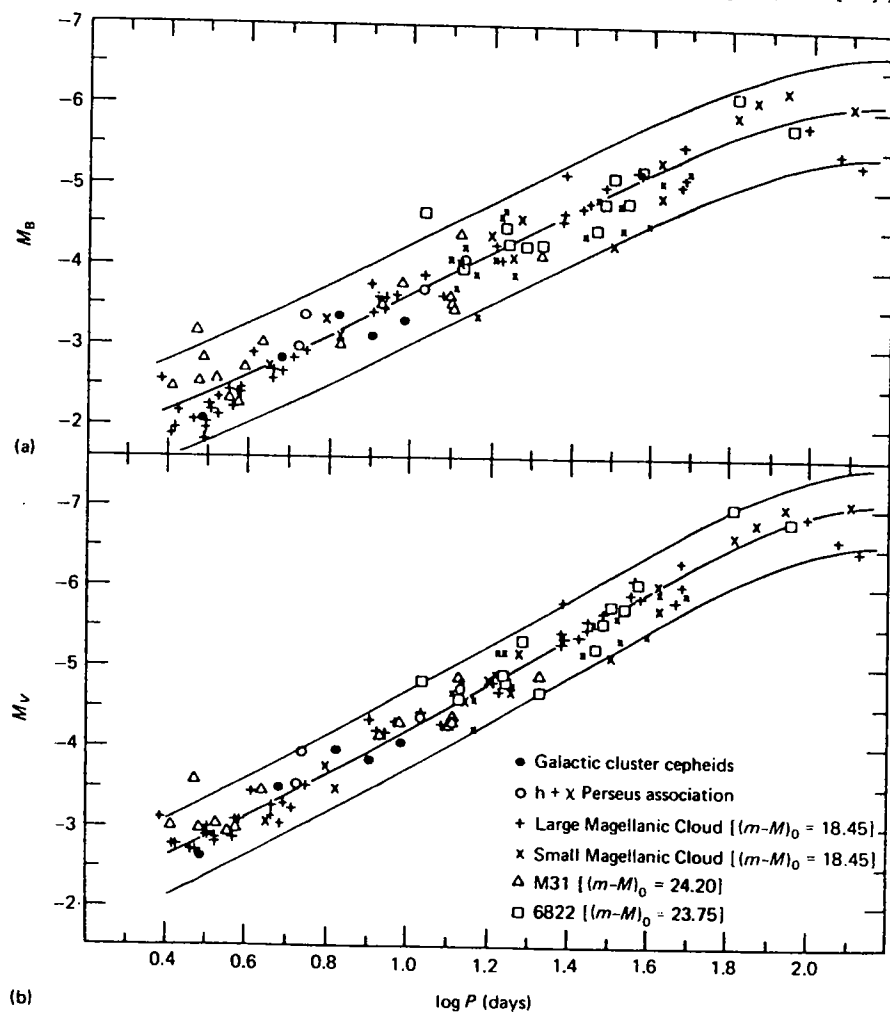
(iii) Der nächste Schritt nach diesen kinematischen Methoden besteht in der Bestimmung des Abstandes zu anderen, weiter entfernten Haufen über den Vergleich scheinbarer Helligkeiten von Hauptreihensternen gleicher Farbe in diesen Sternhaufen mit den Hyaden. (Letztere spielen also in der ganzen Distanzreihe eine wesentliche Rolle.)

(iv) Da nun ist es nun möglich, die Perioden - Leuchtfarbe - Beziehung der pulsierenden Sterne, welche höchstens gut verstanden ist, zu kalibrieren. Diese Relation ist für die (klassischen oder 8-) Cepheiden (Population I) in Fig. 20 gezeigt. (Für weitere Erläuterungen sei auf [HR, §3.1] verwiesen.)

Daneben gibt es auch die Haufenveränderlichen

FIGURE II.20

Period-luminosity relation for Cepheids in the Galaxy, Large and Small Magellanic Clouds, M31, and NGC 6822. (a) Absolute blue magnitude  $M_B$  at mean light, corrected for interstellar extinction, versus  $\log P$ . (b) Absolute visual magnitude  $M_V$  at mean light versus  $\log P$ . (From [S3].)



oder RR Lyræ-Sterne mit Perioden von  $\sim 0.3$  bis  $0.9$  Tagen. Sie gehören zum Halo und Kern der Hildibrassie und sind in Kugelhaufen anzufinden; es sind also Population II Sterne. (Die Unterscheidung der beiden Typen von Veränderlichen war historisch sehr wichtig, wie bereits bemerkt wurde.)

In selben Distanzbereich wie die Veränderlichen werden gelegentlich auch Novae verwendet. Diese stellen aber keine guten Einheitserken dar, da die beobachteten Eigenschaften sehr breit streuen.

(v) Jetzt sind wir in der Lage, die Abstände zu den Galaxien der Lokalen Gruppe, insbesondere von Andromeda,

zu bestimmen. Die Methode der Cepheiden funktioniert aber nur bis zu etwas mehr als einem Mpc. (Die Entfernung von Andromeda ist 0.7 Mpc.)

Die Genauigkeit der bis jetzt besprochenen sog. primären Distanzmethoden wird durch die Tabelle 5 illustriert, in welcher die Ergebnisse von verschiedenen Autoren verglichen sind.

TABLE II.5

Comparison of Local Group distance moduli.

| Authors  | LMC   | SMC   | M31   | N6822 |
|--|-------|-------|-------|-------|
| Adopted $\mu_0$<br>( $\mu_{\text{Hya}} = 3.30$ )*                | 18.70 | 19.12 | 24.25 | 23.77 |
| $d$ , kpc  | 55    | 67    | 710   | 570   |
| Sandage and Tammann (1974) [S7]<br>( $\mu_{\text{Hya}} = 3.03$ ) | 18.59 | 19.27 | 24.16 | 23.95 |
| van den Bergh (1977) [B8]<br>( $\mu_{\text{Hya}} = 3.03$ )       | 18.43 | 18.82 | 24.02 | 23.64 |
| de Vaucouleurs (1978) [V3]<br>( $\mu_{\text{Hya}} = 3.29$ )      | 18.31 | 18.62 | 24.07 | 23.73 |
| Humphreys (1983) [H10]<br>( $\mu_{\text{Hya}} = 3.03$ )          | 18.6  | 19.0  |       | 23.2  |

\* Corrected for line blanketing,  $\Delta\mu_0 = -0.15$ .

Mit Hipparcos und dem Space-Teleskop wird es möglich sein, verbleibende Unsicherheiten wesentlich zu reduzieren.

(vi) Nun kommen wir zu den sekundären Distanzindikatoren, welche auf den Entfernungsbeträumen zu einigen benachbarten Galaxien fassen.

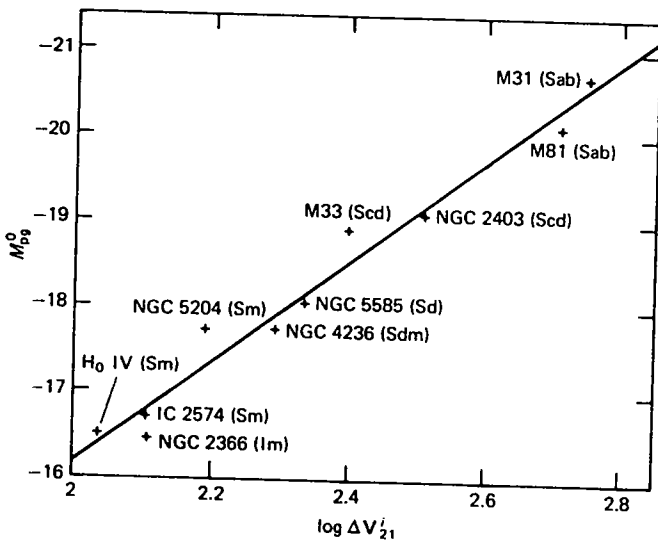
Eine erste Methode benutzt die Kugelsternhaufen, deren absolute Helligkeiten in M31 (Andromeda) bekannt sind. Kugelsternhaufen kann man z.B. auch in M87, der dominanten elliptischen Galaxie des Virgo-Haufens sehen.

Andere Methoden benutzen die höchst sichtbaren Sterne,

die linearen Ausdehnungen der hellsten HII-Regionen (welche offenbar ziemlich konstant sind), sowie Typ I-Supernovae. Für Einzelheiten verweise ich auf [MR, §§ 3.2, 4.1-3].

In den letzten Jahren hat eine neue Methode zunehmend an Bedeutung gewonnen, welche auf B. Tully und R. Fisher zurückgeht. Im Jahre 1977 entdeckten die beiden eine strenge Korrelation zwischen der absoluten Helligkeit einer Spiralgalaxie und der mittleren Rotationsgeschwindigkeit, welche sich in der Breite der 21 cm Linie manifestiert. Ein Beispiel einer Kalibrierung der Tully-Fisher-Methode zeigt Fig. 21 [MR, p. 187].

**FIGURE II.21**  
Revised calibration of optical Tully-Fisher method. Vertical axis is the absolute photographic magnitude of a galaxy  $M_{pg}^0$ , corrected for interstellar and internal extinction; horizontal axis is logarithm of the width of the 21-cm line  $\Delta V_{21}^i$  in kilometers per second, corrected for inclination.



Zu noch etwas grösseren Entfernungen kommt man mit Hilfe der Korrelation zwischen Farbe und Helligkeit von elliptischen Galaxien [MR, § 4.5].

(vii) Schliesslich muss noch die radiale Methode erwähnt werden, welche für die Bestimmung sehr grosser

Distanzen ( $\gtrsim 100 \text{ Mpc}$ ) bemerkbar wird. Diese geht davon aus, dass die hellsten Galaxien von reichen Haufen gute Einheitskerzen sind. Jedenfalls zeigt die Beziehung zwischen scheinbarer Helligkeit und Rotverschiebung eine annähernd wenig Dispersion. (Darauf kommen wir in Abschnitt 8.3 zurück; siehe Fig. 25.)

Auf jeder Seite dieser langen Leiter sind Fehler möglich. Speziell die sekundären Maßnahmen beruhen auf rein empirischen Korrelationen, welche — wie etwa im Falle der HII-Regionen — zu relativ grossen systematischen Fehlern führen. Eine kritische vergleichende Diskussion findet man in [MR, § 4.9]. Wir reproduzieren daraus als Illustration die Tabelle 6, welche verschiedene Be-

TABLE II.6

Comparison of recent estimates of the distance modulus to the Virgo cluster.

| Method                                | $\mu_0$          | Authors   |
|---------------------------------------|------------------|---|
| Resolution difference                 | $31.56 \pm 0.50$ | Sandage and Tammann (1976) [S12]                                  |
|                                       | $31.15 \pm 0.50$ | Mould et al. (1980) [M5]  |
| Luminosity class                      | $31.70 \pm 0.11$ | Sandage and Tammann (1976) [S12]                                  |
|                                       | $30.91 - 31.35$  | Kennicutt (1979) [K2], Mould et al. (1980) [M5]                   |
| Luminosity index                      | $31.25 \pm 0.14$ | De Vaucouleurs (1979) [V6]  |
| HII region size                       | $31.99 \pm 0.30$ | Sandage and Tammann (1976) [S12]                                  |
|                                       | $30.93 - 31.47$  | Kennicutt (1979) [K1], Mould et al. (1980) [M3]                   |
| HII region luminosities               | $31.4 \pm 0.25$  | Kennicutt (1981) [K3]   |
| Globular clusters                     | $31.45 \pm 0.50$ | Sandage and Tammann (1976) [S12]                                  |
|                                       | $31.70 \pm 0.30$ | Hanes (1979) [H3]   |
|                                       | $30.90 \pm 0.30$ | Harris and Racine (1979) [H5]                                     |
| Velocity ratio                        | $31.75 \pm 0.42$ | Sandage and Tammann (1976) [S12]                                  |
|                                       | $31.17 \pm 0.35$ | Mould et al. (1980) [M5]  |
| Color-magnitude diagram               | $30.73 \pm 0.39$ | Visvanathan (1978) [V9]   |
| Color-magnitude- $L_c$ method         | $31.52 \pm 0.16$ | Visvanathan and Giersmith (1979) [V12]                            |
| Supernovae                            |                  |   |
| Type I, compared with M101            | $31.81 \pm 0.85$ | Sandage and Tammann (1976) [S12]                                  |
| Type I, Baade-Wesselink               | $32.91 \pm 0.80$ | Sandage and Tammann (1976) [S12], Branch and Pachett (1973) [B11] |
| Type I, Baade-Wesselink               | $31.73 \pm 0.62$ | Branch (1979) [B10], Mould et al. (1980) [M5]                     |
| Type II                               | $31.35 \pm 0.80$ | Sandage and Tammann (1976) [S12]                                  |
|                                       | $30.53 \pm 0.80$ | Carney (1980) [C1]  |
| Magnitude-surface brightness relation | $31.04 \pm 0.56$ | Holmberg (1969) [H7], Mould et al. (1980) [M5]                    |
| 21-cm infrared method                 | $30.98 \pm 0.09$ | Mould et al. (1980) [M5]  |

Bestimmungen des Entfernungsmoduls zum Virgo-Haufen wiedergibt.

### b) Bestimmungen der Hubble-Konstante

In Anbetracht der vorangegangenen Diskussion (und es ist bei genauerer Betrachtung) ist es kaum erstaunlich, dass verschiedene Gruppen zu unterschiedlichen Werten von  $h_0$  im Bereich  $\frac{1}{2} \leq h_0 \leq 1$  kommen. Eleas ist hier und freilich der Umstand, dass die Protagonisten von  $h_0 = \frac{1}{2}$  und diejenigen von  $h_0 = 1$  nicht überlappende Fehler angeben.

Da der Lokale Superhaufen relativ grosse zentrale Geschwindigkeiten hat (s. Abschnitt 8.4), muss man vermutlich zu Distanzen gehen, welche weiter als etwa 40 Mpc vom Virgo-Haufen entfernt sind. Vor allem dann spielt aber der sog. Malinquist-Effekt eine Rolle, der darauf beruht, dass die beobachteten Samples (Kataloge) helligkeitbegrenzt sind. Dieser Effekt wird dann bedeutsam, wenn eine merkliche Dispersion in der Helligkeitsverteilung vorliegt (siehe [MR, Appendix A 17.4]). Auf seine Wichtigkeit hat vor allem Tammann hingewiesen, während diese von de Vaucouleurs heftig bestritten wurde. Einige der Gründe für die unterschiedlichen Werte von  $H_0$  der zwei Hauptgruppen sind in Tabelle 7 aufgeführt.

**TABLE II-2**

*Some of the causes of the difference between Sandage and Tammann's "long" ( $H_0 \sim 50$ ) and de Vaucouleurs's "short" ( $H_0 \sim 100$ ) distance scales.*

| Method or factor            | Sandage and Tammann  |   | de Vaucouleurs  |
|-----------------------------|--|---|---|
|                             | 1970–1974  | 1982                                      | 1976–1979   |
| Interstellar extinction law | Low values   |   | High values   |
| Internal extinction         | Neglected in some applications (bright stars, N2403 cepheids)        |   | Included  |
| Cepheids                    | Use period–luminosity–color relation                                 |   | Uses period–luminosity relation   |
| RR Lyrae, novae             | Used to justify $\mu_{H\alpha} = 3.03$                               |   | Given equal weight to Cepheids  |
| Local Group distances       | Based entirely on Cepheids   |   | Based on several methods, including secondary methods (i.e., circular)              |
| Brightest red stars         | Not used   | Sole secondary indicator                  | Used  |
| Brightest blue stars        | Application to M101 involves extrapolation                           | Not used                                  | Used  |
| HII region diameters        | Systematic error present; application to M101 involves extrapolation | Not used                                  | Sandage–Tammann error corrected   |
| HII rings                   | Not used   | Not used                                  | Almost all galaxies in which indicator has been studied are involved in calibration |
| HII velocity dispersion     | Not used   | Not used                                  | Extrapolation in application to M101  |
| Brightest globular clusters | Used to confirm scale  |   | Used  |
| Tully–Fisher method         | Used to confirm scale  | Not used                                  | Used as linearity test  |
| Supernovae                  | Used to confirm scale  | Type I supernovae sole tertiary indicator | Used as linearity test  |
| Luminosity class or index   | Sole tertiary indicator  | Not used                                  | Main tertiary indicator (with isophotal diameters)                                  |

Verschiedene Bestimmungen von  $H_0$  zeigen die folgenden Figuren 22–24 aus [MR, § 6.1], für deren nähere Diskussion wir auf die Quelle verweisen.

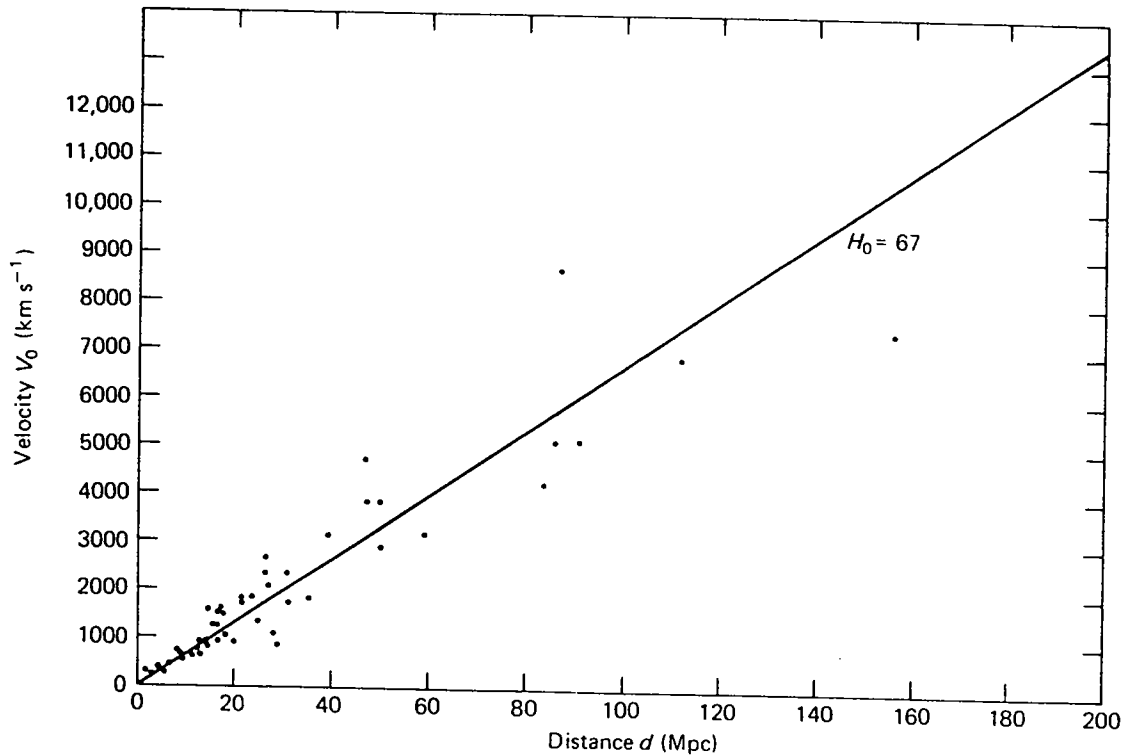


FIGURE II.22

Velocity–distance relation for groups and clusters of galaxies. Velocities corrected for galactic rotation. Data are taken from Table 4.15. Straight line corresponds to  $H_0 = 67$  [Eq. (6.3)].

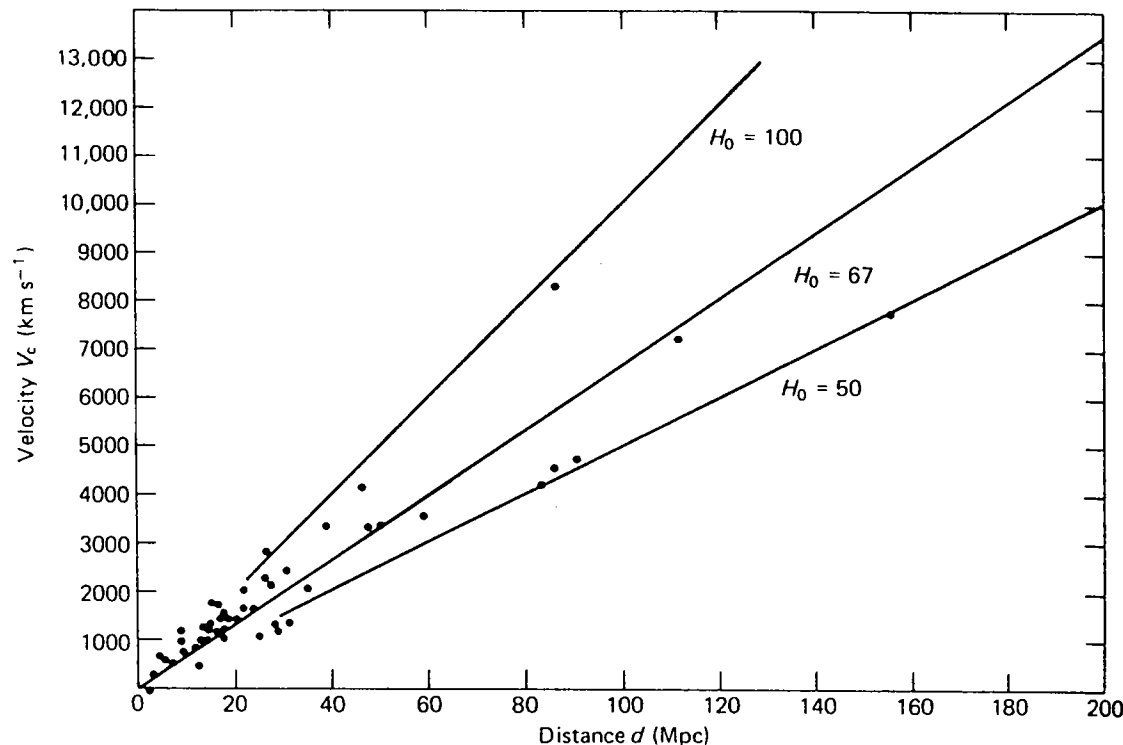
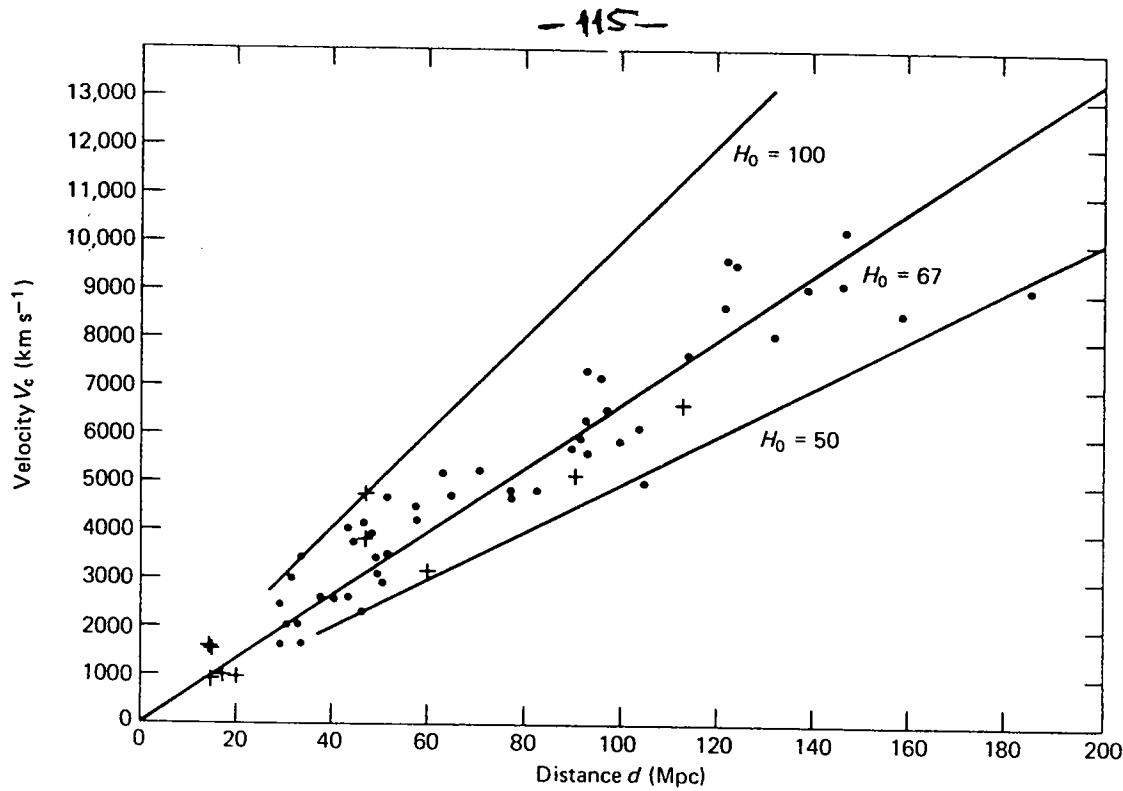


FIGURE II.23

As Fig. 6.1, but velocities corrected also for our Galaxy's absolute motion in space (taken to be  $546 \text{ km s}^{-1}$  toward  $l = 261^\circ, b = 39^\circ$ ; Table 5.3). Straight lines correspond to  $H_0 = 67$  [Eq. (6.3)],



**FIGURE II.24**

Velocity-distance relation for brightest cluster galaxies. Velocities corrected for galactic rotation and for the Galaxy's absolute motion in space.

Es ist anzusehen, dass H. Robertson als "verdienter  
Schildwächter" auf den Kompromisswert

$$H_0 = 67 \pm 15 \text{ km s}^{-1} \text{ Mpc}^{-1} \quad (8.23)$$

kommt. Einige der von ihm aufgeführten Unsicherheitsquellen findet man in der Tabelle 8.

**TABLE II.8**

Factors contributing to uncertainty in  $H_0$ .

| Possible systematic errors in primary indicators (mag)                   | Impact on Local Group distance moduli (mag) |
|--|---|
| Distance to Hyades   | 0.08  |
| Main-sequence correction due to Hyades abundance                         | 0.12  |
| Interstellar extinction  | 0.12  |
| Internal obscuration   | $\geq 0.12$                                 |
| Abundance effects in Cepheids $\sim 0.08 \Delta Y/Y$                     | $\leq 0.01$                                 |
| $\sim -0.06 \Delta Z/Z$  | $\pm 0.06$                                  |
| (+ similar effects for RR Lyrae stars)                                   |   |
| Net uncertainty in mean Local Group distances                            | 0.2 mag.                                    |
| Net uncertainty in M81 group distance modulus                            | 0.3 mag.                                    |
| Net uncertainty in Virgo group distance modulus                          | 0.4 mag.                                    |
| Net uncertainty in distant groups and clusters                           | 0.5 mag.                                    |
| Uncertainty in $H_0$ due to uncertainty in absolute motion of our Galaxy | $\leq 5\%$                                  |
| <b>Net uncertainty in <math>H_0</math></b>                               | $\pm 23\%$                                  |

Wir führen uns ausser Stande, selber zu heftig geführten Kontroversen Stellung zu beziehen. Es ist zu hoffen, dass mit neuen zukünftigen Möglichkeiten (Space Teleskop, etc.) der Wert von  $H_0$  möglichst genau bestimmt werden kann.

### 8.3 Helligkeit - Rotverschiebung - Beziehung und Bremsparameter

---

"Thus the exploration of space ends on a note of uncertainty. And necessarily so. We are, by definition, in the very center of the observable region. We know our immediate neighborhood rather intimately. With increasing distance, our knowledge fades, and fades rapidly. Eventually, we reach the dim boundary — the utmost limits of our telescopes. There, we measure shadows, and we search among ghostly errors of measurement for landmarks that are scarcely more substantial".

E. Hubble (1936)

Lange bestand die Hoffnung, dass es durch einen Vergleich der Beobachtungen mit den theoretischen Erwartungen (3.9) (Fig. 4) und (3.5) (Fig. 3) zwischen scheinbarer Helligkeit und Rotverschiebung, bzw. Winklausdehnung und Rotverschiebung, möglich sein sollte, den Bremsparameter  $q_0$  zu bestimmen. Diese Hoffnungen wurden leider nicht erfüllt.

Vor allem Sandage hat sich lange Zeit darum bemüht, die Beobachtungen der  $M-z$ -Abhängigkeit bis zu sehr

entfernten Galaxien auszudehnen, um die Abweichungen von der Linearität (Fig. 4) zu bestimmen. In Fig. 25 zeigen wir ein Resultat dieser Ausdehnungen.<sup>8)</sup> Daraus sind die  $m_v - z$ -Daten für die hellsten E-Galaxien von 85 Haufen wiedergegeben. Für die scheinbaren Helligkeiten wurden neben der K-Korrelation (siehe p. 60) noch weitere Korrelatoren angebracht. Die ausgetragenen Kurven geben die theoretische Beziehung (z.g.) für verschiedene Werte von  $q_0$ .

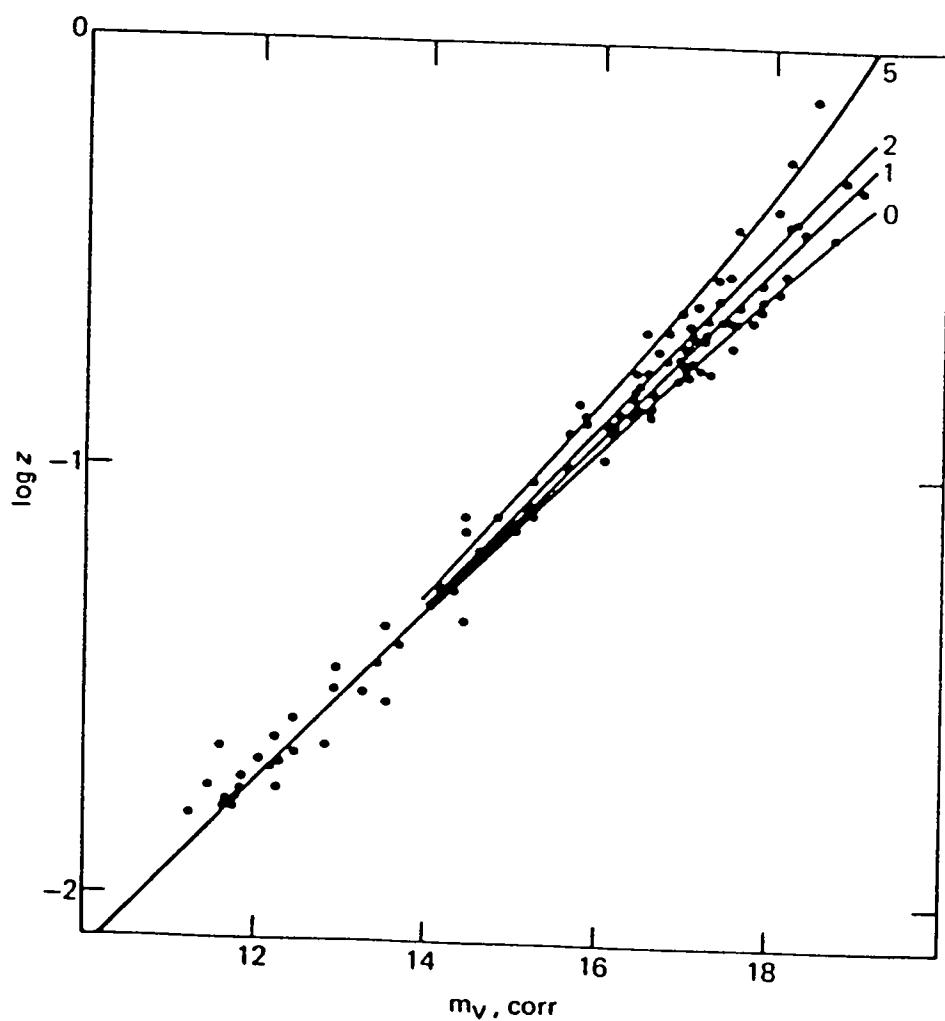


Fig. II.25. Beziehung zwischen scheinbarer (korrigierter) visueller Helligkeit und Rotverschiebung, verglichen mit den theoretischen Kurven für verschiedene Werte von  $q_0$  ( $1=0$ ).

8) J. Kristian, A. Sandage und J. Westphal,  
Ap. J. 221, 383 (1978)

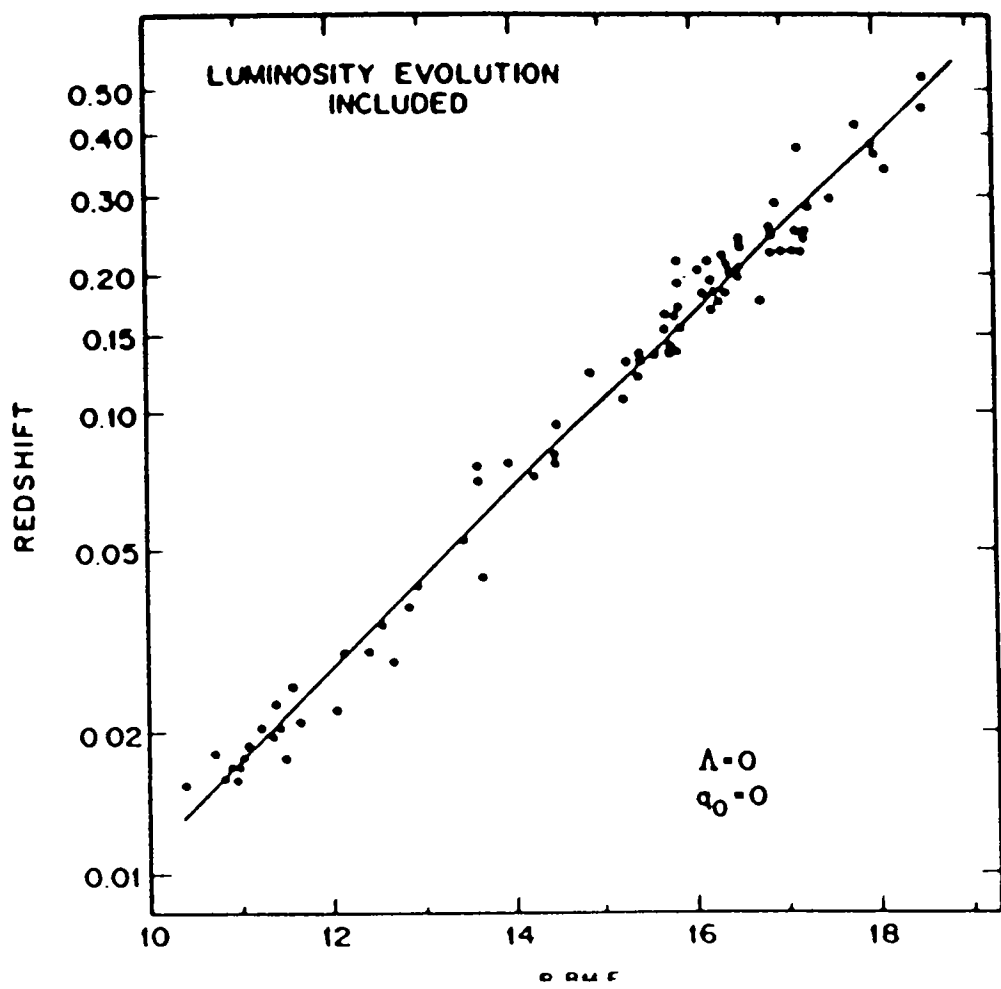
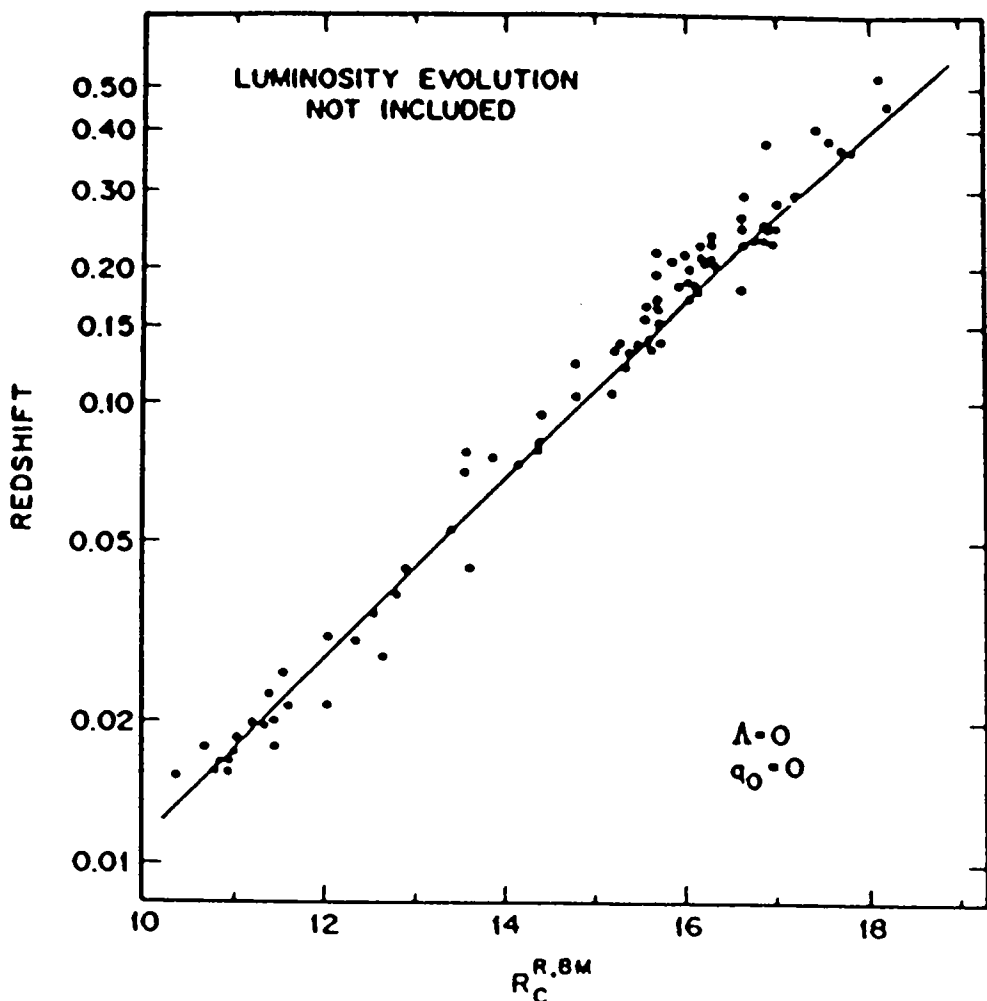
Aus der Abbildung ist ersichtlich, dass die Beobachtungsdaten nicht gestalten, zu bestimmen, ob  $q_0$  grösser oder kleiner als  $1/2$  ist. Dies verhindert ausserdem eine prinzipielle Schwierigkeit. Das Licht, das von den weit entfernten Galaxien empfangen wird wurde zu einer Zeit ausgesandt, als sich diese im Vergleich zu den nahen Galaxien noch in einem frühen Entstehungsstadium befanden. Man hat versucht, den Einfluss der Entstehung der Galaxien auf die Helligkeit und das Spektrum zu berücksichtigen.<sup>9)</sup> Wir wissen aber über die Evolution der Galaxien, insbesondere auch in Haufen,<sup>10)</sup> viel zu wenig, um auf diesem Wege ein zuverlässiges  $q_0$  zu bestimmen. Ein Beispiel einer evolutiven Korrektur ist aus den Figuren 26 und 27 ersichtlich, welche von Sandage aus [K4] stammen.

Grundsätzlich ist es möglich, direkte Informationen über die Entstehung der Sternpopulationen in Galaxien zu gewinnen, z.B. durch Bestimmung der Farbe als Funktion der Rotverschiebung für gleiche Typen von Galaxien. Bisherige Untersuchungen haben jedoch nicht zu eindeutigen Ergebnissen geführt. Mit dem Space Teleskop wird es vielleicht möglich sein, Galaxien im Frühstadium genauer zu studieren.

---

9) B.Tinsley, Astrophys. J. 173, L93 (1972)

10) Eine wichtige Rolle dürfte dabei der "galaktische Koenig - Ligenus" spielen.



Neben der  $m-z$ -Betrachtung wurde auch die Abhängigkeit (3.5) des Winkelwinkelmessers eines Objektes von der Rotoeinschiebung mit Beobachtungsdaten verglichen. Ein Beispiel ist in Fig. 28 gezeigt, in welchem Winkelmesser von Galaxienhaufen verwendet wurden<sup>11)</sup>. Es ist aber fraglich,

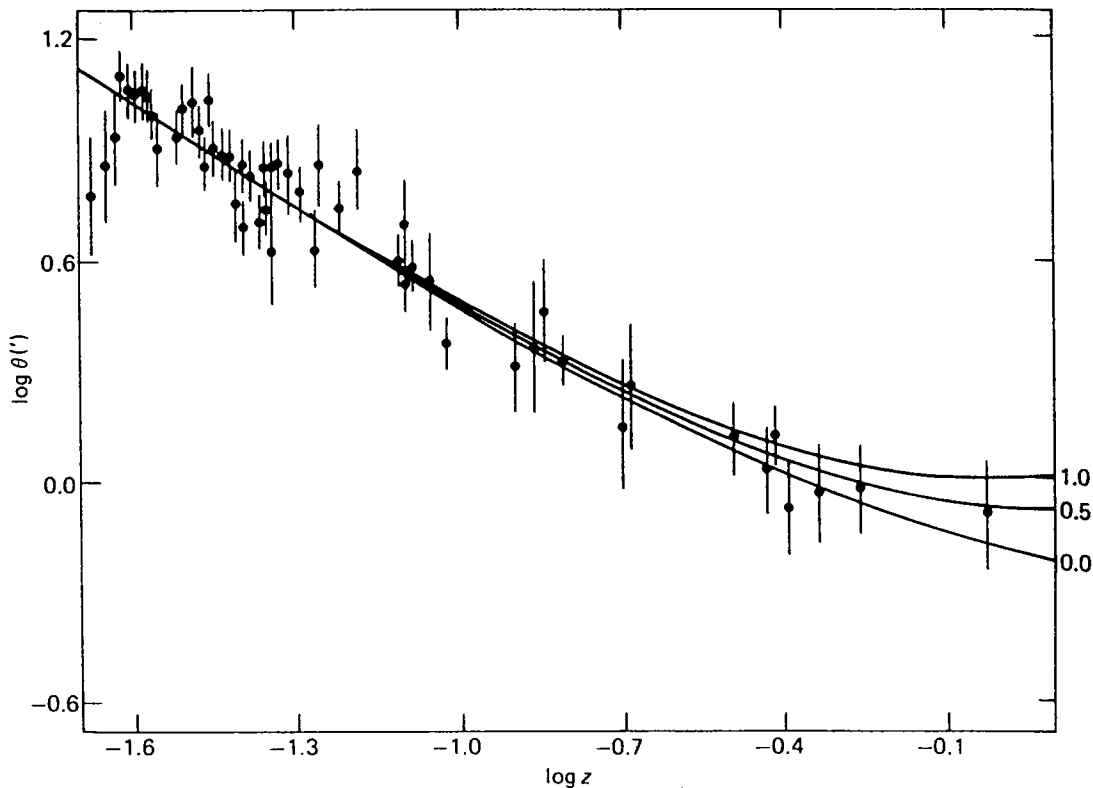


FIGURE II.28

Angular-diameter-redshift diagram,  $\log \theta$  versus  $\log z$ , for clusters of galaxies.  $\theta$  is in minutes of arc. Theoretical curves are labeled with the deceleration parameter,  $q_0$ , assuming  $\Lambda = 0$ .

ob diese gute Einheitsmaßstäbe abgeben. Jedenfalls zeigen Untersuchungen an Clustern keine divergierenden Längen. Die Korrelationsfunktion folgt im Gegenteil einem Potenzgesetz (s. [P2]). Die verwendeten Samples aus dem Abell-Katalog sind überdies mit starken Selektionseffekten belastet.

<sup>11)</sup> G. Bruzal und H. Sprintad, Astophys. J. 220, 1 (1978)

Wir müssen diesen Abschnitt mit der negativen Teststellung beenden, dass die klassische  $m-z$ -Methode, ebenso wie die Zählung von Galaxien und Radioquellen, wichtige Information für  $q_0$  liefert hat. Daraus drohte sich in der nahen Zukunft kaum etwas anderes, da evolutive Effekte grundsätzliche Unschärten verursachen. Wir können lediglich auf die folgenden beschränkten Schwächen schließen:

$$-1 < q_0 < 2. \quad (8.24)$$

Für ein materiedominantes Universum bedeutet dies  $\Omega_0 < 4$ .

#### 8.4 Bestimmungen des Druckparameters $\Omega_0$

Versuche, den Druckparameter  $\Omega_0$  zu bestimmen, waren bis jetzt erfolglos. Diese werden bereits in §1 diskutiert. Nun wollen wir das Thema vertiefen.

##### a) Störung des Hubble-Flusses durch Virgo

Unsere Galaxis befindet sich in einer kleinen Gruppe von Galaxien (Lokale Gruppe), welche durch den Andromeda-Nebel und die Földgesesse dominiert wird. Nahe Begleiter unserer Galaxis sind z.B. die Magellanschen Wolken, LMC und SMC.

Die Lokale Gruppe ist Teil eines übergeordneten Systems, des Localen Superhaufens<sup>[2]</sup>, in dessen Zentrum sich der Virgo-Haufen von Galaxien befindet,

Wodurch von uns etwa  $10 h^{-1}$  Mpc entfernt ist. Die Lage der Hildasonne im Lokalen Superhaufen ist in Fig. 29 angedeutet. Letzterer ist aber gravitativ nicht gebunden!

Der reiche Virgo-Haufen trennt das Auseinanderfliegen der Galaxien im Lokalen Superhaufen und stört damit den Hubble-Fluss. Diese Störung am Ort der Lokalen Gruppe ermöglicht es, die kosmische Druck auf Skalen  $\sim 10$  Mpc abzuschätzen. Wir beschreiben in folgenden, wie das bereits angegebene Resultat (1.13) zustande kommt.

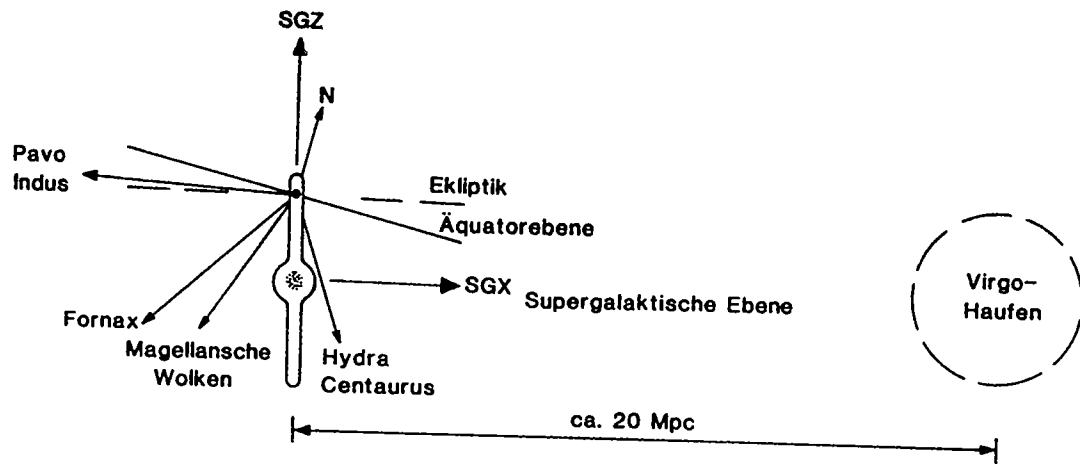


Fig. II.29. Die Lage unseres Milchstraßensystems im Lokalen Superhaufen. Seine Größe ist stark übertrieben. Die Position der Sonne in ihm und einige wichtige Richtungen sind angedeutet.

Da unsere Virgo-zentrische periholare Geschwindigkeit  $v_V$  im Verhältnis zur Hubble-Geschwindigkeit  $v_H$  (relativ zum Virgo-Haufen) klein ist, gibt die lineare Newtonsche Störungstheorie eine nützliche Näherung für das Verhalten des Geschwindigkeitsfeldes in der Nähe unserer Position. (Auf nichtlineare Korrekturen kommen wir zurück.) Die

- 12) Für eine gute Beschreibung des lokalen Superhaufens und seiner Umgebung siehe:

J. Hattue, Sterne und Weltraum 24, 194 (1985)

allgemeine linearisierte Newtonsche Störungstheorie wird in [P2, Kap. II] durchgeführt und soll werden diese in Kap. V entsprechen. An dieser Stelle zitiere ich das Resultat und gebe ausdrückend eine vereinfachte Herleitung für sphärisch symmetrische Störungen.

Das pekuliäre Gravitationsfeld (in mitbewegten Koordinaten) ist

$$g(\underline{x}) = G a_0 \int [g(\underline{x}') - g_s] \frac{\underline{x}' - \underline{x}}{|\underline{x}' - \underline{x}|^3} d\underline{x}', \quad (8.25)$$

worin  $g(\underline{x})$  die lokale Dichte und  $g_s$  die mittlere Dichte bestimmt. Das pekuliäre Geschwindigkeitsfeld ist dann [P2, (14.8)]:

$$\boxed{v(\underline{x}) = \frac{2 f(\Omega_0)}{3 H_0 \Omega_0} g(\underline{x})}. \quad (8.26)$$

Die Funktion  $f(\Omega_0)$  wird weiter unten definiert [siehe Gl. (8.43)]. Für eine sphärische Massenverteilung mit Massenexzess  $\delta M$  im Abstande  $R$  ist

$$g(R) = G \frac{\delta M}{R^2} = \frac{1}{2} H_0^2 \frac{\delta M}{M} R \Omega_0 \quad (8.27)$$

und damit

$$v = \frac{1}{3} H_0 R f(\Omega_0) \frac{\delta M}{M}. \quad (8.28)$$

Führen wir in (8.28) die Hubble-Geschwindigkeit  $v_H = H_0 R$  ein, so kommt schließlich

$$\boxed{v_v = \frac{1}{3} v_H f(\Omega_0) \frac{\delta M}{M}}. \quad (8.29)$$

## Herleitung von (8.29)

Bevor wir diese Formel anwenden, geben wir eine vereinfachte Herleitung. Dazu betrachten sphärisch symmetrische Störungen des Hubble-Flusses um ein Zentrum (Virgo). Daraus ergibt sich eine Massenschale heraus, welche die Gesamtmasse  $M$  einschließt. Der Radius  $r(t)$  dieser Schale erfüllt dann die Gleichung

$$\ddot{r} = -\frac{GM}{r^2}, \quad (8.30)$$

oder die Energiegleichung

$$\dot{r}^2 = \frac{2GM}{r^2} + C \quad (8.31)$$

als 1. Integral. Wir wählen die Gesamtenergie positiv, d.h.  $C > 0$ .

Der Abstand einer bestimmten Galaxie vom Zentrum des Superklasters für den ungestörten Hubble-Fluss sei

$$r_0(x, t) = a(t) x, \quad (8.32)$$

wobei  $x$  eine unbewegte Koordinate ist. Wir korrigieren  $a(t)$  so, dass

$$\frac{4\pi}{3} a^3 \rho_0 = M. \quad (8.33)$$

Dann erfüllen  $a(t)$  und  $r(t)$  Friedmann-Gleichungen für Staub, welche sich nur durch die Konstante  $R$  unterscheiden;

$$\dot{a}^2 = \frac{8\pi G}{3} \rho_0 a^2 + \frac{1}{R^2} \quad (8.34)$$

$a(t)R$  erfüllt (1.1) mit  $k=-1$  und

hat damit die Parameterdarstellung (2.5).

Ist  $x(t)$  so bestimmt, dass

$$\gamma_f(t, x(t)) = a(t) x(t) = r(t), \quad (8.35)$$

so ist die relative Geschwindigkeit  $v$  der Schale zur Zeit  $t$

$$\begin{aligned} v(t) &= \dot{r}(t) - \frac{\partial \gamma_f}{\partial t}(t, x(t)) = \dot{r} - \dot{a} x(t) \\ &= \dot{r} - v_H, \end{aligned} \quad (8.36)$$

wobei  $v_H(t) = \dot{a}(t) x(t)$  die Hubble-Geschwindigkeit am Ort der Schale ist.

Wir nehmen nun an, dass sich  $r(t)$  und  $a(t)$  nur wenig unterscheiden. In

$$r(t) =: a(t)(1 - \varepsilon(t)) \quad (8.37)$$

ist dann  $\varepsilon(t)$  eine kleine Größe. Der Vergleich mit (8.35) gibt  $x(t) = 1 - \varepsilon(t)$ , weshalb in 1. Ordnung in  $\varepsilon$

$$v = \dot{a}(1-\varepsilon) - a \dot{\varepsilon} - \dot{a}(1-\varepsilon) = -a \dot{\varepsilon} = -\frac{a}{\dot{a}} v_H \dot{\varepsilon},$$

d.h.

$$v = \frac{1}{H} v_H \dot{\varepsilon}. \quad (8.38)$$

Der relative Massenexzess innerhalb der Schale ist nach (8.33) und (8.37)

$$\frac{\delta M}{M} = \frac{M}{\frac{4\pi}{3} R_B^3 [a(1-\varepsilon)]^3} - 1 = 3\varepsilon.$$

Deshalb gilt auch

$$v = \frac{1}{3H} v_H + \frac{\dot{\epsilon}}{\epsilon} \frac{\delta M}{M}. \quad (8.39)$$

Nun erfüllen  $a(t)$  und  $v(t)$  beide die Gleichung (8.30), oder mit (8.33)

$$\ddot{a} = -\frac{4\pi G}{3} \rho_B a. \quad (8.40)$$

Davon folgt für  $\epsilon$

$$\ddot{\epsilon} + 2\frac{\dot{a}}{a}\epsilon = 4\pi G \rho_B \epsilon. \quad (8.41)$$

Diese wichtige Gl. werden wir in der Störungstheorie für Dichtefluktuationen in Kap. V wieder aufstellen. Die Art, wie diese hier erhalten wurde zeigt ungetestet, wie man Lösungen von (8.41) findet: Hat man eine 1-parametrische Schar  $a(t, \alpha)$  von Lösungen der Friedmann-Gleichung, so ist  $\delta \alpha \bar{a}' (\partial a / \partial \alpha)$  eine Lösung von (8.41). Die anwachsenden und zerfallenden Lösungen von (8.41) werden wir mit dieser Methode in Kap. V explizit bestimmen (siehe auch [P2, p.52]).

Für uns ist hier nur die anwachsende Lösung  $\mathcal{D}_1$  interessant,

$$\frac{\dot{\epsilon}}{\epsilon} = \frac{\dot{\mathcal{D}}_1}{\mathcal{D}_1} = \frac{a}{\mathcal{D}_1} \frac{d\mathcal{D}_1}{da} \frac{\dot{a}}{a} = f(\Omega) H, \quad (8.42)$$

wobei

$$f(\Omega) = \frac{a}{\mathcal{D}_1} \frac{d\mathcal{D}_1}{da} \quad (8.43)$$

die Funktion ist, die bereits in Gl. (8.26) vorkam.

Setzen wir (8.42) in (8.39) ein, so erhalten wir tatsächlich die Gl. (8.29)

\* \* \*

Die Funktion  $f(\Omega)$  ist in Fig. 30 dargestellt.

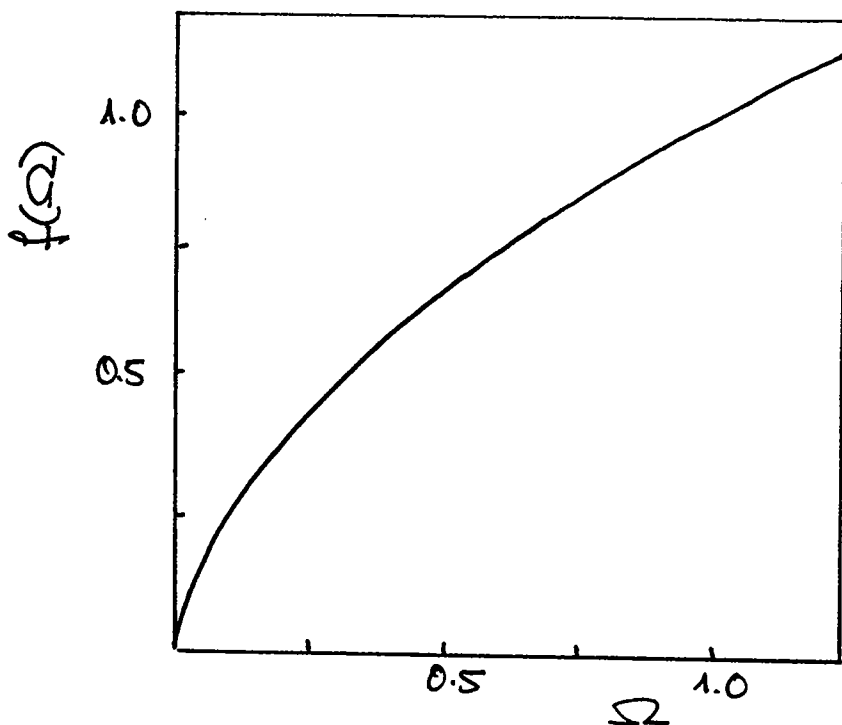


Fig. II.30. Graph der Funktion (8.43)

Die Beziehung (8.28) für  $v_v/v_{\text{H}}$  versus  $\Omega_0$ , für verschiedene Werte des relativen Massenexcesses  $M/M_b - 1$ , ist in Fig. 31 gezeigt (gestrichelte Linie). Man kann die obige

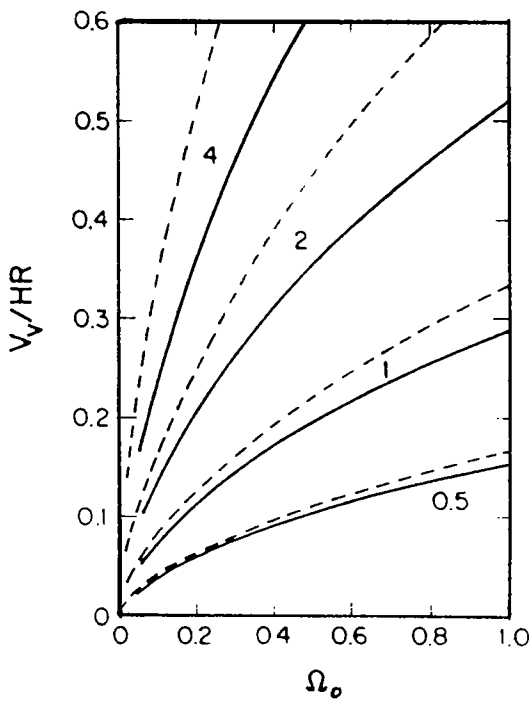


Figure II.31. Peculiar velocity in the zero-pressure spheroidal model. The parameter is the fractional mass excess  $M/M_b - 1$ . The dashed curves are the linear approximations (Equation 8), and the solid curves are the full nonlinear model.

(H. Davis, P.J.E. Peebles, Ann. Rev. Astron. Astrophys. 21, 109 (1983))

Analyse einer Linearisierung durchführen (siehe dazu auch [P2, §19]). Die ausgetragenen Kurven in Fig. 31 zeigen die korrigierte Beziehung (Anfangsbedingungen?).

Wir machen nun die Annahme, dass die hellen Galaxien auf grossen Skalen ( $\sim 10^{10}$  Mpc) etwa gleich verteilt sind wie die gesamte Hasse, sodass

$$\frac{\delta M}{M} \approx \frac{\delta N}{N} = \delta. \quad (8.44)$$

Dann erhalten wir aus (8.29), wenn wir noch die analytische Näherung  $f(\Omega_0) \approx \Omega_0^{0.6}$  benutzen,

$$\boxed{\Omega_0^{0.6} \approx \frac{3v_V}{v_H \delta}}. \quad (8.45)$$

Sandage und Tammann [K4] verwenden die Werte<sup>(13)</sup>

$$v_V = (200 \pm 50) \text{ km/s}, v_H = 1170 \text{ km/s}, \delta = 2.8 \pm 0.5,$$

was  $\Omega_0 \approx 0.06$  ergibt. Andere Autoren kommen zu Werten von  $v_V$  bis fast 500 km/s, was zu einem wesentlich grösseren  $\Omega_0$  führen würde. Davis und Peebles<sup>(14)</sup> bevorzugen  $v_V = (400 \pm 60) \text{ km/s}, \delta = 2.2 \pm 0.3$ . In linearisierter Approximation gilt dies  $\Omega_0 \approx 0.2$  und für das multidimensionale sphärische Modell  $\Omega_0 \approx 0.35 \pm 0.15$ . Nun ist freilich die Störung des Hubble-Flusses nicht iso-top, was weitere Unsicherheiten nach sich zieht.

(13) G.A. Tammann, A. Sandage, Ap.J. 294, 81 (1985)

(14) Für einen Überblick siehe: M. Davis, P.J.E. Peebles, Ann. Rev. Astron. Ap. 21, 109 (1983)

Potentiell ist aber die Methode interessant und wird vielleicht in Zukunft (mit genaueren Bestimmungen des gestörten Hubble-Flusses als Funktion der wirklichen Abstände) zu einer zuverlässigen Bestimmung von  $\Omega_0$  auf Skalen  $\sim 10 h_0^{-1} \text{Mpc}$  führen.

### b) Masse-Laufkraft-Verhältnisse von Galaxien

Wir eilen nur zumindest an das kritische M/L-Verhältnis (siehe §2):

$$\left(\frac{M}{L}\right)_c = \frac{\rho_c}{L} \simeq 1500 h_0 \left(\frac{M_\odot}{L_\odot}\right). \quad (8.46)$$

Für den numerischen Wert wurde

$$L = 1.8 \times 10^8 h_0 L_\odot \text{Mpc}^{-3} \quad (8.47)$$

gewählt. Diese Zahl hat eine Unsicherheit von mindestens 20% (möglicherweise von 100%?).

In folgenden gehen wir etwas genauer auf die Bestimmung der M/L-Verhältnisse für die Objekte in Fig. 1 ein.<sup>(15)</sup> Ausdrückend wird sich die Frage stellen, wie die verschiedenen Verhältnisse zur Bestimmung von  $\Omega_0$  zu gewichten sind.

#### (i) M/L-Verhältnisse für Einzgalaxien

Lange glaubte man, dass die Balgengeschwindigkeiten in der rotierenden Scheibe einer Spiralgalaxie außerhalb

---

(15) Überblick: S. Taber, J. Gallagher, Ann. Rev. Astron. Astrophys. 17, 135 (1979)

des leuchtendsten Gebietes auf einer Kepplerkurve ( $\propto 1/\sqrt{r}$ )<sup>1</sup> verlaufen sollten. Als es nun vor einigen Jahren technisch möglich wurde, auch für die Lichtstrahlen äusseren Bereiche von Galaxien mit Langspalt-Spektrographen und leistungsfähigen elektronischen Bildverstärkern hochaufgelöste optische Spektren aufzunehmen, stellte man überraschend fest, dass die Rotationskurven auch bei grossen Abständen vom Zentrum der Galaxie praktisch konstant bleiben. Beispiele dafür gibt Fig. 32. Die Kasse nimmt also auf.

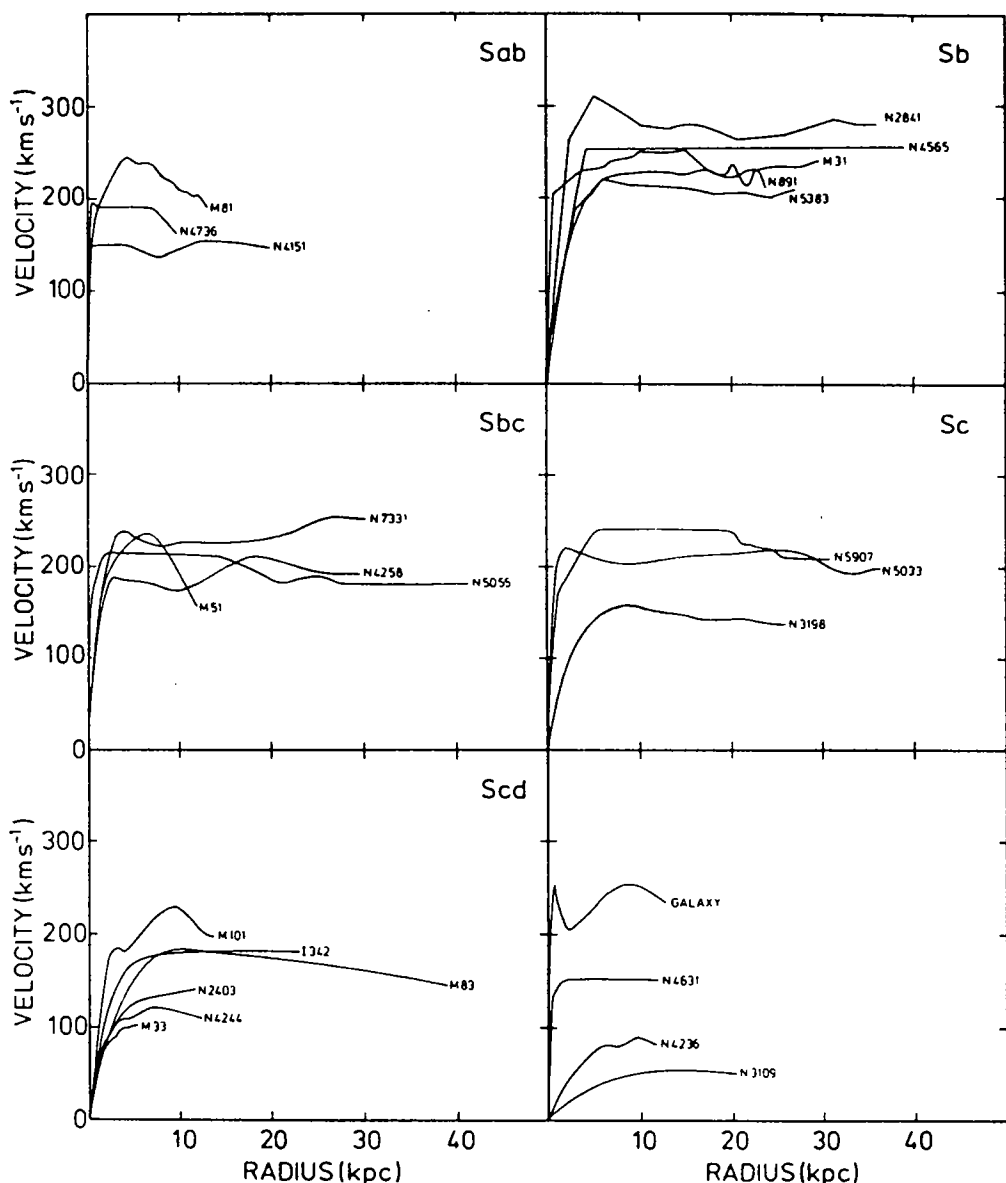


Fig. II.32. Rotationskurven von 25 Galaxien verschiedener morphologischer Typen

ausserhalb des sichtbaren Raumes zu. Es gibt demnach sehr viel dunkle Materie im Außenbereich einer Galaxis, die vermutlich in einem Halo angeordnet ist, welcher den sichtbaren Teil einfüllt und die Scheibe stabilisiert.<sup>16)</sup>

Für unsere Galaxis wurde es mit verschiedenen Methoden möglich, die Geschwindigkeiten bis zu Abständen von 80 kpc zu bestimmen (siehe Fig. 33). Ein Abfall von

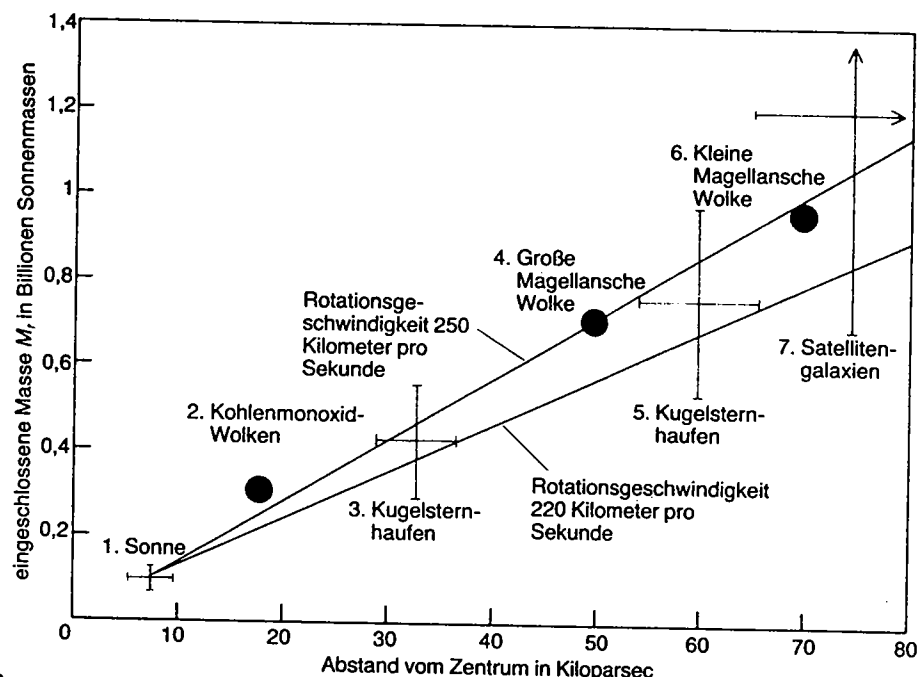


Fig. II.33.

Die Massenzunahme in der Milchstraße, die ja auch zu den Spiralgalaxien gehört, lässt sich aus den Bewegungen von Kugelsternhaufen im „Halo“ unserer Galaxis, von Kohlenmonoxid-Wolken und den Magellanschen Wolken abschätzen, deren mittlere Entfernung bekannt sind. Nach den bisherigen Beobachtungsergebnissen sollten die Rotationsgeschwindigkeiten in unserer Galaxis zwischen 220 und 250 Kilometer pro Sekunde betragen und bis in Abstände um 80 Kiloparsec konstant bleiben. Innerhalb dieses Radius vom zehnfachen Sonnenabstand ist vermutlich eine Masse von etwa  $10^{12}$  Sonnenmassen eingeschlossen. Für die Sonne wurde eine Geschwindigkeit von 220 Kilometer pro Sekunde zugrundegelegt. Die übrigen Meßpunkte ergeben sich aus den Beobachtungen mehrerer Astronomen: Leo Blitz von der University of Maryland in College

Park bestimmte die Geschwindigkeiten der Kohlenmonoxid-Wolken für mittlere Abstände von 18 Kiloparsec; Carlos Frenk (damals Universität von Cambridge) und Simon White (Universität von Kalifornien in Berkeley) ermittelten die Geschwindigkeiten für nahe Kugelsternhaufen; die Geschwindigkeiten der fernen Kugelsternhaufen untersuchten F. O. A. Hartwick (Universität von Victoria) und Wallace L. W. Sargent (California Institute of Technology). Die Geschwindigkeitsangaben für die Magellanschen Wolken stammen von D. N. C. Lin (Lick-Observatorium), Donald Lynden-Bell (Universität von Cambridge), Tadayuki Murai und Mitsuaki Fujimoto (beide Nagoya-Universität). Den (letzten) Meßpunkt für die Satelliten-Galaxien steuerten Jaan Einasto und seine Mitarbeiter (Akademie der Wissenschaften der Sowjetrepublik Estland) bei.

16) Siehe dazu: J. P. Ostriker, P. J. E. Peebles, Ap.J. 186, 467 (1973)

festgestellt, wonit dieser Bereich etwa  $10^{12} M_{\odot}$  enthalten will. Dies ist etwa zehn mal mehr als man früher meinte.

Innerhalb des sog. Holmberg-Radien findet man  $M/L_B \sim (8-12) h_0$  ( $L_B$  bezieht sich auf den blauen Spektralbereich).

Für SO-Galaxien<sup>17)</sup> findet man etwa das Doppelte. Ähnliche Werte erhält man auch für E-Galaxien<sup>17)</sup>, aber hier sind die Daten noch zu ungenügend.

### (ii) $M/L$ für Doppel-Galaxien

Aus Beobachtungen an Einzgalaxien kann man nicht wissen, wie das  $M/L$ -Verhältnis mit wachsendem Abstand zunimmt. Dazu muss man Aggregationen von Galaxien studieren.

Galaxien treten häufig paarweise auf. Letzter lassen sich solche Systeme nur schwer im Detail untersuchen, weil im allgemeinen weder die Orientierung der Bahnebene, noch die momentane Position der relativen Bahn bekannt ist. Deshalb muss man auf statistische Methoden zurückgreifen.

In der Praxis kann man nur die radalen Geschwindigkeiten  $v_r$  und den projizierten Winkelabstand  $a_0$  der Galaxien bestimmen. Die Geometrie der Doppelgalaxie ist in Fig. 34 gezeigt. Wir wählen Kreisbahnen in der  $yz$ -Ebene

17) Für die morphologische Klassifikation der Galaxien nach Hubble konsultiere ein Abdaomniibuch (oder Lexikon).

und der wirkliche Abstand sei  $a$ . Für den in Fig. 34 an-

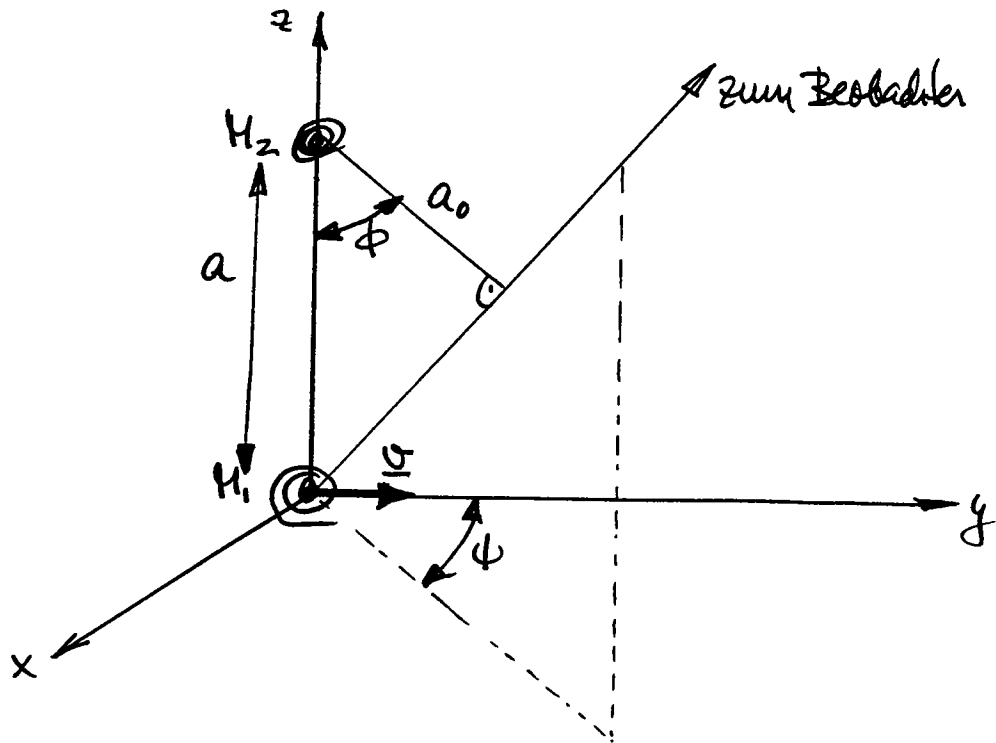


Fig. II.34. Geometrie einer Doppelgalaxie

gegebenen Beziehungen ist der projizierte Abstand  $a_0 = a \cos \phi$  und der Unterschied  $\Delta v$  der Geschwindigkeiten in Beobachtungsrichtung der beiden Galaxien ist  $\Delta v = v \cos \phi \cos \psi$ , wo  $v$  die wirkliche relative Geschwindigkeit ist. Für Kreisbahnen von zwei Massen  $M_1$  und  $M_2$  gilt

$$\frac{M_1 M_2}{M_1 + M_2} \frac{v^2}{a} = \frac{GM_1 M_2}{a^2}.$$

Eliminieren wir  $a$  und  $v$  zugunsten von  $a_0$  und  $\Delta v$ , so erhalten wir für die Gesamtmasse

$$M_1 + M_2 = \frac{(\Delta v)^2}{G} a_0 (\cos^3 \phi \cos^2 \psi)^{-1}. \quad (8.48)$$

Abgesehen vom Winkelanteil, ist die rechte Seite direkt.

beobachtbar. Durch Mittelung über ein genügend grosses Sample kann man versuchen, daraus die Massen zu gewinnen. Es setzt man  $\cos^3\phi \cos^2\psi$  durch dessen Mittel über  $S^2$ ,

$$\int_{S^2} \cos^3\phi \cos^2\psi \frac{d\Omega}{4\pi} = \frac{3\pi}{32} = 0.295,$$

so erhält man

$$\langle M_x + M_z \rangle = 0.29 \frac{(4\pi)^2 a_0}{G}. \quad (8.49)$$

Dieses Vorgehen ist aber unrealistisch, da Brückengalaxien auf Grund von  $a_0$  ausgewählt und analysiert werden; kann ist aber  $\phi$  nicht mehr gleichverteilt.

Für eine Diskussion anderer Mittelungsverfahren und die Analyse der Daten verweisen wir auf Ref.<sup>15)</sup> und dort zitierte Arbeiten. Als Resultat findet man

$$(M/L)_{\text{Paare}} = (80-100) h_0. \quad (8.50)$$

Das zeigt für Spiralen, dass außerhalb des Holzberg-Radius noch viel dunkle Materie vorhanden ist.

### (iii) $M/L$ für kleine Gruppen von Galaxien

Hier ist die Analyse (mit Hilfe des Virialsatzes) sehr unsicher, insbesondere auch deshalb, weil die Zugehörigkeit zu einer Gruppe und auch die Definition einer Gruppe schwierig zu entdeciden ist. Die besten Schätzungen liegen im selben Bereich wie (8.50).

### (iv) $M/L$ für reelle Haufen

In einer klassischen Arbeit hat Zwicky<sup>18)</sup> schon 1937

— 135 —

den Virialsatz auf den Companien angewandt und ein Verhältnis  $M/L_B \approx 500$  gefunden, welches er mit  $M/L_B \approx 3$  für die Umgebung der Sonne verglich. Darauf hat er erstmals auf das Problem der unsichtbaren Masse aufmerksam gemacht.

### Virialsatz

Für ein System von Massenpunkten, welche ausschließlich gravitativen Wechselwirkungen unterworfen sind, folgt aus den Newtonschen Gleichungen bekanntlich der Virialsatz

$$\frac{1}{2} \ddot{\mathbf{I}} = 2T + \Omega, \quad (8.51)$$

wo  $\mathbf{I}$  das Trägheitsmoment,  $T$  die kinetische Energie und  $\Omega$  die potentielle Energie sind. Perde Kluster sind wahrscheinlich in einem stationären Zustand<sup>18)</sup>, weshalb

$$2T + \Omega = 0. \quad (8.52)$$

Wir setzen

$$T = \frac{1}{2} \sum M_i \dot{x}_i^2 = \frac{1}{2} \langle V^2 \rangle M, \quad (8.53)$$

wobei  $M$  die gesamte Masse des Klusters ist. Beachte, dass in (8.53)  $\langle V^2 \rangle$  das massengemittelte Geschwindigkeitsquadrat ist. Dieses lässt sich aus den Beobachtungen nicht direkt bestimmen. Wir können nur die Geschwindigkeitskomponenten in der Beobachtungsrichtung messen und der Rückungskoeffizient für die zugehörige Dispersion  $\sigma^2$  ist ein unerreichbares Problem. Häufig wird dabei mit den beobachteten Luminositäten geworben. Eine Massenmittlung

---

18) F. Zwicky, Ap.J. 86, 217 (1937)

mit eingeschlossenen Massen aus  $H/L$ -Verhältnissen ist sehr unsicher, da diese — wie wir gesehen haben — für E- und S0-Galaxien sehr unsicher sind.

Oft sieht man  $\langle V^2 \rangle \approx 30^2$ , aber dies kann durchaus um einen Faktor 2 zu gross sein.

Den effektiven Virialradius,  $R_{VT}$ , definieren wir durch

$$\Omega = -\frac{GM^2}{R_{VT}}. \quad (8.54)$$

Aus den drei letzten Gleichungen folgt

$$M = \frac{\langle V^2 \rangle R_{VT}}{G}. \quad (8.55)$$

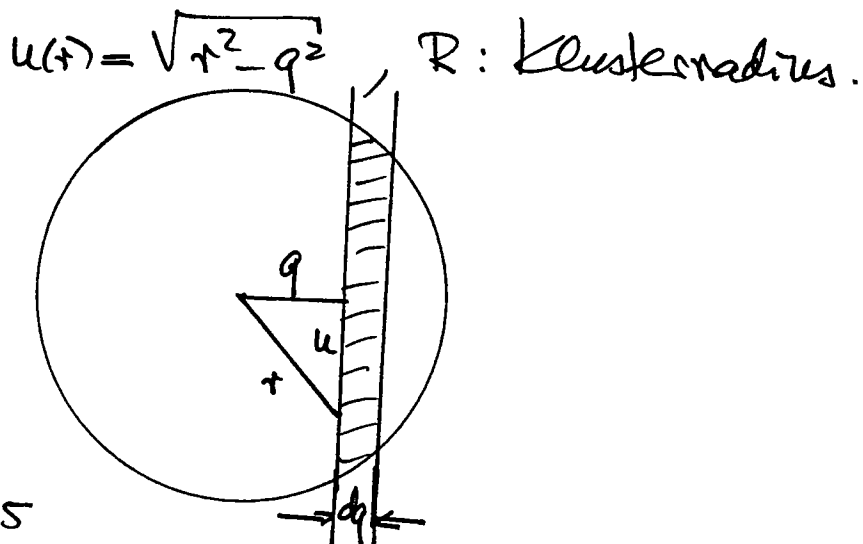
Der effektive Radius kann folgendermassen bestimmt werden:<sup>20)</sup> Es sei  $S(q,d)$  die Zahl der Galaxien eines Klusters, welche im Bereich mit Minimalabstand  $q$  und Breite  $d$  vom Zentrum (schwaffiertes Gebiet in Fig. 35) beobachtet werden. Falls der Haufen spherisch symmetrisch ist, hängt diese projizierte Anzahl mit der wirklichen Ausahldichte  $n(r)$  von Galaxien folgendermassen zusammen:

19) Aus (8.51) folgt i.a. nur, dass sowohl der zeitliche Mittelwert wie auch das Phasenmittel über die (komplexe) Energiefäche von  $zT + \Omega$  verschwindet. Beweise dies; zeige auch  $\frac{1}{2} \dot{I} = \sum x_j \cdot \dot{f}_j = \text{Virtal}$ , und dass das Virtal die Erzeugende der Dilatationen im Phasenraum ist.

20) H. Schwarzschild, Ap. J. 59, 273 (1954)

$$S(q) = 2\pi \int_0^{u(R)} n(r) u dr ,$$

mit



Durch Änderung der Integrationsvariablen ist dies auch

$$S(q) = 2\pi \int_q^R u(r) r dr , \quad (8.56)$$

woraus sich

$$\frac{dS(q)}{dq} = -2\pi n(q) q \quad (8.57)$$

ergibt. Die Klastermasse ist

$$M = 2\pi M_G \int_0^R S(q) dq , \quad (8.58)$$

wenn  $M_G$  die mittlere Galaxienmasse bedeutet.

Nun ist die potentielle Energie

$$\Omega = -G \int_0^M \frac{M(r) dM(r)}{r^2} , \quad M(r) = \text{Masse innerhalb von } r ,$$

oder, wegen  $dM(r) = 4\pi M_G n(r) r^2 dr$  und (8.57),

$$\begin{aligned} \Omega &= -G (4\pi)^2 M_G^2 \int_0^R dr \underbrace{r n(r)}_{\frac{1}{2\pi} \frac{dS}{dq} dq} \int_{r'}^R \underbrace{n(r') r'^2 dr'}_{-\frac{1}{2\pi} \frac{dS}{dq'} q' dq'} = \\ &= -\frac{1}{2\pi} \frac{dS}{dq} dq - \frac{1}{2\pi} \frac{dS}{dq'} q' dq' \end{aligned}$$

$$= -4G M_G^2 \int_0^R \frac{ds}{dq} dq \int_0^q \frac{ds}{dq'} q' dq'.$$

Durch geometrische partielle Integration erhalten wir

$$\Omega = -2G M_G^2 \int_0^R s^2(q) dq. \quad (8.60)$$

Nach der Def. (8.54) und Gl. (8.58) kommt dann

$$R_{VT} = \frac{2 \left( \int_0^R s dq \right)^2}{\int s^2 dq}. \quad (8.61)$$

Beschaffen wir uns also mit (8.61)  $R_{VT}$  und  $V^2$  (ingekl.) aus  $\sigma^2$ , so gilt (8.55) die sog. Mittelmasse ( $M_{VT}$ ) des Haufens.

Übungsaufgabe: Bevölkte einen sphärisch symmetrischen Kluster mit Ausahldichte  $n(r)$ . Zeige, dass diese mit der projizierten Flächendichte  $\Sigma(p)$  in Beobachtungsmögl. über eine Abel'sche Integralgleichung zusammenhängt. Löse diese und bringe die Lösung in die Form

$$n(r) = \frac{1}{\pi} \int_r^R \sqrt{p^2 - r^2} \frac{dp}{dq} \left( \frac{1}{q} \frac{d\Sigma}{dq} \right) dq. \quad (8.62)$$

Für den Coma haufen finden verschiedene Autoren<sup>15)</sup> die Werte

$$M/L_V \approx 500 h_0, \quad M/L_B \approx 650 h_0. \quad (8.63)$$

Dies ist sehr viel mehr als für individuelle Galaxien, aber auch wesentlich mehr als für Mitglieder von Bündelgalaxien oder von kleinen Gruppen. Für eine Diskussion der Unsicherheiten verweise ich auf den oben zitierten Überblick von Faber und Gallagher.<sup>15</sup>

Eine Zusammenfassung der Resultate gibt die Tabelle 9 (siehe auch Fig. 1).

| Skala                                     | H/L [Sonnenheiten] |
|---|--------------------|
| Sonnenumgebung                            | $2 \pm 1$          |
| Sichtbarer Bereich der Spiralgalaxien     | (8-12) $h_0$       |
| Sichtbarer Bereich der SO- und E-Galaxien | (10-20) $h_0$      |
| Binärsysteme und kleine Gruppen           | (60-180) $h_0$     |
| Perseide Haufen                           | (300-1000) $h_0$   |

Tabelle II.9. Kasse - Lendtkeft - Verhältnisse für Galaxien

Der Mittelwert für H/L wurde von Sandage und Tamman [K4] folgendermassen bestimmt:

- $H/L$  für Spiralgalaxien =  $50 h_0$       } im  
 $H/L$  für E+SO      =  $650 h_0$       } Verhältnis  
 $3 : 1$
- Die Luminositätsfunktionen wurden für

Spiralgalaxien und E+SO separat integriert,  
was

$$\Omega_0 = 0.8 \times 10^{-3} h_0^{-1} \langle M/L \rangle$$

ergibt.

Dies führt zu  $\Omega_0 = 0.12$ , wodurch wird die Autoren eher als eine Überschätzung aussehen, da sie der Ansicht sind, dass die hohen Werte von E+SO in Haußen für die Feldgalaxien zu hoch sein dürften.

### c) Ein philosophisches Argument für $\Omega=1$

Wir zeigen zuerst, dass der Wert  $\Omega=1$  unstabil ist.

In (1.3) und (1.4) war  $t_0$  beliebig, also gilt immer

$$\rho = \frac{3}{8\pi G} \left( H^2 + \frac{k}{a^2} \right)$$
$$\dot{\rho} = -\frac{1}{8\pi G} \left[ H^2(1-2q) + \frac{k}{a^2} \right]. \quad (8.64)$$

Für  $\dot{\rho}=0$  erhalten wir wieder

$$\Omega = 2q , \quad \frac{k}{a^2} = (2q-1)H^2 \quad (8.65)$$

und daraus

$$\Omega = \frac{k}{a^2 H^2} + 1. \quad (8.66)$$

---

Übungsaufgabe: Bereiche die Lösung (z.S.) und zeige,  
dass

$$\Omega = \begin{cases} \frac{2}{1+\cos\gamma} & \text{für } k=1 \\ \frac{2}{1+\cosh\gamma} & \text{für } k=-1 \end{cases} \quad (8.67)$$


---

Zu Beginn des Urknalls ( $\gamma=0$ ) ist in beiden Fällen  $\Omega=1$ . Für  $k=+1$  haben wir maximale Expansion für  $\gamma=\pi$ , also  $\Omega=\infty$ . Außerdem nimmt  $\Omega$  für  $k=-1$  dauernd ab und geht asymptotisch gegen Null.

In Arbeitsblatt dieser Instabilität ist es im Rahmen der Friedmann-Modelle sehr merkwürdig, dass ausgedehnt zum gegenwärtigen Zeitpunkt (nach bald 20 Milliarden Jahren) das Universum ein  $\Omega$  in der Nähe von Eins hat.

Gelegentlich wird darauf die Antwort gegeben, dass andernfalls die Bedingungen für die Existenz von Leben und Bewusstsein nicht gegeben wären und sich dann niemand die Frage stellen könnte.

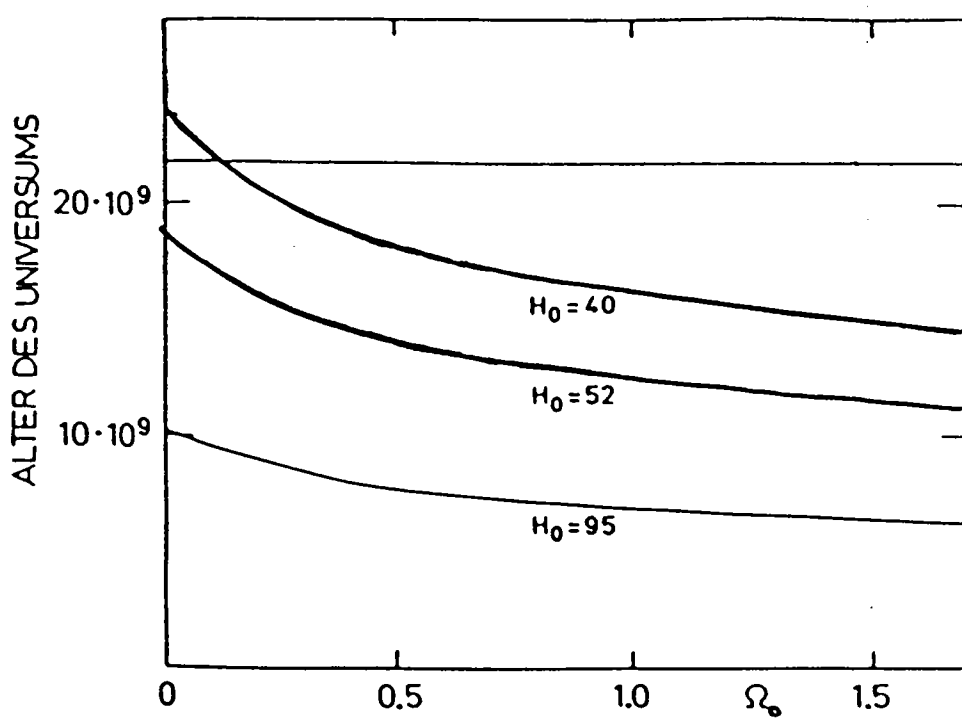
In Kap. VIII werden wir im Rahmen des inflatorischen Modells einen rationalen (aber spekulativen) Grund für  $\Omega=1$  geben.

\* \* \*

Zum Schloss dieses Abschnitts geben wir in Fig. 36 noch eine übersichtliche Darstellung des Alters  $t_0(\Omega; H_0)$  für  $\Lambda=0$ .

Fig. II.36

Das Alter des Universums als Funktion des Dichteparameters  $\Omega_0$  für verschiedene Werte der Hubble-Konstanten  $H_0$  (für  $\Lambda = 0$ ).





## Kapitel III. Thermische Geschichte des Universums für $T < 10^9$ K

"The temperature in the universe at the present time is found to be about 5°K."

Alpher und Herman (1948!)

### 1. Die 3K-Hintergrundswellenung

"... unser Fehler ist nicht, dass wir unsere Theorien zu eng nehmen, sondern dass wir sie nicht eng genug nehmen".

S. Weinberg

Dieses Zitat stammt aus der Schilderung der Entwicklungsgeschichte der Hintergrundswellenung durch S. Weinberg in seinem bekannten populären Buch "Die ersten drei Minuten" (Piper Verlag), welche man unbedingt lesen sollte. Wir begnügen uns hier mit ein paar Auszertungen.

Gegen Ende der vierziger Jahre arbeiteten Gamow und seine Kollegen Alpher und Herman an einer Theorie<sup>1</sup>, nach der alle Elemente im heißen Urkuall synthetisiert worden sind. Diese Theorie war zwar in wesentlichen Teilen falsch, ging sie doch von der richtigen Annahme aus, dass das Universum anfänglich ausschließlich aus Neutronen bestand. Sie schmähte aber weitere Forschungen und wurde im Jahre 1950 entweder C. Hayashi<sup>2</sup> die heute noch gültige Theorie der Entstehung

der leichten Elemente. (Wir wissen irgendwo, dass Kohlenstoff und schwere Elemente Produkte der stellaren Evolution sind.) Auch Alpher und Herman revidierten ihr Modell bald in derselben Weise. Aber schon 1948 waren die beiden zum richtigen Schluss gekommen<sup>1)</sup>, dass sich die beobachtete Häufigkeit der leichten Elemente unerklärbar bess, wenn man zwischen Photonen und Nukleonen ein Verhältnis von  $10^9 : 1$  annahm. Aufgrund von Schätzungen der gegenwärtigen kosmischen Nukleonendichte kamen sie zum Schluss: "The temperature in the universe at the present time is found to be about  $5^\circ K$ ". Von dieser Prognose hatten aber Penzias und Wilson nie etwas gehört, als sie 1965 die  $3K$ -Hintergrundstrahlung entdeckten.

Die Entdeckung geschah ganz zufällig bei der Erprobung der Radioantenne der Bell Telephone Company, die zur Beobachtung des Satelliten "Echo" errichtet worden war. Penzias und Wilson fanden dabei ein schwaches Radiointergrundrauschen, das unabhängig von der Richtung der Antenne aus dem Kosmos kam. (Die Messungen wurden bei  $7.35 \text{ cm}$  durchgeführt.) Alle Beobachtungen, das beobachtete Rauschpegel

---

1) R.A. Alpher, R. Herman: "Evolution of the universe", Nature 162, 774 (November 13, 1948)

G. Gamow: "The evolution of the universe", Nature 162, 680 (October 30, 1948)

2) C. Hayashi, Prog. Theor. Phys. 5, 224 (1950)

zu senken, blieben erfolglos. (Dazu gehörte auch die Be-  
seitigung eines "weissen dielektrischen Materials", das von  
einem Taubenpaar stammte.)

Dicke hatte zusammen mit seinen Mitarbeitern in  
Princeton aufgrund kosmologischer Überlegungen damit  
begonnen, bewusst nach einer Mikrowellen-Hintergrund-  
Strahlung zu suchen. Aber noch bevor sie ihre Messungen  
abschließen konnten, erhielt Dicke einen Auftrag von Paritz  
der soeben von einer Arbeit von Peebles zur Big-Bang-  
Nukleosynthese der leichten Elemente erfahren hatte.  
Daraufhin publizierten Paritz und Wilson ihre epos-  
dike Entdeckung<sup>3)</sup> unter dem zwielichtigen Titel:

"A Measurement of Excess Antenna Temperature at  
4080 Mc/s". In gleicher Heft gaben Dicke, Peebles, Roll  
und Wilkinson sofort die heute allgemein akzeptierte  
kosmologische Interpretation der Messungen von Paritz  
und Wilson, nach der die Hintergrundstrahlung das  
Relikt der heißen Gleichgewichtsbevölkerung im heutigen  
Universum ist. Sehr bald fanden sie bei 3.2 cm auch  
praktisch dieselbe Antennentemperatur wie Paritz und  
Wilson bei 7.35 cm.

Diese beiden Messpunkte liegen im Rayleigh-Jeans-  
Bereich des Spektrums. Danach hat man sich sehr ange-  
strengt, das Umbringen der Planck'schen Kurve bei etwa  
0.1 cm zu überprüfen. Dies war deshalb sehr schwierig, weil

3) A.A. Paritz, R.W. Wilson; Ap. J. 142, 419 (1965)

4) R.H. Dicke, P.J.E. Peebles, P.G. Roll and D.T. Wilkinson:  
"Cosmic black-body radiation"; Ap. J. 142, 414 (1965).

die Erdatmosphäre bei Wellenlängen kürzer als etwa 0.3 cm zunehmend undurchlässig wird und man deshalb die Experimente mit Hilfe von Ballons oder Satelliten ausführen muss.

Die Auswertung der FIRAS-Daten von COBE nach einer Beobachtungszeit von 4 Jahren sind in der untenstehenden Figur gezeigt. Die Fehler sind kleiner als die Strichdicke und die Messpunkte liegen alle auf der Planck-Kurve zu  $T = 2.728 \pm 0.004$  K. Ein allfälliges deuterisches Potential  $\mu$  muss kleiner als  $\approx 10^{-4}$  sein:  $|\mu| < 9 \times 10^{-5}$  (95% Konf.). Dieses Ergebnis ist ungemein wichtig.

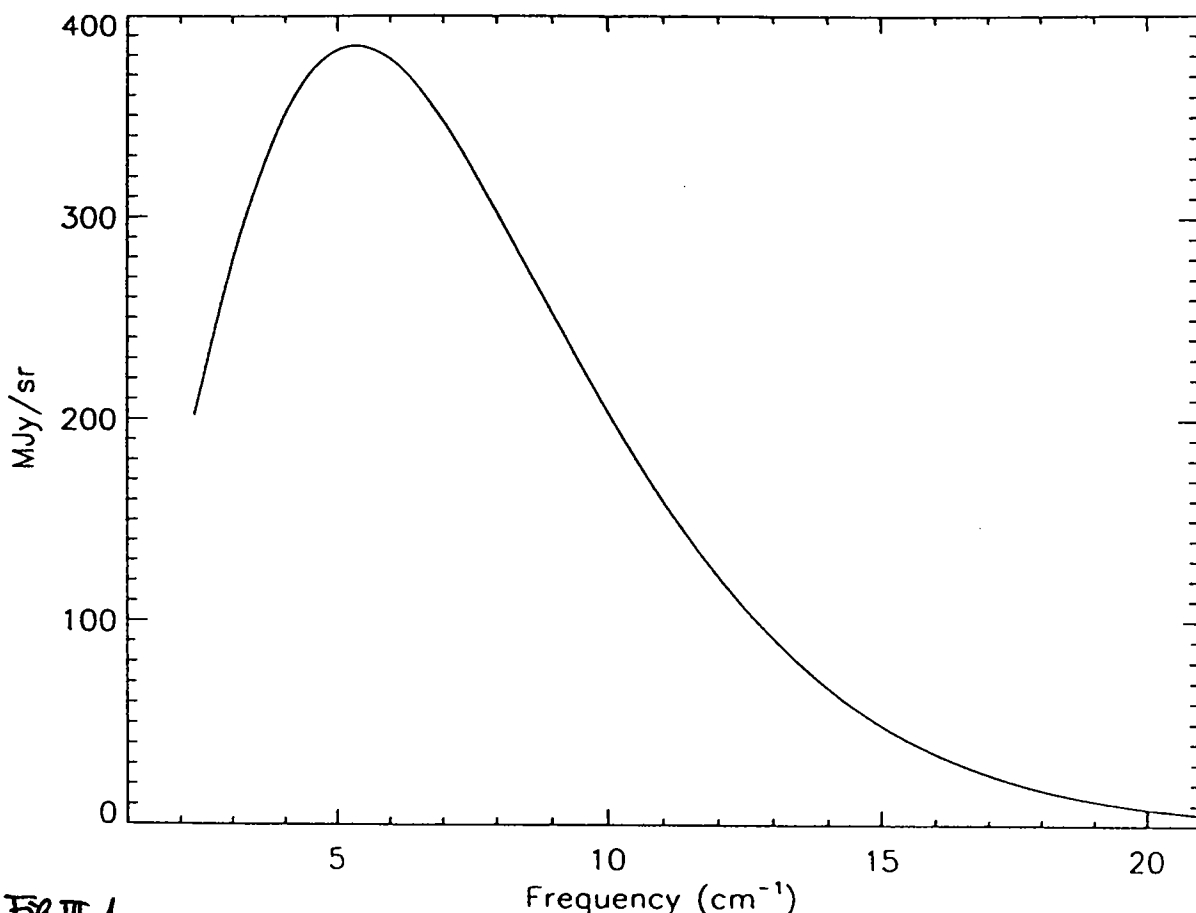


Fig. III.1

4.—Uniform spectrum and fit to Planck blackbody ( $T$ ). Uncertainties are a small fraction of the line thickness.

Ap.J. 473, 576 (1996)

Die kalte Gleichgewichtsstellung des frühen Universums entkoppelte sich von der Materie, als die Temperatur des Universums

auf etwa  $4000^{\circ}\text{K}$  sank. Bei dieser Temperatur kombinierten nämlich die Elektronen und Atomkerne zu neutralen Atomen (siehe Abschnitt 2), und deshalb werden die Photonen ausschliessend nicht mehr gestreut (siehe unten). Bei der freien Expansion nimmt die Photonenzahlendichte  $n_\gamma$  mit  $a^{-3}$  ab und aufgrund der Rotverschiebung sinkt die Energie jedes Photons proportional zu  $a^{-1}$ . Deshalb bleibt das Planck'sche Verteilungsgesetz

$$g_\gamma d\nu = 8\pi \frac{h\nu^3}{e^{h\nu/kT_\gamma} - 1} d\nu \quad (1.1)$$

bei der freien Expansion erhalten, wobei die Temperatur  $T_\gamma$  proportional zu  $a^{-1}$  fällt,

$$a(t) T_\gamma(t) = \text{const.} \quad (1.2)$$

Dies ist eine Besonderheit von masselosen Teilchen! Die Strahlungsenergiendichte nimmt damit wie  $a^{-4}$  ab.

Wir wollen nun die optische Tiefe der Hintergrundstrahlung von heute (Zeit  $t_0$ ) bis zur Vergangenheit  $t_1$  abschätzen. Dazu trägt zunächst nur die Streuung an freien Elektronen bei (siehe die nächste Übungsaufgabe), welche durch teilweise Reionisation der intergalaktischen Materie entstanden sein könnten (siehe dazu Abschnitt 7).

Berechnet  $\sigma_T$  den Thomson-Querschnitt und  $n_e(t)$  die Dichte der freien Elektronen zur Zeit  $t$ , so ist die optische Tiefe

$$\tau = \int_{t_1}^{t_0} \sigma_T n_e(t) dt. \quad (1.3)$$

Wir setzen

$$n_e(t) = x \frac{\rho(t)}{m_H}, \quad \rho(t): \text{totale Massendichte}, \\ x < 1. \quad (1.4)$$

Es ist also für ein materiedominantes Universum

$$\kappa(t) = \times \frac{\rho(t)}{\rho_0 u_H} \Omega_0 \Omega_c = \times \left( \frac{a_0}{a(t)} \right)^3 \Omega_0 \frac{3 H_0^2}{8\pi G u_H}. \quad (1.5)$$

Ferner gilt nach (II.2.4)

$$dt = \frac{da}{a_0 H_0} \left[ 1 - \Omega_0 + \Omega_0 \frac{a_0}{a(t)} \right]^{-1/2} \quad (1.6)$$

und damit

$$\tau = \times \frac{3 \Omega_0 H_0 C t_0^2}{8\pi G u_H} \int_{a(t_0)}^{a_0} a^3 \left[ 1 - \Omega_0 + \Omega_0 \frac{a_0}{a} \right]^{-1/2} da. \quad (1.7)$$

Das Integral ist elementar. Dürfen wir das Resultat noch durch die Rotverschiebung  $z = -1 + a_0/a(t_0)$  aus, so kommt

$\tau(z) = \times \frac{\tau_c}{\Omega_0} \left[ (3\Omega_0 + \Omega_0 z - 2) \sqrt{1 + \Omega_0 z} + z - 3\Omega_0 \right],$

(1.8)

abei

$$\tau_c = \frac{H_0 C}{4\pi G u_H} = 0.046 h_0. \quad (1.9)$$

Jur  $\Omega_0 = 1$  erhalten wir z.B.

$$\tau(z) = \times \tau_c \left[ (1+z)^{3/2} - 1 \right]. \quad (1.10)$$

Sogar für  $x=1$  ist  $\tau(z) < 1$  bis zu  $z = \left(1 + \frac{1}{\tau_c}\right)^{2/3} - 1$ , was für  $h_0 = 1/2$  den Wert 11.6 hat.

In diesem Zusammenhang muss man sich die Frage stellen, wie gross die Kühlungszeit für ein intergalaktisches Plasma wäre. Nun ist die Energieverlustrate pro Volumeneinheit für Bremsstrahlung (siehe [NS, (9.1.53)]):

oder Aufhang II

$$-\frac{d\epsilon}{dt} = 1.4 \times 10^{-27} n_e n_i T^{1/2} \frac{\text{erg}}{\text{sec cm}^3}, \quad (1.1)$$

wobei  $n_i$  die Dichte der Ionen ist. Außerdem ist die thermische Energiedichte

$$\epsilon^{\text{th}} \approx 3n_e k T = 3n_e (1.4 \times 10^{-16}) T \text{ erg/cm}^3.$$

Für die charakteristische Kühlungszeit erhalten wir also

$$\tau \approx \frac{3T^{1/2}}{n_e} \times 10^{11} \text{ sec}. \quad (1.12)$$

Für das Beispiel  $T = 10^6 \text{ K}$ ,  $n_e = 10^{-5} \text{ cm}^{-3}$  ist dies etwa  $10^{12} \text{ s}$ , also weitestgehend länger als die Hubble-Zeit.

Übungsaufgaben: (i) Zeige, dass das Verhältnis von Rayleigh-Streuung an H-Atomen zur Thomson-Streuung für  $c = h = 1$  gleich

$$\frac{\alpha(0)^2 \omega^4}{1/m^2} \quad (1.13)$$

ist, wobei  $\alpha(0)$  die atomare Polarisierbarkeit des H-Atoms ist.

(ii) Schäbe mit einer Variationsrechnung den Wert von  $\alpha(0)$  ab zu

$$\alpha(0) = \frac{4m \alpha_0^4}{[t^2]}.$$

Damit gilt

$$\sigma(\text{Rayleigh}) = \left(\frac{\omega}{\omega_0}\right)^4 \sigma(\text{Thomson}), \quad (1.14)$$

mit

$$\omega_0 = \frac{1}{2} \alpha^2 m: \text{Rydberg-Frequenz.}$$

(iii) Bestimme die optische Tiefe der Hintergrundstrahlung

aufgrund von Rayleigh-Scattering als Funktion von  $E_\gamma$   
(nach dem Vorbild von (1.8)).

Zum Schluß dieses Abschnittes zeigen wir noch das gesamte Spektrum der kosmischen Hintergrundstrahlung, soweit es heute bekannt ist (Fig. 2).

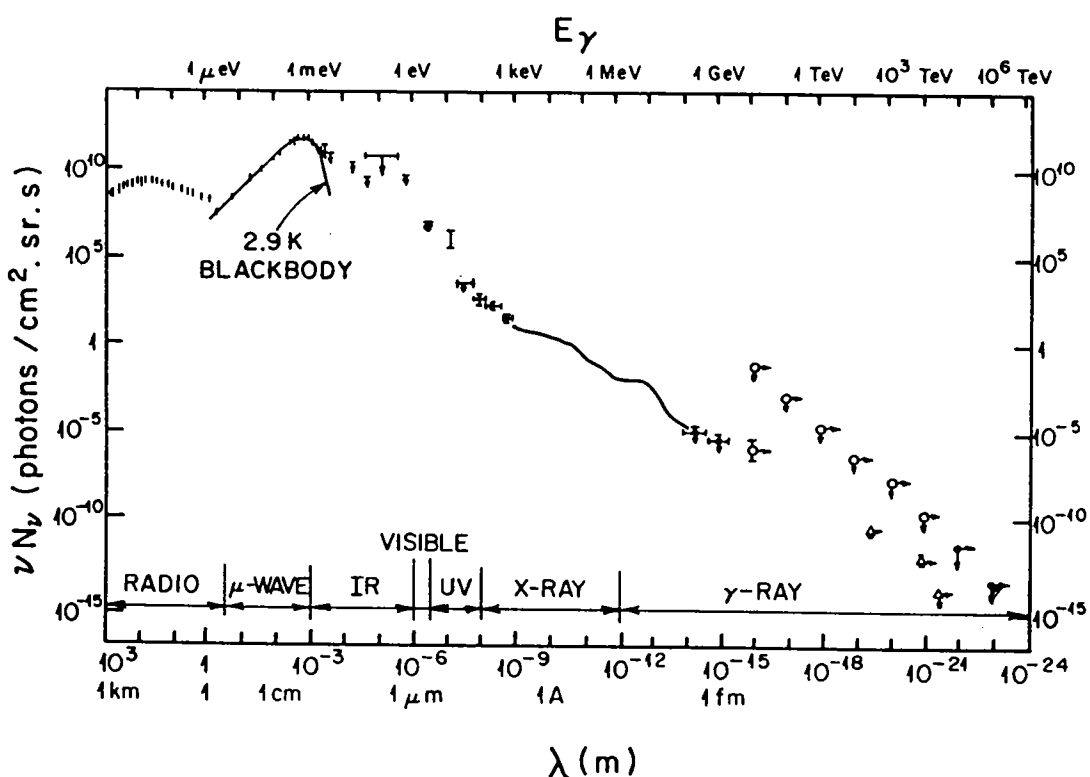


Fig. III.2. Das Spektrum der kosmischen Hintergrundstrahlung. Bekannte Vordergrundstrahlung durch galaktische Quellen wurde abgezogen (nach M. Turner).

Man sieht sehr schön, wie der Ultravioletthintergrund herausagt. In diesem Zusammenhang sollte man sich die Dichte der 3K-Photonen merken:

$$n_g = 2 \frac{S(3)}{\pi} 8\pi \left(\frac{kT}{hc}\right)^3 = 399 \text{ cm}^{-3} \text{ für } T=2.7 \text{ K}$$

$$\rho_g = 6 \frac{S(4)}{\pi^4/90} 8\pi \left(\frac{kT}{hc}\right)^3 \frac{kT}{c^2} \simeq 2.7 \frac{kT}{c^2} n_g. \quad (1.15)$$

## 2. Rekombination, Baryondichte / Entropiedichte

Die Entropiedichte  $s_g$  der schweren Strahlung ist  $s_g = k \frac{4\pi^2}{45} \left(\frac{kT}{hc}\right)^3$ . Von nun an verwenden wir - wenn nichts anderes gesagt wird - Einheiten\*) mit  $\hbar = c = k = 1$ . Dann ist

$$s_g = \frac{4\pi^2}{45} T^3 = 3.60 u_g \quad (2.1)$$

und  $a^3 s_g$  bleibt bei  $\lambda$  Expansion konstant. Da die Baryenzahldichte  $n_B$  mit  $a^{-3}$  abnimmt, ist also die Strahlungsentropie pro Baryon,  $s_g/n_B$ , bei adiabatischer Expansion konstant. Dieses Verhältnis hat gegenwärtig den Wert

$$\begin{aligned} \left(\frac{s_g}{n_B}\right)_0 &= \left(\frac{s_g}{\Omega_B \hbar c / m_p}\right)_0 = \left(\frac{s_g}{\Omega_B \hbar c / m_p}\right)_0 \stackrel{(II.1.6)}{=} \left(\frac{3.6 \times u_g}{\Omega_B \hbar^2 \times 1.12 \times 10^{-5} \text{ cm}^{-3}}\right)_0 \\ &= \frac{3.6 \times 400}{1.12 \times 10^{-5}} (\Omega_{B0} h_0^2)^{-1}, \end{aligned}$$

$$\boxed{\left(\frac{s_g}{n_B}\right)_0 = 1.3 \times 10^8 (\Omega_{B0} h_0^2)^{-1}} \quad (2.2)$$

Da der letzte Faktor in dieser Gleichung schlecht bekannt ist, ergibt sich aus (2.1) und (2.2) eine bebildliche Unsicherheit in

$$\frac{n_B}{u_g} = 10^{-9 \pm 1}. \quad (2.3)$$

Auf jedenfall ist das Verhältnis  $n_B/u_g$  sehr klein. Nach

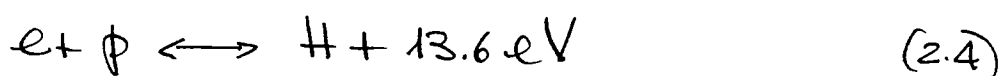
---

\*) Dann ist  $1 \text{ GeV} = 1.16 \times 10^{13} \text{ K} = 1.78 \times 10^{-24} \text{ g}$  und  $1 \text{ GeV}^{-1} = 1.97 \times 10^{-14} \text{ cm} = 6.58 \times 10^{-25} \text{ sec}$ .

unseren heutigen Vorstellungen von dieses Verhältnis auch zu einem Zeitpunkt etwa gleich gross, als die Zahl der Bayonen und der Antibayonen im sehr frühen heißen Universum vergleichbar zu  $n_B$  war. Deshalb bedeutet (2.3), dass es auf  $10^8$  Antibayonen  $10^8 + O(1)$  Bayonen gab. Mit anderen Worten, die B-Asymmetrie war in einer Frühphase sehr klein. Bei der Abkühlung unter  $1 \text{ GeV}$  annähernd verschwanden sich Teilchen und Antiteilchen, und es verblieb schliesslich nur der winzige Überschuss (2.3) pro Photon, auf dem auch unsere Existenz beruht.

Die grossvereinheitlichten Theorien (GUTS) haben neues Licht auf die alte Frage geworfen, auf welche Weise ein B-asymmetrisches Universum mit dem kleinen Wert (2.3) auf natürliche Weise entstehen könnte. Darauf werden wir in Kap. VII im Detail eingehen.

Wir berechnen nun die (Re-)Kombinationsenthalpie von Wasserstoff als Funktion von  $S_B/n_B$ . Dazu wenden wir die üblichen Regeln der statistischen Mechanik auf das Gleichgewicht



an. Für die chemischen Potentiale gilt die Gleichgewichtsbedingung

$$\mu_H = \mu_e + \mu_p. \quad (2.5)$$

Zu dieser Bedingung vernachlässigen wir die angeregten Zustände von H. Im weiteren unterscheiden und untersuchen Fall 81

$$n_e = 2 e^{\mu_e/T} \frac{1}{(2\pi)^3} \int_0^\infty 4\pi p^2 dp = e^{\mu_e/T} \frac{p^3/2m_e T}{(2\pi)^3} \\ = 2 e^{\mu_e/T} (2\pi)^{-3} (2\pi m_e T)^{3/2}. \quad (2.6)$$

Ebenso

$$n_p = 2 e^{\mu_p/T} (2\pi)^{-3} (2\pi m_p T)^{3/2} \quad (2.7)$$

und

$$n_H = 4 e^{\mu_H/T} e^{-\Delta/T} (2\pi)^{-3} (2\pi m_p T)^{3/2}, \quad (2.8)$$

wobei  $\Delta = \frac{1}{2} \alpha^2 m_e$  die Ionisationsenergie ist. Bezeichnen wir noch die Ladungssenbalilität  $n_e = n_p$ , so folgt aus diesen Ausdrücken und (2.5)

$$\frac{n_e^2}{n_H} = \frac{n_e n_p}{n_H} = e^{-\frac{1}{2} \alpha^2 m_e/T} \left( \frac{m_e T}{2\pi} \right)^{3/2}. \quad (2.9)$$

Der Ionisationsgrad  $x$  ist definiert durch

$$x = \frac{n_p}{n_p + n_H}. \quad (2.10)$$

Nach (2.9) gilt

$$\frac{x^2}{1-x} = \frac{n_e^2}{n_H} \underbrace{\frac{1}{n_p + n_H}}_{n_B} = \frac{1}{n_B} \left( \frac{m_e T}{2\pi} \right)^{3/2} e^{-\frac{1}{2} \alpha^2 m_e/T}. \quad (2.11)$$

Dies ist die sog. Saha-Gleichung. Wir lösen diese jetzt für  $x = \frac{1}{2}$ . Im folgenden sei  $\sigma := s_p/n_B$ , also nach (2.1)  $n_B = \frac{4\pi^2}{45} T^3 / \sigma$ . Damit folgt aus (2.11)

$$\frac{1/2 \cdot 4 \pi^{3/2}}{45} \frac{1}{\sigma} \left( \frac{T}{m_e} \right)^{3/2} = e^{-\frac{1}{2} \alpha^2 m_e/T}, \quad (2.12)$$

Oder

$$\frac{u_e}{T} = 2(137)^2 \left( \ln \frac{T}{6.908} + \frac{3}{2} \ln \frac{u_e}{T} \right). \quad (2.13)$$

Durch Iteration ergibt sich daraus

$$T \approx \frac{u_e}{2(137)^2} \left[ \ln \left( \frac{T}{6.908} \right) + \frac{3}{2} (10.53 + \ln \ln \frac{T}{6.908}) \right]^{-1}, \quad (2.14)$$

$$T \approx \begin{cases} 4330 \text{ } ^\circ\text{K} & \text{für } \sigma = 10^8, \\ 4050 \text{ } ^\circ\text{K} & \text{für } \sigma = 10^9. \end{cases} \quad (2.15)$$

Grob erhält man aus (2.14) im relevanten Bereich für  $\sigma$

$$T_{\text{rek.}} \approx 0.02 \alpha^2 u_e, z_{\text{rek.}} \approx 1500. \quad (2.16)$$

Nun vergleichen wir  $\rho_B$  und  $\rho_\gamma$  bei dieser Rekombinationstemperatur. Dazu benutzen wir die Tabelle, dass a.  $T_\gamma = \text{const}$ , und zwar nicht nur bei der freien Expansion (Gl. (1.2)), sondern auch im Gleichgewicht zwischen Strahlung und Materie. Letzteres werden wir anschließend gleich zeigen. Deshalb gilt mit (1.15) für  $T_{80} = 2.7 \text{ K}$ :

$$\begin{aligned} \frac{\rho_\gamma}{\rho_B} &= \frac{\frac{\pi^2}{15} T_\gamma^4}{h_B u_p} = \frac{\frac{\pi^2}{15} T_{80}^4}{h_{80} u_p} \frac{T_\gamma}{T_{80}} = \frac{\frac{\pi^2}{15} T_{80}^4}{Q_B \rho_c} \frac{T_\gamma}{T_{80}} \\ &= 0.9 \times 10^{-4} \frac{1}{Q_B (H_0/50)^2} \frac{T_\gamma}{T_{80}}. \end{aligned} \quad (2.17)$$

Bei

$$\frac{T_\gamma}{T_{80}} \approx 10^4 Q_B (H_0/50)^2 \quad (2.18)$$

Ist also  $\rho_\gamma = \rho_B$ . Diese Temperatur ist nicht sehr verschieden.

von der Rekombinationstemperatur.

Um die Konstanz von  $a \cdot T$  im Gleichgewicht einzurichten, betrachten wir ein ideales Gas im Gleichgewicht mit schwarzer Strahlung. Dann sind totaler Druck und Energiedichte:

$$\begin{aligned} p &= nT + \frac{\pi^2}{45} T^4, \\ g &= n m + \frac{nT}{\gamma-1} + \frac{\pi^2}{15} T^4 \end{aligned} \quad (2.19)$$

( $\gamma = 5/3$  für ein monoatomares Gas). Die Erhaltung der Zahl der Gasteilchen bedeutet

$$n a^3 = n_0 a_0^3$$

und der "Energiesatz" (I.4.17) gibt

$$\frac{d}{da} \left[ n m a^3 + \frac{nT}{\gamma-1} a^3 + \frac{\pi^2}{15} T^4 a^3 \right] = -3nT a^2 - \frac{\pi^2}{15} T^4 a^2.$$

Aus den beiden letzten Gleichungen folgt

$$\frac{\alpha}{T} \frac{dT}{da} = - \left[ \frac{\frac{\gamma+1}{\gamma-1}}{\frac{\gamma+1}{\gamma-1} (\gamma-1)^{-1}} \right]. \quad (2.20)$$

Für  $\sigma \ll 1$  gilt diese Beziehung  $T \propto a^{-\frac{3}{\gamma-1}}$ , d.h. die bekannte Änderung der Temperatur bei adiabatischer Expansion eines idealen Gases.

Was interessiert aber der Fall  $\sigma \gg 1$  und dafür gilt (2.20), wie erwartet,  $a \cdot T = \text{const}$ . Wir halten jedoch fest: Nicht nur bei der freien Expansion nach der Entkopplung der Strahlung von der Materie,

sondern auch bei adiabatischen Expansionsphasen, bei der  $a \cdot T = \text{const.}$  Wir werden im sehr frühen Universum auch unadiabatische Phasen kennenlernen, in denen die Wärmestrahlung zusätzlich aufgeheizt wird.

Es ist plausibel, dass für  $\alpha \gg 1$  das Planck'sche Verteilungsgesetz bei der Entkopplung nicht stark ge-  
ändert wurde. Vorher war das Strahlungsfluid sehr zahlreich (Thomson drag) und deshalb konnten sich Galaxien und Sterne erst nach der Plasma-Ära bilden (siehe Kap. V).

### 3. Kausalität und Isotropie der Hintergrundstrahlung

Wir kommen nun zu einer sehr wichtigen prinzipiellen Beobachtung. Ausgangspunkt ist die inhaltige Isotropie der Hintergrundstrahlung, auf welche wir schon in § I.1 hingewiesen haben (siehe Fig. I.1). Nach dem Vorangegangenen bedeutet dies, dass die Fläche letzter Strahlung zu  $z_0 \approx 1500$  überall fast genau die gleiche Temperatur hatte. Wir werden in folgenden sehen, dass diese gleichförmige Temperatur der "kosmischen Photosphäre" im Rahmen des Standardmodells sehr stabilhaft ist, da z.B. antipodische Punkte so weit voneinander entfernt sind, dass sie vor der Entkopplung gar keinen kausalen Kontakt haben können.

Dazu bestimmen wir den geodatischen Abstand  $d(\theta)$  von zwei Emissionspunkten zum Winkelabstand  $\theta$  und vergleichen diesen mit der Teilchenhorizontlänge  $d_H(t_R)$  zur Zeit der Rekombination.

Die Emissionspunkte liegen im Raum konstanter Krümmung  $k/a(t_{R'})$  ( $k=0, \pm 1$ ) mit gleicher radialer Koordinate  $r_R$  und Winkelabstand  $\theta$ . Zunächst betrachten wir den einfachen Fall  $\theta = \pi$  (antipodische Emissionspunkte). Dafür holt man  $ds^2 = dt^2(1-kr^2)^{-1/2}$  und damit ist der geodätische Abstand (siehe Fig. 3):

$$d(\pi) = 2a(t_R) \int_0^{t_R} \frac{dr}{\sqrt{1-kr^2}} = 2a(t_R) \int_{t_R}^{t_0} \frac{dt}{a(t)}. \quad (3.1)$$

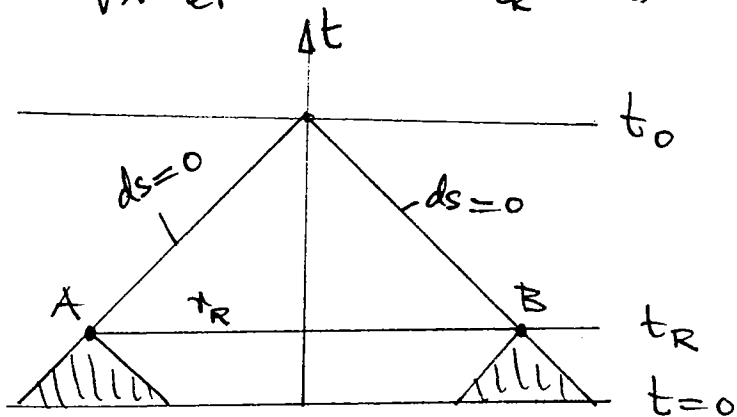


Fig. III. 3. Die Rückwärtskegel zweier antipodischer Emissionspunkte  $A, B$  zur Rekombinationszeit überlappen sich nicht.

Die Horizontallänge zur Zeit  $t_R$  ist anderseits nach (II.5.3)

$$d_H(t_R) = a(t_R) \int_0^{t_R} \frac{dt}{a(t)}. \quad (3.2)$$

Die Zahl der Kausalitätsblangen von  $d(\pi)$  ist

$$\frac{d(\pi)}{2d_H(t_R)} = \left/ \int_{t_R}^{t_0} \frac{dt}{a(t)} \right/ \left/ \int_0^{t_R} \frac{dt}{a(t)} \right.. \quad (3.3)$$

Darin ist der Zähler recht gut bekannt, da wir für den Integrationsbereich ein materiedominantes Universum annehmen dürfen. Dafür wurde der Zähler berech-

in (II.5.14) benutzt. Für grosse  $z$  erhält man daraus

$$\frac{1}{z} d(\pi) = \frac{2}{H_0 z_R} \left\{ \begin{array}{ll} \frac{1}{2} \frac{1}{\sqrt{2q_0-1}} \sin^{-1} \left( \frac{\sqrt{2q_0-1}}{q_0} \right) & (k=1) \\ 1 & (k=0) \\ \frac{1}{2} \frac{1}{\sqrt{1-2q_0}} \sin^{-1} \left( \frac{\sqrt{1-2q_0}}{q_0} \right) & (k=-1) \end{array} \right. \quad (3.4)$$

Zur Berechnung der Horizontaldistanz benötigen wir  $a(t)$  für das frühe Universum ( $t < t_R$ ). Dafür sind die Materiedominanten Formeln nicht unbedingt maßgebend. Für eine erste Orientierung benutzen wir sie trotzdem. (In einer Übung (p.167) werden wir sehen, dass Verallgemeinerte dominante Formeln nicht viel ändern.) Aus (II.5.5) erhält man für  $z \gg 1$

$$d_{\#}(z_R) \simeq \frac{2}{H_0 z_R^{3/2}} \left\{ \begin{array}{ll} \frac{1}{\sqrt{2q_0}} & (k=\pm 1) \\ 1 & (k=0) \end{array} \right. \quad (3.5)$$

Aus (3.4) und (3.5) erhalten wir für die Zahl der Kausaldistanzen (3.3) zwischen antipodischen Punkten

$$\frac{d(\pi)}{2d_{\#}(z_R)} \simeq \sqrt{z_R} \left\{ \begin{array}{ll} \frac{1}{2} \left( \frac{2q_0}{2q_0-1} \right)^{1/2} \sin^{-1} \left( \frac{\sqrt{2q_0-1}}{q_0} \right) & (k=1) \\ 1 & (k=0) \\ \frac{1}{2} \left( \frac{2q_0}{1-2q_0} \right)^{1/2} \sin^{-1} \left( \frac{\sqrt{1-2q_0}}{q_0} \right), & (k=-1) \end{array} \right. \quad (3.6)$$

also etwa  $\sqrt{z_R} \simeq 40$  !! Diese grundsätzliche Schwierig-

Womit kommt man das Horizontproblem. In Kap. VIII werden wir im Rahmen des inflatorischen Modells einen spekulativen Ausweg finden. In diesem Szenario wächst  $a(t)$  in einer sehr frühen Phase – aufgrund einer dominanten "Vakuumenergie" – exponentiell rasch an, sodass der Horizont stark ausweitet und damit das Verhältnis (3.3) unter Eins sinkt.

Wir holen nun noch diestrukutive Berechnung von  $d(\theta)$  für beliebige Winkel  $\theta$  nach. Dazu bedienen wir uns der Isometriegruppen der euklidischen Sphären.

Die 3-dim. Räume konstanter Krümmung  $k=\pm 1$  sind isometrisch zu den (pseudo-) Sphären  $\{(\underline{x}, z) : \underline{z}^2 + k\underline{x}^2 = 1, \underline{x} \in \mathbb{R}^3\}$  mit der metrischen Funktion

$$ds^2 = (\partial \underline{x})^2 + k d\underline{z}^2 = (\partial \underline{x})^2 + k \frac{(\underline{x} \cdot d\underline{x})^2}{1 - k \underline{x}^2}. \quad (3.7)$$

In dieser Formel ist auch der Fall  $k=0$  eingeschlossen. Die zugehörigen Isometriegruppen sind:

- $SO(4)$  für  $k=1$ ,
- euklidische Bewegungsgruppe für  $k=0$ ,
- $SO(1,3)$  für  $k=-1$ .

Die Isotopiegruppe (Stabilisator) jedes Punktes ist  $SO(3)$ . Daneben haben wir noch in jedem Fall eine dreiparametrische Schar von "Translations". Für  $k=-1$  sind dies die speziellen Lorentztransformationen. In euklidischen Bezeichnungen haben diese die Form:

$$\underline{x}' = \underline{x} + (\gamma \underline{v}) \frac{(\underline{x} \cdot \underline{v}) \underline{v}}{\underline{v}^2} - \gamma \underline{v} t,$$

$$t' = \gamma(t - \underline{x} \cdot \underline{v}).$$

In diesen Formeln substituieren wir  $\underline{a} = -\gamma \underline{v}$  ( $\Rightarrow \gamma = \sqrt{1+\underline{a}^2}$ )  
 $t = z = \sqrt{1+\underline{x}^2}$  und erhalten

$$\underline{x}' = \underline{x} + \underline{a} \sqrt{1+\underline{x}^2} + [\sqrt{1+\underline{a}^2} - 1] \frac{(\underline{x} \cdot \underline{a}) \underline{a}}{\underline{a}^2}.$$

Man überlegt sich leicht, dass die Verallgemeinerung dieser Isometrien auf alle drei Fälle  $k = \pm 1, 0$  so lautet:

$$\boxed{\underline{x}' = \underline{x} + \underline{a} \sqrt{1-k\underline{x}^2} + [\sqrt{1-k\underline{a}^2} - 1] \frac{(\underline{x} \cdot \underline{a}) \underline{a}}{\underline{a}^2}. \quad (3.8)}$$

(Beachte, dass alle Skalarprodukte euklidisch gemeint sind.)

Wir erhalten, nebenbei bemerkt, aus (3.7) wieder die uns geläufige Form (I.6.7), wenn wir Polarkoordinaten einführen. Wegen  $(d\underline{x})^2 = d\underline{r}^2 + r^2 d\Omega^2$ ,  $\underline{x} \cdot d\underline{x} = \frac{1}{2} d(\underline{x}^2) = r dr$ , ist tatsächlich

$$ds^2 = \frac{dr^2}{1-kr^2} + r^2 d\Omega^2. \quad (3.9)$$

Die Bahn einer Geodaten durch den Ursprung hat aus Symmetriegründen die Form

$$\underline{x} = \varphi \underline{n}, \quad \underline{n}^2 = 1 \quad (3.10)$$

( $\varphi$  ist i.a. kein affiner Parameter). Darauf über wir die isometrische Transformation (3.8) aus und erhalten die folgende Schar von Geodaten

$$\underline{x}(\varphi) = \varphi \underline{n} + \underline{a} \sqrt{1-k\varphi^2} + [\sqrt{1-k\underline{a}^2} - 1] \frac{\varphi (\underline{n} \cdot \underline{a}) \underline{a}}{\underline{a}^2}. \quad (3.11)$$

Es genügt im folgenden,  $\underline{a}$  senkrecht auf  $\underline{n}$  zu wählen:

$$\underline{a} = \underline{a} \underline{e}, \quad \underline{e}^2 = 1, \quad \underline{e} \cdot \underline{n} = 0. \quad (3.12)$$

Dann erhält aus (3.11)

$$\boxed{x(q) = q \bar{u} + a \leq \sqrt{1-kq^2}}. \quad (3.13)$$

Nun wählen wir das Intervall  $[-\beta_1, \beta_1]$  für  $q$  und den Parameter  $a$  so, dass  $|x(\pm\beta_1)|^2 = r_1^2$  und  $x(\beta_1) \cdot x(-\beta_1) = r_1^2$  kostet. Dies bedeutet nach (3.13)

$$r_1^2 = \beta_1^2 + a^2 (1-k\beta_1^2), \cos \theta = \frac{a^2 \sqrt{1-k\beta_1^2} - \beta_1^2}{\beta_1^2}.$$

Daraus ergibt sich

$$\beta_1 = r_1 \sin \frac{\theta}{2}, \quad a = r_1 \cos \left( \frac{\theta}{2} \right) \left[ 1 - k r_1^2 \sin^2 \frac{\theta}{2} \right]^{-1/2}. \quad (3.14)$$

Mit einer kurzen Reduktion erhalten wir, wenn jetzt  $t_1 = r_R$  ist,

$$\begin{aligned} d(\theta) &= a(t_R) \int_{-\beta_1}^{+\beta_1} dq \left[ \left( \frac{dx}{dq} \right)^2 + k \frac{(x(q) \cdot dx/dq)^2}{1-kx^2(q)} \right]^{1/2} \\ &= 2a(t_R) \int_0^{r_R \sin \frac{\theta}{2}} \frac{dq}{\sqrt{1-kq^2}}, \end{aligned}$$

dso

$$\boxed{d(\theta) = \frac{2a_0}{1+z_R} \int_0^{r_R \sin \frac{\theta}{2}} \frac{dq}{\sqrt{1-kq^2}}}. \quad (3.15)$$

Das Integral in (3.15) ist elementar. Dividieren wir noch  $a_0$  und  $r_R$  mit (II.1.2) und (II.3.2) durch  $H_0, q_0$  und  $z_R$  aus, so findet man sofort:

$$d(\theta) = \frac{2}{H_0(1+z_R)\sqrt{2q_0-1}} \sin^{-1} \left\{ \frac{\sqrt{2q_0-1} [z_R q_0 + (q_0-1)(-1 + \sqrt{2q_0 z_R + 1})]}{q_0^2(1+z_R)} \sin \frac{\theta}{2} \right\},$$

für  $q_0 > \frac{1}{2}$  ( $k=1$ );

$$d(\theta) = \frac{4}{H_0(1+z_R)} \left\{ 1 - (1+z_R)^{-1/2} \right\} \sin \frac{\theta}{2}, \quad \text{für } q_0 = \frac{1}{2} \text{ ( $k=0$ )}; \quad (3.16)$$

$$(3.17)$$

$$d(\theta) = \frac{2}{H_0(1+z_R)\sqrt{1-z_0}} \sin^{-1} \left\{ \frac{\sqrt{1-z_0} z_R q_0 + (q_0-1)(-1+\sqrt{2q_0 z_R+1})}{q_0^2(1+z_R)} \sin \frac{\theta}{2} \right\},$$

für  $q_0 < \frac{1}{2}$  ( $k=-1$ ). (3.18)

Wir betonen, dass dafür die Benutzung der materiedominierenden Formeln eine gute Näherung ist.

Für kleine  $\theta$  gilt für alle drei Fälle

$$\boxed{d(\theta) \approx \frac{z_R q_0 + (q_0-1)(-1+\sqrt{2q_0 z_R+1})}{q_0^2(1+z_R)^2 H_0} \theta}. \quad (3.19)$$

Dies stimmt mit (II.3.5) überein!

Wir interessieren uns nun für den Winkel  $\theta_H$  für den  $d(\theta_H) = z d_H(z_R)$  ist. Zur Vereinfachung verwenden wir für  $d_H(z_R)$  wieder die materiedominierenden Formeln (II.5.5). Eine einfache Reduktion gibt

$$\boxed{\sin \frac{\theta_H}{2} = \frac{q_0 \sqrt{2q_0 z_R+1}}{z_R q_0 + (q_0-1)(-1+\sqrt{2q_0 z_R+1})}}. \quad (3.20)$$

Für  $z_R \gg 1$  gilt dies

$$\theta_H \approx 2 \left( \frac{z_0}{z_R} \right)^{1/2}, \quad (3.21)$$

was für  $z_R \approx 1500$  lediglich etwa  $3^\circ \sqrt{z_0}$  ist. Man würde erwarten, dass sich für  $\theta \geq \theta_H$  Antisymmetrien der Hintergrundstrahlung zeigen, da dann die Emissionspunkte keine kausale Verbindung untereinander hätten. Wie wir bereits betont haben, ist die Strahlung aber auch über grosse Winkelbereiche ausserordentlich isotrop (siehe Fig.I.1).

#### 4. Materiefluktuationen zur Zeit der Rekombination und Anisotropien der 3K-Schallung

Wir betrachten eine Materiefluktuation mit Wellenzahl  $k$  und Gesamtmasse

$$M = \frac{4\pi}{3} \left( \frac{2\pi}{k} \right)^3 n u_H \quad (4.1)$$

zur Zeit der Rekombination. Für die zugehörige Winkel-  
ausdehnung  $\theta$  gilt nach (3.19) für  $z_R \gg 1$

$$z \frac{2\pi}{k_R} = \frac{1}{q_0 H_0 (1+z_R)} \theta \quad ,$$

d.h.

$$\theta/2 \simeq q_0 H_0 (1+z_R) \left( \frac{3M}{4\pi n_R u_H} \right)^{1/3} \quad ,$$

oder, da  $n \propto \bar{a}^3$ ,

$$\theta/2 = q_0 H_0 \left( \frac{3M}{4\pi n_0 u_H} \right)^{1/3}. \quad (4.2)$$

Darin benutzen wir  $q_0 = \Omega_0/2$ ,  $u_0 u_H = \Omega_0 g_c$  und be-  
kommen

$$\begin{aligned} \theta &= \Omega_0^{2/3} H_0 \left( \frac{3M}{4\pi g_c} \right)^{1/3} \\ &= s' (h_0 \Omega_0^2)^{1/3} \left( \frac{M}{10^{14} M_\odot} \right)^{1/3}. \end{aligned} \quad (4.3)$$

Wenn also  $M$  einem Kloner von Galaxien entspricht,  
so müsste  $\theta$  einige Minuten bebauen. Die Messungen  
in Fig. I.1 zeigen aber auch auf diesen kleinen Skal-  
skalen keine Anisotropien, welche grösser als etwa  
 $10^{-4}$  sind. Dies ist für das Problem der Galaxienbildung schw

wichtig (siehe Kap. V).

## 5. Die Strahlungsdominante Ära

Bei Temperaturen wesentlich höher als (2.18) war das Universum Strahlungsdominant ( $\rho_g \gg \rho_B$ ). Diese Ära reicht zunächst bis zu einer Temperatur  $T_g \sim M_e \approx 5 \times 10^9 \text{ K}$ , oberhalb wobei zunehmend Elektronen und Positronen und dann immer schwerere Teilchen im Gleichgewicht mit der Strahlung vorhanden waren.

In der Strahlungsdominanten Ära ist die Energiedichte

$$\rho = \gamma \frac{\pi^2}{15} T^4. \quad (5.1)$$

Der Faktor  $\gamma$  soll auch die erwartete thermische Neutrinostrahlung\*) in Reduktion stellen (siehe §IV.3). Für masselose Teilchen gilt  $p = \frac{1}{3} \rho$ . Deshalb gilt nach (I.4.17)

$$\frac{d}{da} (\rho a^3) = -\rho a^2 \Rightarrow \frac{d}{da} (\rho a^4) = 0,$$

d.h.

$$\boxed{\rho a^4 = \text{const.}} \quad (5.2)$$

Aus (5.1) und (5.2) folgt, wie schon wissen,

$$\boxed{T \cdot a = \text{const.}} \quad (5.3)$$

Nun diskutieren wir die dynamische Gleichung (I.4.12) für  $\lambda=0$  (Friedmann-Gl.):

\*) Wir werden in §IV.3 sehen, dass für drei Neutrinosorten

$$\text{ist. } \gamma = 1 + 3 \times \frac{7}{8} \times \left( \frac{4}{\lambda_1} \right)^{4/3} = 1.68 \quad (5.4)$$

$$\dot{a}^2 + k = \frac{8\pi G}{3} \rho a^2. \quad (5.5)$$

Zunächst zeigen wir, dass die Krümmung in der stabilisierenden dominierten Ära verhältnissmäßig ist. Für  $k = \pm 1$  hat die rechte Seite nach (II.1.7) und (II.1.8) gegenwärtig den Wert

$$\frac{8\pi G \rho_0 a_0^2}{3} = \frac{\Omega_0}{1\Omega_0 - 1}. \quad (5.6)$$

Während der materiedominanten Ära variierte die rechte Seite von (5.5) wie  $1/a \propto T_y$ . Da  $\Omega_0$  sicher grösser als etwa 0.02 ist (siehe § II.1), war sie für  $T_y \approx 10^3 K$  grösser als 10 und natürlich noch grösser für höhere Temperaturen. Dagegen kann man  $k = \pm 1$  in (5.5) verhältnissäßig.

In dieser Näherung folgt aus (5.2) und (5.5)

$$\dot{\rho}/\rho = -4\dot{a}/a = -4 \left( \frac{8\pi G \rho}{3} \right)^{1/2}$$

und damit

$$t = \left( \frac{3}{32\pi G \rho} \right)^{1/2} \quad (5.7)$$

( $t=0$  für  $\rho=\infty$ ). Setzen wir hier (5.1) ein, so ergibt sich

$$t = \gamma^{-1/2} \left( \frac{45}{32\pi^3 G} \right)^{1/2} \frac{1}{T^2}$$

$$= 2.3 \text{ sec } \gamma^{-1/2} T_{10}^{-2}, \quad T_{10} := \frac{T}{10^{10} K}.$$
(5.8)

In etwa 5 Stunden fiel also die Temperatur von  $10^9 K$  auf  $10^8 K$  und bis zur Rekombination bei  $T \approx 4000 K$

dauerte es einige  $10^5$  Jahre. Die zeitliche Änderung von  $a$  folgt aus (5.3).

Übungsaufgaben: Bebadite ein Stahlungsdominantes Universum ( $\rho = \frac{1}{3} p$ ).

a) Leite folgende Beziehungen her:

$$\frac{k}{a_0^2} = (q_0-1) H_0^2, \quad q_0 = q_0. \quad (5.9)$$

- b) Löse die Gleichungen (5.2) und (5.5) in parametrischer Form (Parameter = konforme Zeit).
- c) Bebadite  $k=1$  und vergleiche die Lebensdauer des Universums mit der eines materiedominierenden Universums mit derselben Wert  $a_{\max}$  des Skalenfaktors.
- d) Berechne  $\Omega$  und diskutiere die Instabilität von  $\Omega=1$ .

### Teildurchhorizont

Für das Stahlungsdominante Universum ist  $t \propto T^{-2}$ ,  $T \cdot a = \text{const}$ , also  $a \propto t^{1/2}$ . Deshalb ist die Horizontlänge nach (II.5.3)

$$d_H(t) = a(t) \int_0^t \frac{dt'}{a(t')} = t^{1/2} \int_0^t \frac{dt'}{t'^{1/2}}$$

d.h.

$$d_H(t) = 2t.$$

(5.10)

Sehen wir hier (5.8) ein, so kommt

$$d_H(T) = 4.6 \text{ sec} \gamma^{1/2} T_{10}^{-2}. \quad (5.11)$$

Diese Größe bei der Rekombinationstemperatur vergleichen wir wie oben mit dem geodatischen Abstand (3.19) für Größe  $z_R$ ,

$$d(\theta) \simeq \frac{1}{g_0 h_0 z_R} \theta \simeq 3 \times 10^{17} \text{ sec} \frac{1}{g_0 h_0 z_R} \theta. \quad (5.12)$$

Der Winkel  $\theta_H$  ist wieder definiert durch  $d(\theta_H) = 2d_H(z_R)$ . Wir erhalten

$$\theta_H \simeq g_0 h_0 z_R \frac{9.2 \gamma^{1/2} (T_R / 10^{10} \text{ K})^2}{3 \times 10^{17}}.$$

Für  $T_R \simeq 4000 \text{ K}$  ist dies

$$\theta_H \simeq 0.15 \frac{h_0 \Omega_0}{\gamma^{1/2}} \simeq 8.3^\circ \frac{h_0 \Omega_0}{\gamma^{1/2}}. \quad (5.13)$$

Vergleiche dies mit (3.21).

Übungsaufgabe: Welche Auswirkung erhält man an Stelle von (3.6), wenn man (5.11) für die Horizontlänge verwendet?

### Horizontmasse

Wir berechnen nun auch noch die Horizontmasse der Bayonen

$$M_H^B(t) = \frac{\pi \alpha}{3} d_H(t)^3 \underbrace{g_B(t)}_{h_B(t) m_N} m_N \left( \frac{h_B}{s} \right) s. \quad (5.14)$$

Dabei ist  $m_N$  die Nukleonmasse und  $s$  schreibt nun auch die Entropie der Neutrinostrahlung ein:

$$s = \tilde{\gamma} s_{\gamma} = \tilde{\gamma} \frac{4\pi^2}{45} T^3. \quad (5.15)$$

Numerisch \*) ist  $\tilde{\gamma} \approx 2$ . Die Horizontlänge ist nach (5.10) und (5.8)

$$d_H(T) = \gamma^{-1/2} \left( \frac{45}{8\pi^3 G} \right)^{1/2} \frac{1}{T^2}. \quad (5.16)$$

Durch Einsetzen in (5.14) kommt

$$\frac{M_H^B(t)}{m_H} = \frac{4\pi}{3} \left( \frac{45}{\gamma 8\pi^3 G} \right)^{3/2} \frac{1}{T^6} \left( \frac{h_B}{s} \right) \tilde{\gamma} \frac{4\pi^2}{45} T^3.$$

Vom Beobachten wir die 1. Zeile in (5.8), sowie

$$\frac{h_B}{s} \approx \frac{1}{7} \frac{h_B}{u_\gamma} = 0.41 \times 10^{-8} (h_0^2 \Omega_{B0})$$

und finden

$$\boxed{M_H^B(t) \approx 0.8 M_0 \frac{\tilde{\gamma}}{\gamma^{3/4}} t^{3/2} (h_0^2 \Omega_{B0})}. \quad (5.17)$$

Übungsaufgabe: Reproduziere das Ergebnis (5.17). Wie gross ist die Horizontmasse zur Zeit der Rekombination?

Für die gesamte Horizontmasse erhalten wir mit (5.7)

$$M_H(t) = \frac{4\pi}{3} d_H(t)^3 \rho = (t/t_{Pl}) m_{Pl},$$

wenn  $t_{Pl} = 1/m_{Pl}$  die Plandzeit ist,  $t_{Pl} = 5.4 \times 10^{-44}$  sec.  
(Für  $t = t_{Pl}$  wäre also die Horizontmasse gleich der Plandmasse  
 $m_{Pl} = 1.22 \times 10^{19}$  GeV  $\approx 10^{-5}$  g!)

\*) Nach § IV.3 ist für drei Neutrinoarten

$$\tilde{\gamma} = 1 + 3 \times \frac{7}{8} \times \frac{4}{11}.$$

## 6. Bewegung der Galaxis durch den Strahlungsuntergrund

Die Hintergrundstrahlung ist eine Art moderner "Äther", durch welchen wir uns mit messbarer Geschwindigkeit bewegen.

Zur näheren Erläuterung beginnen wir mit ein paar speziell-relativistischen Bemerkungen, die hier (und auch anderswo) unzulässig sind.

(i) Das Phasenraum-Volumen  $d^3x d^3p$  ist lorenz-invariant. Beweis: Das Mass  $d^3p/zp^0$  ist bekanntlich lorenz-invariant. Multiplizieren wir außerdem das 4-dim. invariante Volumen  $d^3x dx^0$  mit  $u^0/u^0$ , wo  $u^0$  ein sen. Geschwindigkeitsfeld ist, so ergibt sich

$$d^4x = u^0 d^3x \frac{dx^0}{dx^0/ds} = u^0 d^3x ds.$$

Deshalb ist auch  $u^0 d^3x$  lorenz-invariant. Aus diesen beiden Bemerkungen folgt die Behauptung.  $\square$

(ii) Ist deshalb die Verteilungsfunktion  $f(x, p)$  so normiert, dass  $f(x, p) d^3x d^3p$  die Zahl der Teilchen (in unserem Fall der Photonen) im Gebiet  $[(x, p), (x+dx, p+dp)]$  ist, so ist  $f(x, p)$  lorenz-invariant.

(iii) Für Photonen ist die Intensität mit der üblichen Normierung von  $f$  ( $u := \underline{k}$ ):

$$I(\omega, \underline{n}) dw d\Omega_n = \omega \cdot \frac{2}{(2\pi)^3} f(x, \underline{k}) d^3k =$$

d.h.

$$\frac{2}{(2\pi)^3} f \omega^3 dw d\Omega_n,$$

$$\boxed{I(\omega) = \frac{2}{(2\pi)^3} f \omega^3}.$$

(6.1)

Deshalb ist  $I(\omega)/\omega^3$  invariant. Für thermische Gleichgewichtsstrahlung ist

$$f(\omega) = \frac{1}{e^{\omega/T} - 1} \quad (6.2)$$

Wir sehen daraus, dass auch ein bewegter Beobachter in allen Richtungen ein Planck'sches Strahlungsgesetz sieht, wobei aber die Temperatur durch Dopplerverschiebung richtungsabhängig ist:

$$T(\theta) = \frac{T_0}{\gamma(1 - v \cos \theta)} \quad (6.3)$$

Dabei ist  $v$  die Geschwindigkeit des Beobachters relativ zum ausgezeichneten RuheSystem, in welchem die Strahlung mit der Temperatur  $T_0$  isotrop ist, und  $\theta$  ist seine Beobachtungsrichtung. (Leite (6.3) mit Hilfe geeigneter Invarianten her.) Für  $v \ll c$  haben wir

$$T(\theta) \approx T_0 (1 + v \cos \theta) \quad (6.4)$$

E6.1 Diese Dopplerauswölbung konnte sehr genau beobachtet werden (siehe Fig. I.1). Es stellte sich heraus, dass wir mit etwa 630 km/s durch den Mikrowellen-Hintergrund rasen. Die Richtung des Geschwindigkeitsvektors ist in Fig. 4 gezeigt. Dabei wurde die Virgo-Zentrale Einfallsgeschwindigkeit von Tammann und Sandage\*) zugrunde gelegt. Dann bleibt für den Virgo-Komplex, inklusive Lokale Gruppe, eine Geschwindigkeit von etwa 500 km/s in Richtung zum

---

\*) G.A. Tammann, A. Sandage, Ap. J. 294, 81 (1985)

Hydra-Centaurus-Supercluster (Hubble-Geschwindigkeit  
 $\approx 3000 \text{ km/s}$ ).

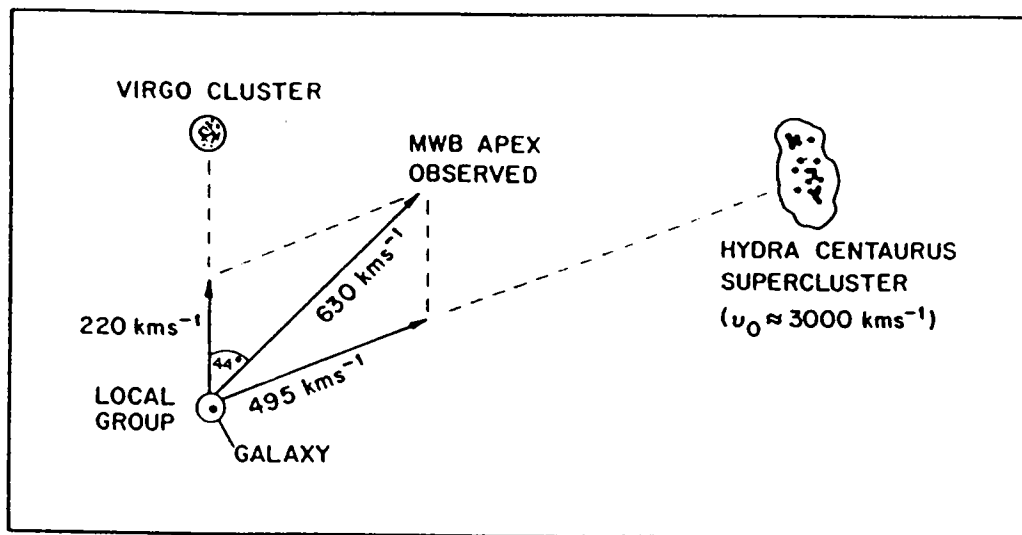


Fig. III. 4. Zerlegung des Geschwindigkeitsvektors der Galaxis relativ zur Hintergrundsbildung (nach Tammann u. Sandage)

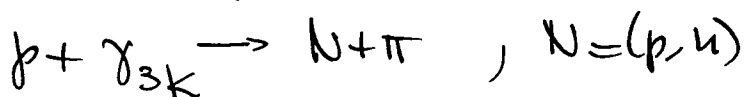
### Übungsaufgaben:

- 1) Berechne die Schwellenergie kohärenzgekoppelten kosmischen  $\gamma$ -Quanten für die Reaktion



und zeige, dass die mittlere freie Weglänge kürzer ist als der Durchmesser der Galaxis

- 2) Löse die entsprechende Aufgabe für

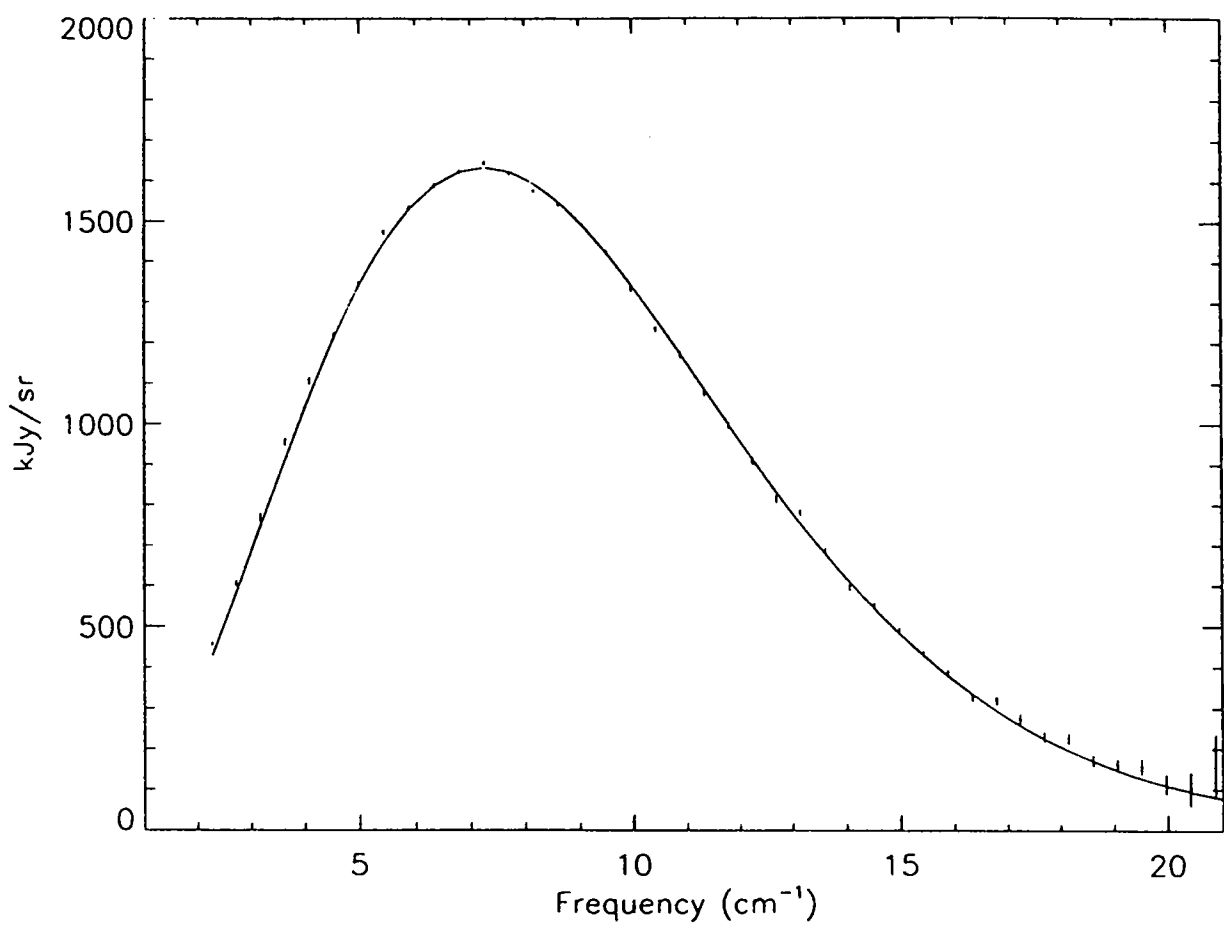


und zeige, dass die mittlere freie Weglänge vergleichbar mit dem Abstand zum Virgokluster ist. Was würde man für das kohärenzgekoppelte kosmische p-Spektrum erwarten. Für experimentelle Daten siehe: PRL 54, 1875 (1985).

E.6.1

## Dipolspektrum

Der neueste Fit der COBE-Daten (Ap. J. 423, 576 (1996) für das Dipolspektrum an die Ableitung  $d\mathbf{B}/dT$  der Planck-Verteilung ist ebenfalls erstaunlich gut, wie die nachstehende Figur zeigt. Die vertikalen Balken entsprechen 1 $\sigma$ -Unsicherheiten. Die Dipolrichtung ist  $(l, b) = (264^\circ.14 \pm 0.30^\circ, 48^\circ.26 \pm 0.30^\circ)$  und die Amplitude beträgt  $3.372 \pm 0.014$  mK.



## 7. Intergalaktische Materie

Es ist nicht zu erwarten, dass bei der Galaxienentstehung sämtliche Atome des ursprünglichen Mediums aufgebaut und in Galaxien gebunden wurden. Die Suche nach intergalaktischem Gas ist eine wichtige kosmologische Aufgabe, könnte es doch sein, dass dieses einen wesentlichen Teil zur mittleren Dichte beibragt, oder gar dominant ist. Dabei wird man natürlich in erster Linie nach Wasserstoff suchen. Je Abhängigkeit von den physikalischen Bedingungen kann sich das Gas in neutralen oder ionisiertem Zustand befinden.

### 7.1 Suche nach neutralen Wasserstoff

Wir beginnen mit der Abschätzung der möglichen Fenge an neutralen Wasserstoff. Dieser müsste zu Absorptionseffekten der Strahlung von entfernten Lichtquellen führen. Beobachtet wird z.B. Licht von einem entfernten Quasar. Der Teil der Strahlung, deren Wellenlängen etwas kürzer sind als Ly $\alpha$ , wird aufgrund der Rotverschiebung auf dem Wege zu uns durch die Ly $\alpha$ -Linie verschoben und dabei absorbiert. Wir erwarten deshalb, dass die Absorptionslinie bei 1216 Å zu einer Mulde  $[\lambda_{\alpha}, (1+z)\lambda_{\alpha}]$  verbreitert wird. Diesbezügliche Beobachtungen wollen wir nun quantitativ analysieren.

#### A. Emissions- und Absorptionseffekte von diskreten Übergängen

(Wir legen zunächst die theoretische Grundlage für die anschließende Analyse. Ausgangspunkt sind die folgenden

allgemeinen Formeln für den Strahlungsaustausch, welche im Anhang E abgeleitet werden.

Die grundlegende Gleichung für die Änderung der Intensität  $I(x, \underline{k}, t) = I(x, \omega, \underline{n}, t)$ ,  $\underline{n} = \underline{k}$ ,  $\omega = |\underline{k}|$ , lautet mit  $D_t := \partial_t + \underline{n} \cdot \nabla_x$

$$D_t I = -\alpha(\omega) I + j(\omega). \quad (7.1)$$

Hier ist  $j(\omega)$  die Emissionsrate (Emissionskoeffizient), d.h.  $j(\omega) d\omega d\Omega$  ist die spontane Energiemissionrate pro Volumeneinheit im Intervall  $(\omega, \omega + d\omega)$  und im Raumwinkel  $d\Omega$  um  $\underline{n}$ . (Die Argumente  $x, t, \underline{n}$  werden oft unterdrückt.) Ferner ist  $\alpha(\omega)$  der Absorptionskoeffizient, was heisst, dass  $\alpha(\omega) I d\omega d\Omega$  die Energie pro Volumen- und Zeiteinheit ist, welche aus einer Stahl der Intensität  $I(\omega)$  absorbiert wird.

Die Größe  $\alpha(\omega)$  hat Beiträge von wirklicher Absorption und induzierter Emission:

$$\alpha(\omega) = \lambda(\omega) - \tilde{\Gamma}(\omega). \quad (7.2)$$

wirkliche Absorption      induzierte Emission

Nach Einstein gilt die folgende Beziehung zwischen  $\tilde{\Gamma}(\omega)$  und  $j(\omega)$  (vgl. Anhang E):

$$\frac{j(\omega)}{\tilde{\Gamma}(\omega)} = \frac{2\omega^3}{(2\pi)^3}. \quad (7.3)$$

Ist die Materie in lokalem thermischen Gleichgewicht (LTE),

so gilt ebenfalls nach Einstein

$$\frac{j(\omega)}{\Lambda(\omega)} = \frac{2\omega^3}{(2\pi)^3} e^{-\omega/T}. \quad (7.4)$$

Es genügt dann also, eine der drei Größen  $\Lambda(\omega)$ ,  $T(\omega)$  und  $j(\omega)$  zu kennen. Insbesondere folgt das Kirchhoff'sche Gesetz:

$$\frac{j(\omega)}{\alpha(\omega)} = \frac{1}{(2\pi)^3} \frac{2\omega^3}{e^{\omega/T}-1} = B_\omega(T). \quad (7.5)$$

Teuer gilt

$$\alpha(\omega) = \Lambda(\omega)(1 - e^{-\omega/T}). \quad (7.6)$$

Ist das lokale Gleichgewicht nicht etabliert, so gilt an Stelle von (7.4) und (7.5) folgendes für zwei Zustände  $\alpha$  und  $\beta$  eines Atoms (Moleküls) mit Energien  $E_\alpha$ ,  $E_\beta$  und Anzahldichten  $n_\alpha, n_\beta$  ( $E_\alpha > E_\beta$ ):

$$\frac{j(\omega)}{\Lambda(\omega)} = \frac{2\omega^3}{(2\pi)^3} \frac{n_\alpha/g_\alpha}{n_\beta/g_\beta}, \quad (7.4')$$

$$\frac{j(\omega)}{\alpha(\omega)} = \frac{1}{(2\pi)^3} \frac{2\omega^3}{\frac{n_\beta/g_\beta}{n_\alpha/g_\alpha} - 1}. \quad (7.5')$$

In einem expandierenden Universum hat man als Verallgemeinerung von (II.7.6)

$$\boxed{\frac{d}{dt} I(\omega(t), t) = - \frac{3\dot{a}}{a} I(\omega(t), t) + j(\omega(t), t) - \alpha(\omega(t), t) I(\omega(t), t)}, \quad (7.2)$$

Für die Strahlungsintensität von diskreten entfernten Quellen können wir dabei den Emissionsstrom  $j$  weglassen, da

dieser zum isobopen Hintergrund beibehält. Dann lautet die Lösung dieser Gleichung

$$I(\omega_0, t_0) = I(\omega_1, t_1) \left( \frac{a(t_1)}{a(t_0)} \right)^3 e^{-\tau(\omega_0)}, \quad (7.8)$$

wo  $\tau(\omega_0)$  die optische Tiefe

$$\tau(\omega_0) = \int_{t_1}^{t_0} \alpha(\omega(t), t) dt \quad (7.9)$$

ist ( $\omega(t_0) = \omega_0$ ).

Rückt  $\alpha(\omega)$  von einer diskreten Linie mit Absorptionsfrequenz  $\omega_a$  her, so erhält die optische Tiefe bei der beobachteten Frequenz  $\omega_0$  nur Beibag, wenn  $\omega_0$  im Intervall

$$\frac{\omega_a}{1+z} \leq \omega_0 \leq \omega_a \quad (7.10)$$

liegt, wobei  $z$  die Rotverschiebung der Quelle ist ( $1+z = a(t_0)/a(t_1)$ ).

Wir berechnen im folgenden  $\tau(\omega)$  für verschiedene Absorptionslinien. Ferner interessieren wir uns für ihren Beibag zum allgemeinen Hintergrund. Dann müssen wir die volle Gleichung (7.7) lösen. Auf bekannte Weise (Variation der Konstanten) erhalten wir die folgende Lösung, wenn wir noch die Einstein-Besiedlung (7.3) benutzen:

$$I(\omega(t), t) = \frac{a(t_1)}{a(t)} \exp \left( - \int_{t_1}^t \alpha(\omega(t'), t') dt' \right) I(\omega(t_1), t_1) + \frac{2c(t)^3}{(2\pi)^3} \int_{t_1}^t dt' \tilde{\Gamma}(\omega(t'), t') \exp \left( - \int_{t'}^t \alpha(\omega(t''), t'') dt'' \right). \quad (7.11)$$

Dann ist  $t_1$  beliebig. Der erste Term gibt wie in (7.8)

die verbleibende Intensität vom Anteil, der zu Zeit  $t_1$  bereis vorhanden war. Der zweite Term ist proportional zu  $j$  und entspricht den Photonen, die seit  $t_1$  hereingekommen sind.

Wir wählen nun für  $t$  den gegenwärtigen Zeitpunkt und für  $t_1$  eine so frühe Zeit, dass der ganze Hintergrund im Wesentlichen seither erzeugt wurde. Dann erhalten wir aus (7.11) ( $\omega(t_0) = \omega_0$ ):

$$I(\omega_0) = \frac{2\omega_0^3}{(2\pi)^3} \int_{t_1}^{t_0} \tilde{\Gamma}(\omega(t), t) \exp\left(-\int_t^{t_0} \alpha(\omega(t'), t') dt'\right) dt. \quad (7.12)$$

Da wir für das Medium lokales thermisches Gleichgewicht annehmen, so ist nach (7.3) und (7.4)

$$\tilde{\Gamma}(\omega)/\Lambda(\omega) = e^{-\omega/T}.$$

Setzen wir auch noch (7.6), so ergibt sich

$$I(\omega_0) = \frac{2\omega_0^3}{(2\pi)^3} \int_{t_1}^{t_0} dt \Lambda(\omega(t), t) e^{-\omega(t)/T(t)} \times \\ * \exp\left\{-\int_t^{t_0} \Lambda(\omega(t'), t') \left[1 - e^{-\omega(t')/T(t')}\right] dt'\right\}. \quad (7.13)$$

Die optische Tiefe (7.9) ist dann

$$\tau(\omega_0) = \int_{t_1}^{t_0} \Lambda(\omega(t), t) \left[1 - e^{-\omega(t)/T(t)}\right] dt. \quad (7.14)$$

Streuung wurde bis jetzt vernachlässigt. Diese lässt sich in  $\tau$  leicht berücksichtigen. Ändert bei der Streuung die Frequenz — wie im Falle der Thomson Streuung — nicht,

so hat diese keinen Einfluss auf den isobopen Hintergrund. (Näheres dazu wird im Anhang E ausgeführt.)

Ruhet  $\Lambda(\omega)$  von einem diskreten Übergang zwischen zwei Zuständen  $\alpha$  und  $\beta$  mit der Frequenz  $\omega_\alpha$  her, so können wir die Ausdrücke (7.13) und (7.14) weiter ausweiten. Wir seien (vgl. Fig. 5):

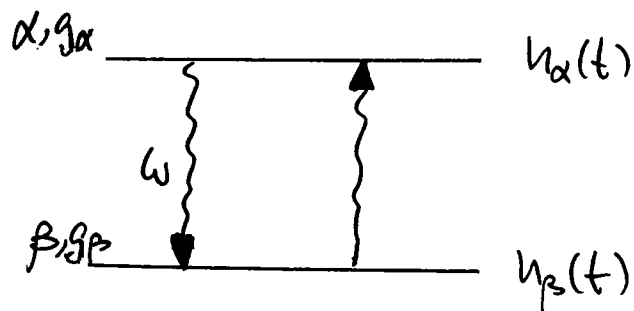


Fig. III.5

$$\Lambda(\omega, t) = n_\beta(t) \sigma_a(\omega),$$

wo  $n_\beta(t)$  die Zahl der Atome zur konkreten Zeit  $t$  im unteren Zustand  $\beta$  ist, und  $\sigma_a(\omega)$  den Absorptionsquerschnitt mit einer scharfen Spurke bei  $\omega_\alpha$  bezeichnet.

Ist  $\Gamma(\alpha \rightarrow \beta)$  die Übergangsrate für den Strahlungszerfall von  $\alpha$  nach  $\beta$ , so folgt aus (7.4')

$$\frac{\Gamma(\alpha \rightarrow \beta)}{\int \sigma_a(\omega) d\omega} = 4\pi \frac{2\omega^2}{(2\alpha)^3} \frac{g_\beta}{g_\alpha} \quad (7.15)$$

( $j(\omega)/\omega$  ist pro Raumwinkel gemessen, deshalb der zusätzliche Faktor  $4\pi$ ).

---

Übungsaufgabe: Leite die Beziehung (7.15) direkt aus der T-Invarianz ab.

---

Damit haben wir

$$\boxed{N(\omega, t) = n_\beta(t) \Gamma(\alpha \rightarrow \beta) \frac{\pi^2}{\omega^2} \frac{g_\alpha}{g_\beta} \delta(\omega - \omega_a). \quad (7.16)}$$

Führen wir eine Spintemperatur  $T_s(t)$  ein und

$$\frac{n_\alpha/g_\alpha}{n_\beta/g_\beta} = e^{-\omega_a/T_s}, \quad (7.17)$$

so gilt ( $n := n_\alpha + n_\beta$ ):

$$n_\alpha = \frac{(g_\alpha/g_\beta) e^{-\omega_a/T_s}}{1 + (g_\alpha/g_\beta) e^{-\omega_a/T_s}} \cdot n, \quad (7.18)$$

$$n_\beta = \frac{1}{1 + (g_\alpha/g_\beta) e^{-\omega_a/T_s}} \cdot n$$

und

$$N(\omega, t) = n(t) \frac{g_\alpha/g_\beta}{1 + (g_\alpha/g_\beta) e^{-\omega_a/T_s}} \Gamma(\alpha \rightarrow \beta) \frac{\pi^2}{\omega_a^2} \delta(\omega - \omega_a). \quad (7.19)$$

Im Integral (7.14) für die optische Tiefe gibt es nur Beiträge für  $t$  in der Nähe von  $t_a$ , mit  $\omega(t_a) = \omega_a$  [ $\omega(t_0) = \omega_0$ ]; also setzt man (7.19)

$$T(\omega_0) \simeq n(t_a) \left(1 - e^{-\omega_a/T_s}\right) \frac{g_\alpha/g_\beta}{1 + (g_\alpha/g_\beta) e^{-\omega_a/T_s}} \Gamma(\alpha \rightarrow \beta) \frac{\pi^2}{\omega_a^2} \\ \times \int \delta(\omega(t) - \omega_a) dt.$$

Da  $\omega(t) = \omega_0 a(t)/a_0$ , ist das letzte Integral gleich  $\frac{1}{H(t_a)} \frac{1}{\omega_a}$  ( $H(t)$ : Hubble-Parameter) und folglich haben wir

$$\pi(\omega_0) = h(t_a) \left(1 - e^{-\omega_a/T_s(t_a)}\right) \frac{1}{1 + (g_\alpha/g_\beta) e^{-\omega_a/T_s(t_a)}} \frac{1}{H(t_a)} \\ \times \frac{(g_\alpha/g_\beta) \pi^2 \Gamma(\alpha \rightarrow \beta)}{\omega_a^3} \quad (7.20)$$

$\left[ \omega_0 \frac{\alpha(t_a)}{\alpha_0} = \omega_a \right]$ . Nach (7.15) gilt

$$I_a := \frac{1}{\omega_a} \int \Gamma_a(\omega) d\omega = \frac{\pi^2 \Gamma(\alpha \rightarrow \beta)}{\omega_a^3} \cdot \frac{g_\alpha}{g_\beta}. \quad (7.21)$$

Deshalb gilt auch

$$\pi(\omega_0) = h(t_a) \left(1 - e^{-\omega_a/T_s(t_a)}\right) \frac{1}{1 + (g_\alpha/g_\beta) e^{-\omega_a/T_s(t_a)}} \frac{I_a}{H(t_a)}. \quad (7.22)$$

Nach (II.7.10) gilt

$$H(t_a) = H_0 \left( \frac{\omega_a}{\omega_0} \right) \left[ 1 - \Omega_0 + \Omega_0 \frac{\omega_a}{\omega_0} \right]^{1/2}.$$

Somit ergibt sich schliesslich

$$\boxed{\pi(\omega_0) = \frac{\omega_0 h(t_a) I_a}{\omega_a H_0} \left[ 1 - e^{-\omega_a/T_s(t_a)} \right] \frac{1}{1 + (g_\alpha/g_\beta) e^{-\omega_a/T_s(t_a)}} \\ \cdot \left[ 1 - \Omega_0 + \Omega_0 \frac{\omega_a}{\omega_0} \right]^{-1/2},} \\ \text{für } \frac{\omega_a}{1+z} \leq \omega_0 \leq \omega_a. \quad (7.23)$$

Dies ist die optische Tiefe der erwarteten Absorptionswelle.

Gerade oberhalb  $\omega_a/(1+z)$  springt diese von Null auf

$$\pi\left(\frac{\omega_a}{1+z} +\right) = \frac{h(t_1) I_a}{H_0(1+z)} \frac{1 - e^{-\omega_a/T_s(t_1)}}{1 + (g_\alpha/g_\beta) e^{-\omega_a/T_s(t_1)}} \left[ 1 + \Omega_0 z \right]^{-1/2}, \quad (7.24)$$

variiert dann langsam bis gerade unterhalb  $\omega_a$ , wo sie

den Wert

$$\tau(\omega_a-) = \frac{h(t_0) I_a}{H_0} \frac{1 - e^{-\omega_a/T_s(t_0)}}{1 + (g_\alpha/g_\beta) e^{-\omega_a/T_s(t_0)}} \quad (7.25)$$

annimmt und anschließend rasch auf Null abfällt.

Nun wollen wir noch den isotopen Hintergrund (7.13) aus. Die Emissionskurve des Mediums bei der Frequenz  $\omega_a$  führt zu rotverschobener Strahlung bei Frequenzen  $\omega < \omega_a$ . Der Exponentenhalbfaktor mit der  $t'$ -Integration, der die Absorption in Reduktion stellt, ist deshalb gleich Eins und wir erhalten genau wie bei der Ausweitung von (7.14)

$$I(\omega_0) = \frac{2\omega_0^4}{(2\pi)^3} \frac{h(t_a) I_a}{\omega_a H_0} \frac{e^{-\omega_a/T_s(t_a)}}{1 + (g_\alpha/g_\beta) e^{-\omega_a/T_s(t_a)}} \left[ 1 - \Omega_0 + \Omega_0 \frac{\omega_a}{\omega_0} \right]^{-1/2}. \quad (7.26)$$

Dies variiert langsam bis zu  $\omega_a-, \omega_0$

$$I(\omega_a-) = \frac{2\omega_a^3}{(2\pi)^3} \frac{h(t_0) I_a}{H_0} \frac{e^{-\omega_a/T_s(t_0)}}{1 + (g_\alpha/g_\beta) e^{-\omega_a/T_s(t_0)}}, \quad (7.27)$$

und danach fällt die Intensität rasch auf Null ab.

Wir nehmen im folgenden an, dass die Atome, welche bei der Frequenz  $\omega_a$  emittieren und absorbieren, von der Zeit  $t_a$  bis  $t_0$  weder erzeugt noch zerstört werden; insbesondere gilt dann

$$\frac{u(t_a)}{u(t_0)} = \left( \frac{\omega_a}{\omega_0} \right)^3. \quad (7.28)$$

Speziell für  $\omega_a = \omega_0(1+z)$  und  $t_a = t_1$ , also

$$u(t_1) = u(t_0)(1+z)^3. \quad (7.29)$$

### B. Hyperfeinübergang von neutralem Wasserstoff

Dies ist der berühmte 21 cm - Übergang mit der Frequenz  $\nu_a = 1420 \text{ MHz}$ , entsprechend der Temperatur  $\hbar \nu_a / k = 0.068 \text{ K}$ , welche Wirkswahrscheinlichkeit wesentlich kleiner ist als die Spintemperatur von intergalaktischem Wasserstoff:  $\omega_a / T_s \ll 1$ .

Nach (7.21) gilt ( $g_\alpha = 3, g_\beta = 1$ )

$$I_a = \frac{3\pi^2 \Gamma}{\omega_a^3} = \frac{3}{8\pi} \left( \frac{\Gamma}{\nu_a^2} \right) \left( \frac{c}{\nu_a} \right)^2. \quad (7.30)$$

Die Zerfallsrate  $\tau_{81}^{*})$

$$\Gamma = \frac{4}{3} \frac{\mu_0 \omega_a^3}{hc^3} = 2.85 \times 10^{-15} \text{ s}^{-1}, \quad (7.31)$$

Also

$$\frac{1}{4} I_a = 2.7 \times 10^{-23} \text{ au}^2 \quad (7.32)$$

Als Beispiel betrachten wir die starke Radiogalaxie Cygnus A. Da ihre Rotverschiebung  $z = 0.056$  bekannt liegt, liegt der erwartete Absorptionsbereich zwischen 1340 und 1420 MHz. Dieser ist so eng, dass wir für seine Tiefe den Wert  $\tau(\omega_a^-)$ , Gl. (7.25), verwenden dürfen. Danach gilt

$$\tau_a(\omega_a^-) \simeq \frac{n_{\text{HI}}(t_0) I_a}{H_0} \frac{1}{4} \frac{\omega_a}{T_s(t_0)}$$

Oder mit (7.32)

$$\frac{n_{\text{HI}}(t_0)}{T_s(t_0)} \simeq \frac{H_0 \tau}{\omega_a I_a / 4} \simeq 5.9 \times 10^{-5} \tau h_0 \text{ au}^{-3} \text{ deg}^{-1}. \quad (7.33)$$

\* Siehe dazu: QM II-Skript, Kap. X, oder Landau-Lifschitz, Bd. 4, Kap. V.

Beobachtungen<sup>1)</sup> zeigen keinen Absorptionskog und führen zw Schranke  $T < 5 \times 10^{-4}$ , woraus nach (7.33) folgt

$$\frac{u_{HI}(t_0)}{T_s(t_0)} \leq 3.1 \times 10^{-8} h_0 \text{ cm}^{-3} \text{ deg}^{-1}.$$

Es ist vernünftig anzunehmen, dass  $T_s$  etwa 2.7 K sein sollte<sup>2)</sup>. Dann ergibt sich

$$u_{HI}(t_0) \leq 9 \times 10^{-8} h_0 \text{ cm}^{-3}. \quad (7.34)$$

Dies muss man mit der kritischen Nukleonenzahl (II.1.6),  $u_c = 1.12 \times 10^{-5} h_0^2 \text{ cm}^{-3}$  vergleichen,

$$Q_{HI} \leq 2.7 \times 10^{-3} T_s h_0^{-1}. \quad (7.35)$$

Grundsätzlich müsste man auch den Sprung (7.27) in der Trikotwellenabschaltung gerade unterhalb 1420 MHz sehen:

$$\Delta I = \frac{2\omega_a^3}{(2\pi)^3} \frac{u_{HI}(t_0) (I_a/4)}{h_0}. \quad (7.36)$$

Messungen der Hintergrundstrahlung werden üblicherweise durch die AntennenTemperatur  $T_A$  ausgedrückt, welche durch die Rayleigh-Jeans Beziehung

$$I(\omega) = : \frac{2\omega^2}{(2\pi)^3} T_A \quad (7.37)$$

definiert ist. Darauf lässt sich (7.36) wie folgt durch den

1) A.A. Penzias, E.H. Scott, Ap.J. 153, L7 (1968).

\*) Näheres dazu findet man in [P1, §.51].

Sprung  $\Delta T_A$  in der Antennentemperatur ausdrücken:

$$n_{\text{HI}}(t_0) = \frac{H_0}{w_a(I_a/4)} \Delta T_A = 5.9 \times 10^{-3} \text{ cm}^{-3} \left( \frac{\Delta T_A}{1 \text{ K}} \right) h_0. \quad (7.38)$$

Petties und Wilson<sup>2)</sup> fanden  $\Delta T_A < 0.08 \text{ K}$ , weshalb unab-  
hängig von der Spurtemperatur  $T_s$ ,

$$n_{\text{HI}}(t_0) < (4 \times 10^{-6} \text{ cm}^{-3}) h_0, \quad (7.39)$$

oder

$$\Omega_{\text{HI}} < 0.35 \text{ h}_0^{-1}, \quad (7.40)$$

was nicht sehr einschärfend ist.

### C. Lyman- $\alpha$ -Absorption

Dafür haben die Beobachtungen viel schärfere Schranken geliefert. Die Lyman- $\alpha$  Linie liegt im Ultravioletten ( $\lambda = 1215 \text{ Å}$ ) und würde die Erdatmosphäre nicht durchdringen. Für Rotverschiebungen  $1.5 < z < 6$  wird diese aber in den sichtbaren Bereich verschoben ( $3000 - 7000 \text{ Å}$ ) und kann deshalb auf der Erdoberfläche beobachtet werden. Deshalb kamen Gunn u. Peterson 1965 (damals noch Studenten am Cal Tech) auf die Idee, nach Absorptionsstreifen von Quasaren mit  $z > 1.5$  im Emissionspektrum oberhalb Lyman- $\alpha$  Aussagen zu treffen.

Dieser Gunn-Peterson-Test für intergalaktisches neutralisches Gas ist deshalb gegenüber der 21 cm Emission besonders sensibel, weil einmal  $w_a/T \gg 1$  ist ( $h_2/k =$

2) A.A. Petties, R.W. Wilson, Ap.J. 156, 795 (1969).

118'000 K) und außerdem die Größe  $I_a$  viel grösser ist. Da  $g_\alpha = 3$ ,  $g_p = 1$ , ist wieder

$$I_a = \frac{3}{8\pi} \frac{\Gamma}{\gamma_a^2} \left( \frac{c}{\gamma_a} \right)^2,$$

aber diesmal ist (siehe OH II-Skript)

$$\Gamma = 6.25 \times 10^8 \text{ s}^{-1}.$$

Mit  $\gamma_a = 2.47 \times 10^{15}$  Hz findet man

$$I_a = 4.5 \times 10^{-18} \text{ cm}^2. \quad (7.41)$$

Interessant ist nun vor allem die Größe  $\tau \left( \frac{\omega_a}{1+z} + \right)$  in (7.24), denn Quasarspektren zeigen oft Lyman- $\alpha$  als Emissionslinie; deshalb müsste der blaue Flügel dieser Linie durch intergalaktisches neutralen Wasserstoffgas abgeschwächt sein. Aus (7.24) bekommen wir jetzt

$$\begin{aligned} \tau \left( \frac{\omega_a}{1+z} + \right) &= \frac{n_{HI}(t_1) I_a}{H_0 (1+z)} \frac{1}{\sqrt{1+\Omega_0 z}} \\ &= \frac{4.1 \times 10^{10}}{(1+z) \sqrt{1+\Omega_0 z}} \left( \frac{n_{HI}(t_1)}{1 \text{ cm}^{-3}} \right) h_0^{-1}. \end{aligned} \quad (7.42)$$

In dieser Formel erscheint  $n_{HI}$  zu Zeit der Emission !!

Messungen verschiedener Autoren<sup>3)</sup> zeigten keine Abschwächung des blauen Flügels von 3C9 ( $z = 2.012$ ), im Sinne, dass  $\tau < 0.05$ . Setzt man in (7.42)  $\Omega_0 = 1$ , so

<sup>3)</sup> Siehe z.B.: J.B. Oke, Ap. J. 145, 668 (1966).

J.E. Gunn, B.A. Peterson, Ap. J. 142, 1633 (1965).

bedeutet dies

$$n_{\text{HI}}(z \approx 2) < 6.3 \times 10^{-12} \text{ cm}^{-3}. \quad (7.43)$$

Falls  $n_{\text{HI}}(t_1) = (1+z)^3 n_{\text{HI}}(t_0)$  ist, so folgt daraus

$$\Omega_{\text{HI}} < 2.1 \times 10^{-8} \text{ h}_0^{-1}, \quad (7.44)$$

eine unglaublich tiefe Sichtbarke. Sogar für  $T < 1$  Ef ~~lose~~ noch ausserordentlich schwach.

Der blaue Flügel der  $L_\alpha$ -linie kann natürlich nur von Gas in der Nähe der Quelle absorbiert werden. Nun könnte es sein, dass dort das Gas ionisiert ist. Man hat aber auch bei kurzen Wellenlängen keine Absorptionseffekte gesehen.

Analoge Überlegungen und Untersuchungen sind auch auf den molekularen Wasserstoff angewandt worden, mit dem Resultat, dass auch die Dichte des molekularen Wasserstoffs im intergalaktischen Gas im Vergleich zu  $\rho_c$  vernachlässigbar ist.

Nachtrag: Insofern ist der Gunn-Peterson-Effekt für  $z > 6$  ungenutzt

7.2 Sichtbare nach intergalaktischem Plasma

siehe astro-ph/0303476

Aufgrund der vorangegangenen Ergebnisse müssen wir zum Schluss kommen, dass das intergalaktische Gas ionisiert ist, denn es ist ja nicht anzunehmen, dass bei der Galaxienentstehung sämtliche Atome aufgebrannt wurden. Zur Aufheizung <sup>stehen</sup> ~~stehen~~ jedoch Entwicklungsphasen vermutlich eine Reihe von energisch austreibenden Quellen zur Verfügung. Wir haben bereits gesehen (p. 149), dass ein intergalaktisches Plasma nur

sehr langsam abkühlt, da die Bremsstrahlung kein sehr wirksamer Kühlungsmechanismus für ein extrem dünnes Plasma ist.

Zunächst stellt sich die Frage, wie hoch die Temperatur sein muss, damit das intergalaktische Gas stark ionisiert ist. Dafür kann man die Saha-Formel nicht anwenden, da kein Gleichgewicht mit einer schwarzen Strahlung vorliegt. Vielmehr erfolgt die Ionisierung praktisch ausschließlich durch Elektronenstöße, während die Rekombination mit der Emission von Photonen verbunden ist. Eine genauere Untersuchung verläuft folgendermassen.

Die Zahl der Atome (pro Volumeneinheit gemessen), die pro Zeiteinheit durch e- Stöße ionisiert werden, ist gleich  $n_e \sum_j n(HI)_j \gamma_{jf}$ , wobei  $\gamma_{jf}$  die Ionisationsrate aus dem Zustand  $j$  des neutralen Wasserstoffatoms ist. Andererseits werden pro Zeiteinheit  $n_e n(HII) \alpha^{(1)}$  neutrale H-Atome gebildet, wenn  $\alpha^{(1)}$  die totale Rekombinationsrate für  $e^- + p \rightarrow H + \gamma$  in irgend einem der gebundenen H-Zustände ist. Im Gleichgewicht gilt

$$n_e \sum_j n(HI)_j \gamma_{jf} = n_e n(HII) \alpha^{(1)}$$

und die Elektronendichte löst sich weg! Bezeichnet  $x$  den Bruchteil der ionisierten H-Atome, so erhalten wir bei Vernachlässigung der Ionisaten aus aufgeregten Zuständen

$$x = \frac{1}{1 + \alpha^{(1)} / \gamma_{1f}} . \quad (7.45)$$

Der Rekombinationskoeffizient  $\alpha^{(1)}$  ist numerisch<sup>4)</sup>

$$\alpha^{(1)} = \frac{2.06 \times 10^{-11}}{T^{1/2}} \phi_1(\beta) \text{ cm}^3 \text{s}^{-1}. \quad (7.46)$$

Dabei ist die Funktion  $\phi_1(\beta)$ ,  $\beta = \frac{13.6 \text{ eV}}{kT} = \frac{158/000}{T}$  im interessanten Bereich etwa gleich eins.<sup>s)</sup> Für die Ionisationsrate  $\gamma_{\text{if}}$  bekommen wir<sup>s)</sup>

$$\gamma_{\text{if}} \approx 7.8 \times 10^{-11} T^{1/2} e^{-158/000/T} \text{ cm}^3 \text{s}^{-1} \quad (7.47)$$

Übungsaufgabe: Begründen (7.47) in Stufe einer großen Schätzung. (Auskunft: Für Elektronenergien  $> 13.6 \text{ eV}$  ist der Ionisationsquerschnitt  $\sim a_0^2$ ,  $a_0 = \text{Bohrscher Radius}$ )

Einsetzen von (7.46) und (7.47) in (7.45) zeigt, dass für  $T \gtrsim 10^5 \text{ K}$  die Ionisation praktisch vollständig ist, aber bei  $T \approx 10^4 \text{ K}$  fast keine Ionisation vorliegt (in Wassen Gegensatz zur Salpeter-Formel).

Ein solches Hochtemperaturplasma ( $T \gtrsim 10^5 \text{ K}$ ) sendet durch Bremsstrahlung ultraviolette und weiße Röntgenstrahlung aus. Es wurde schon lange die Vermutung geäusser, dass der isotrope diffuse Röntgenhintergrund (Ferlowise) von einem intergalaktischen Plasma stammt. Dieser Hintergrund wurde 1962 entdeckt, als Giacconi und seine Mitarbeiter — nach primären Aufängen — einen wesentlich verbesserten Röntgendetektor mit einer kleinen

- 
- 4) L. Spitzer, Physical Processes in the Interstellar Medium, Wiley & Sons, 1978: Gl. (5.14) und Tabelle 52 für  $\phi_1(\beta)$ .
  - 5) K.R. Lang, Astrophysical Formulae, Springer-Verlag 1978 : Gl. (2-95) und Referenzen dazu.

Rakete gerade über die Erdatmosphäre schlossen. Dabei entdeckten sie erstmals eine Quelle außerhalb des Sonnensystems, nämlich die Punktquelle Sco X-1 (ein Röntgendifpelpaar). Da die Rakete während ihres kurzen Auf- und Abstiegs fast um ihre Längsachse rotierte, geriet ein beträchtlicher Teil der Himmelsfläche in ihr Beobachtungsfeld. Dabei registrierte der Detektor während der ganzen Beobachtungszeit oberhalb der Atmosphäre eine gleichbleibende Intensität der Röntgenstrahlung unabhängig von der momentanen Ausrichtung der Rakete. Inzwischen wissen wir, dass dieser Röntgenuntergrund auf Winkelskalen grösser als dem Durchmesser des Vollmondes Ansorptions von Köhlstens  $10^2$  aufweist.

Es ist möglich, den isobaren diffusen Röntgenuntergrund als Bremsstrahlung eines intergalaktischen Plasmas mit  $\Omega_{\text{IGM}} \approx 0.25$ ,  $T \approx 10^8 \text{ K}$  zu reproduzieren, aber eine solche Interpretation ist im Widerspruch zu den geringfügigen Abweichungen des  $\chi^2$ -Spektrums vom idealen Gesetz. Dies wollen wir im folgenden näher begründen.

#### A. Bremsstrahlung des intergalaktischen Plasmas

Wir nehmen an, das intergalaktische Medium (IGM) sei zu einer Zeit  $t_c$  (Rotverschiebung  $z_c$ ) durch Aufheizungsprozesse ionisiert worden. Da die Bremsstrahlung sehr ineffektiv ist, dürfen wir annehmen, dass die Plasmamenge in einem unbliebigen Volumen konstant ist; es gilt also

$$n_e(t) = \left( \frac{a_0}{a(t)} \right)^3 n_{\text{HII}}. \quad (7.49)$$

$\overline{t}$  heutige Zeit

Nach (II.7.7) ist die heute beobachtete Intensitätsverteilung (wir dürfen Selbstabsorption vernachlässigen):

$$I(\nu) = \int_{t_c}^{t_0} \left( \frac{a(t)}{a_0} \right)^3 j(\nu(1+z), t) dt.$$

Dann schreiben wir die t-Integration auf die Rotverschiebung ab. Nach (II.4.1) ist

$$dt = - \frac{1}{H_0(1+z)^2 \sqrt{1+Q_0 z}} dz$$

und folglich

$$I(\nu) = \frac{1}{H_0} \int_0^{z_c} \frac{j(\nu(1+z), z)}{(1+z)^5 \sqrt{1+Q_0 z}} dz. \quad (7.50)$$

Die abgesorbitte Energie pro Volumeneinheit eines heißen Plasmas durch Bremsstrahlung wird im Anhang H ausgedrückt. Nach (H.43) ist die Emissivität als Funktion der Frequenz (nach Division durch  $4\pi$ )

$$j(\nu) = 5 \cdot 4 \times 10^{-39} (\text{erg cm}^{-2} \text{s}^{-1} \text{Hz}^{-1} \text{sr}^{-1}) Z^2 n_e n_i \frac{1}{T^{1/2}} e^{-h\nu/kT} \bar{E}(\nu, T). \quad (7.51)$$

Dabei ist der langwelligeanteil Ganz-Faktor  $\bar{E}$  in der Nähe von 1; wir lassen diesen im folgenden weg. Setzen wir (7.51) in (7.50) ein, so erhalten wir mit (7.49) in Einheiten  $\text{erg cm}^{-2} \text{s}^{-1} \text{sr}^{-1} \text{Hz}^{-1}$

$$\boxed{I(\nu) = 5 \cdot 4 \times 10^{-39} n_{\text{HII}}^2 \frac{1}{H_0} \int_0^{z_c} \frac{1+z}{\sqrt{1+Q_0 z}} \frac{1}{\sqrt{T_e(z)}} \exp\left(-\frac{h\nu}{kT_e(z)}(1+z)\right)}. \quad (7.52)$$

Für die Änderung von  $T_e$  mit  $z$  nehmen wir an, dass sich das Plasma adiabatisch verhält:  $T_e [a(t)^3]^{(\gamma-1)/3} = \text{const.}$  Also ist

$$T_e(z) = T_e (1+z)^{3(\gamma-1)}.$$

In unserem Fall ist  $\gamma = 5/3$ , somit

$$T_e(z) = T_e(1+z)^2,$$

wird aus (7.52) und mit

$$\frac{n_{\text{HII}}}{n_c} = \Omega_{\text{IGM}}, \quad n_c = 1.12 \times 10^{-5} h_0^2 \text{ cm}^{-3}$$

und  $T_8 = T_e/10^8 \text{ K}$ :

$$I(\nu) \simeq 6 \times 10^{-25} (\dots) (\Omega_{\text{IGM}}^2 h_0^3 / T_8^{1/2}) \int_0^{z_c} \frac{1}{\sqrt{1+Q_0 z}} \exp\left(-\frac{h\nu}{k T_e(1+z)}\right) dz. \quad (7.55)$$

Beobachtet wird (Bolt 1982)

$$\overset{\text{beob.}}{I(\nu)} \simeq 3 \times 10^{-26} (\dots) \text{ bei } 3 \text{ keV.} \quad (7.56)$$

für einen ersten großen Vergleich (genauere Resultate folgen) wählen wir  $\Omega_0 = 1$  und lassen den Quanten-Absorptionsfaktor in (7.55) weg:

$$I(\nu) \simeq 4 \times 10^{-25} (\dots) \Omega_{\text{IGM}}^2 h_0^3 / T_8^{1/2}. \quad (7.57)$$

Dies reproduziert (7.56) falls

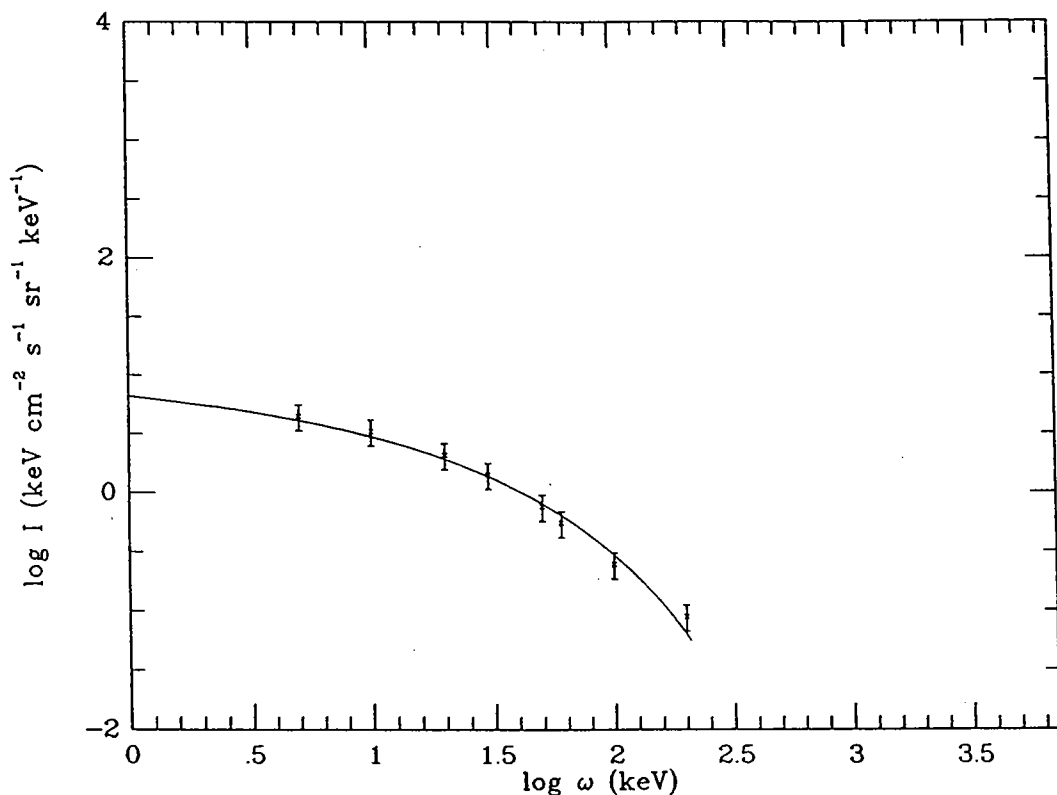
$$\Omega_{\text{IGM}} = 0.3 T_8^{1/4} h_0^{-3/2}. \quad (7.58)$$

Eine genauere Rechnung wurde von Taylor & Wright (ApJ. 339, 619 (89)) durchgeführt (siehe auch die Diplomarbeit von R. Walder). Diese Autoren berücksichtigen auch relativistische Korrekturen (für die Elektronendichte und die Energie der Elektronen) und nehmen zusätzlich den Effekt der Compton-Kühlung (siehe dazu Rybicki & Lightman, §7.2) mit. Fig. III.6 zeigt ihren Fit an die Daten für  $z_c = 5$ ,  $h_0 = \frac{1}{2}$ . Die angepassten Parameter sind

$$T_e = 10.2 \text{ keV}, \quad \Omega_{\text{IGM}} = 0.27. \quad (7.59)$$

Die Abhängigkeit dieser Parameter von  $z_c$  ist in Fig. III.7 gezeigt.

Der hohe Wert für  $\Omega_{\text{IGM}}$  ist natürlich ein Problem (Näheres dazu in Kap. IV). Viel schwieriger ist jedoch, dass die Emission des IGM auf solche hohen Temperaturen eine gigantische Energie erfordert, welche aus durch Aktivitätsphasen von Galaxien schnell freigesetzt werden kann. Diese Energiefreisetzung wird dieses gewisslich falls das IGM gekennzeichnet ist. Wir brauchen aber darauf nicht unbedingt einzugehen, da wir das Szenario durch ein anderes Argument ausschließen können.



III.6

FIG. 2.—The theoretical X-ray spectrum of the IGM fitted for  $z_c = 5$  to eight data points representative of the 40 keV model found to be a good fit to the observed X-ray background by Marshall *et al.* (1980). The best fit parameters are  $T_0 = 10.2$  keV, and  $\Omega_{\text{IGM}} = 0.266$ .

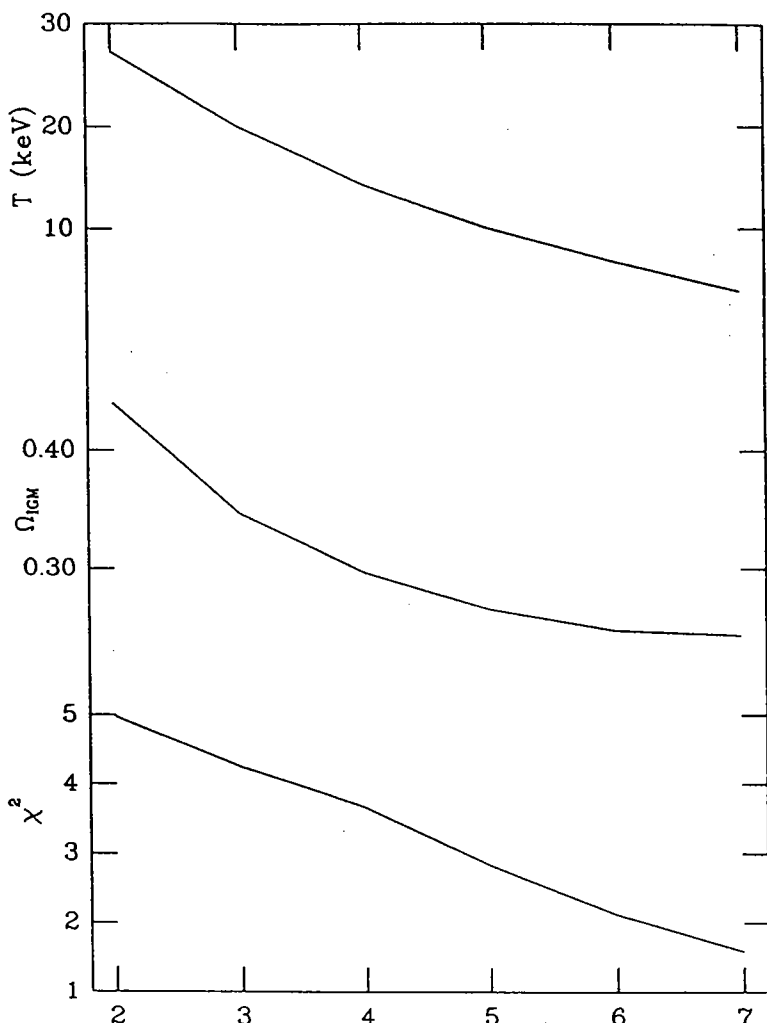


Fig. III.7

### B. Spelkungsverzerrungen des Mikrowellenhintergrunds

Ein heißes Elektronenages führt über Compton-Sreuung zu einer Verzerrung des Spelkums der Kinetischen Hintergrundstrahlung. Diesen Sunyaev-Zelkovich-Effekt werden wir quantitativ noch studieren. Wie in Anhang I gezeigt wird, ist ein Maß für die Deformation der wogenzählenden Planck-Verteilung durch (inverse) Compton-Sreuung am heißen Elektronen der sog. y-Parameter

$$\begin{aligned}
 y &= \int \frac{kT}{m_e c^2} n_e c \sigma_T dt \\
 &= \sigma_T c H_0^{-1} \int_0^{z_c} dz \frac{k T_e(z)}{m_e c^2} n_e(z) \frac{1}{(1+z)^2 \sqrt{1+\Omega_0 z}}.
 \end{aligned} \tag{7.60}$$

Hier bemerkten wir (7.49), (7.53), (7.54) und fanden für  $\Omega_0 = 1$

$$y = \Omega_c^{1/2} H_0^{-1} \frac{k T_e}{n_e c^2} n_e(0) \int_0^{z_c} (1+z)^{5/2} dz$$

oder

$$y/10^{-5} \approx 35 \frac{T_e(0)}{10^8 K} h_0 (1+z_c)^{7/2} Q_{\text{IGM}}. \quad (7.61)$$

Nach den COBE Daten (Ap. J. 473, 576 (96)) ist

$$y^{\text{COBE}} < 1.5 \times 10^{-5}. \quad (7.62)$$

Setzen wir in (7.61) die Werte (7.53) für  $z_c = 1$  ein, so ergibt sich für  $h_0 = 1/2$

$$y \approx 0.03 (!),$$

was um mehr als  $10^3$  mal zu gross ist. (Taylor & Wright erhalten mit ihrem gemessenen Temperaturverlauf  $y=0.037$ .)

\* \* \*

Wir wissen nun von ROSAT-Daten (tiefe Durchmusterung), dass ein Löwenanteil des Röntgenhintergrunds bei  $\sim 1 \text{ keV}$  durch diskrete Quellen (aktive Galaxien) erklärt werden kann. Diese haben aber eine andere spektrale Verteilung ( $\sim E^{-0.7}$ ) als der Hintergrund ( $\sim E^{-0.4}$ ). Zieht man deshalb diesen bekannten Teil ab, so verbleibt ein flacheres Spektrum als für thermische Bremsstrahlung, was Fabian Barcons zur Aussage führte:

"The perfect bremsstrahlung shape of the X-ray background is just a cosmic conspiracy". Der Röntgenhintergrund bei höheren Energien kann noch nicht überzeugend erklärt werden. Für einen kurzen Überblick siehe G. Hasinger: Acta Suppl. 120, 607 (96).

## 8. Oszillierende kosmologische Modelle

"The inevitable catastrophe is at hand.... Are we not, indeed, more than justified in entertaining a belief — let us say, rather, in indulging a hope — that the processes we have ventured to contemplate will be renewed forever, and forever, and forever; a novel universe swelling into existence, and then subsiding into nothingness, at every throb of the Heart Divine".

Edgar Allan Poe (1809-49), Eureka

Es ist a priori nicht undenkbar, dass für  $\rho > \rho_c$  das kollapsierende Universum zwangsweise (durch Quanten- und andere Prozesse) und anschliessend wieder expandiert. Was wären die Konsequenzen eines solchen Modells?

Wir nehmen an, dass die Entropie — auch beim Rückgriff — dauernd zunimmt. Dann ist kein Abzug periodisches Universums möglich. Die Amplitude der aufeinanderfolgenden Zyklen nimmt vielmehr dauernd zu, wie Tolman schon 1934 gezeigt hat. Wir wiederholen hier ein wesentliches Argument.

Für das Friedmann-Modell mit  $k=1$  erfüllt der Skalenfaktor  $a(t)$  die Gleichung

$$\dot{a}^2 + 1 = \frac{8\pi G}{3} \rho a^2. \quad (8.1)$$

Größen beim maximalen Radius notieren wir mit "m". Da dort  $\dot{a}=0$  ist, folgt aus (8.1)

$$\rho_m = \frac{3}{8\pi G} \frac{1}{a_m^2}. \quad (8.2)$$

N bezeichnet die gesamte Baryonenzahl und S die totale

Eukopie. Die Bayardichte  $n$  und die Eukopie pro Bayon,  $s$ , sind

$$n = \frac{N}{\pi a^2 a^3}, \quad s = \frac{S}{N} \quad (8.3)$$

$[Vol(S_a^3) = \pi a^2 a^3]$ . Aus der Zustandsgleichung der Eukopie erhalten wir die Funktion  $\varphi(n, s)$ . Im Folgenden spielen gewisse allgemeine thermodynamische Eigenschaften dieser Funktion eine wichtige Rolle. Sei  $\epsilon(n, s)$  die Energie pro Bayon; natürlich ist  $\varphi(n, s) = n \epsilon(n, s)$ . Zunächst gilt

$$\left(\frac{\partial \varphi}{\partial s}\right)_n = n \underbrace{\left(\frac{\partial \epsilon}{\partial s}\right)_n}_{T} > 0. \quad (8.4)$$

erner gilt aufgrund der fundamentalen thermodynamischen Beziehung von Gibbs,

$$TdS = \lambda(\varphi/n) + P d(1/n), \text{ oder } TdS = d\varphi - \frac{\varphi + P}{n} dn \quad (8.5)$$

die Ungleichung

$$\left(\frac{\partial \varphi}{\partial n}\right)_S = \frac{\varphi + P}{n} > \frac{\varphi}{n}, \quad (8.6)$$

oder

$$\left(\frac{\partial \ln \varphi}{\partial \ln n}\right)_S > 1. \quad (8.7)$$

Nach (8.2) und (8.3) ergibt sich der maximale Radius am als Funktion von  $s$  aus der Gleichung

$$a_m^2 \varphi \left(n_m = \frac{N}{\pi a_m^2 a_m^3}, s\right) = \frac{3}{8\pi G}. \quad (8.8)$$

Das logarithmische Differenzial dieser Gleichung gibt die folgende Beziehung

$$\underbrace{\frac{\partial \ln [a_m^2 g]}{\partial \ln a_m}}_{-k := [2 + \frac{\partial \ln g}{\partial \ln a_m} \frac{\partial \ln n_m}{\partial \ln a_m}] < 0} \cdot \frac{da_m}{a_m} + \underbrace{\frac{\partial \ln [a_m^2 g]}{\partial s}}_{\frac{\partial \ln g}{\partial s}} ds = 0.$$

$\begin{matrix} > 1 \\ (\text{vgl. (8.4)}) \end{matrix} \quad \begin{matrix} < -3 \\ (\text{vgl. (8.3)}) \end{matrix}$

Dies zeigt, dass

$$\frac{da_m}{ds} = \frac{a_m}{kg} \left( \frac{\partial \ln g}{\partial \ln s} \right)_n > 0,$$

da  $k > 0$  ist. Bei wachsender Entropie wird also  $a_m$  größer!  
 (Wir folgten hier [ZN, §24.16].)

\* \* \*

